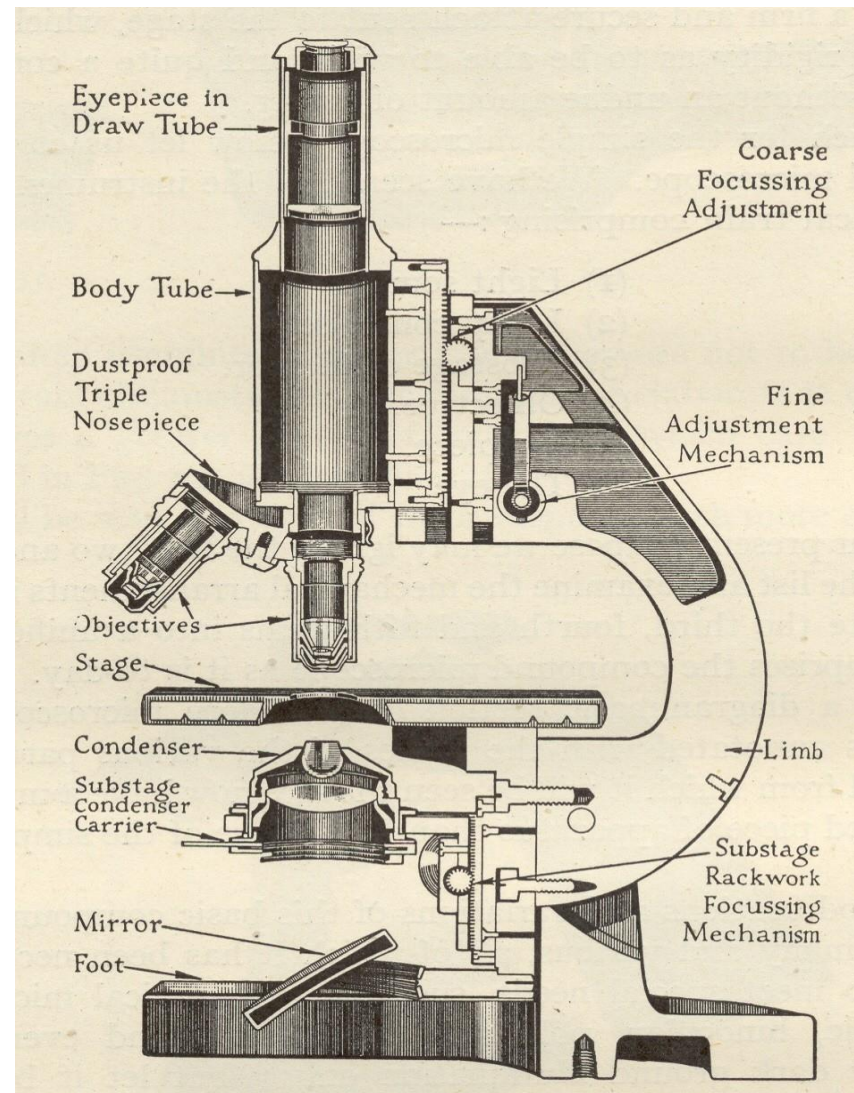
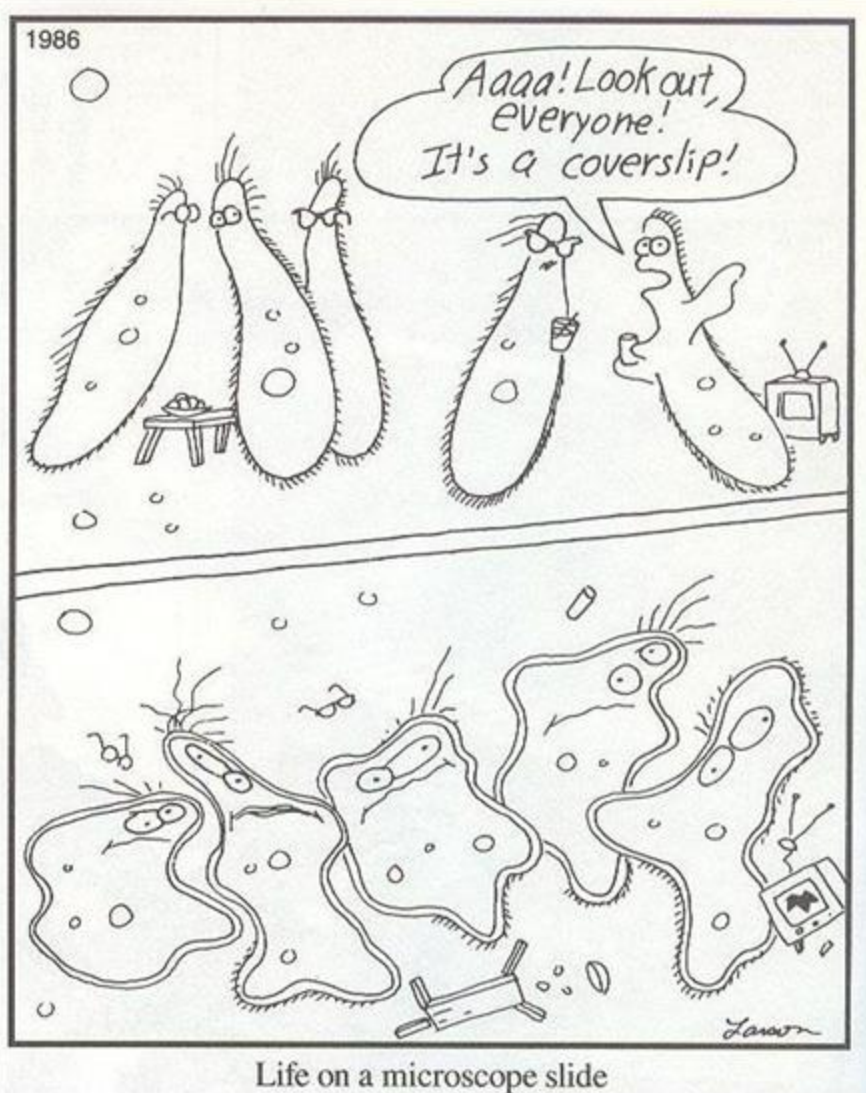


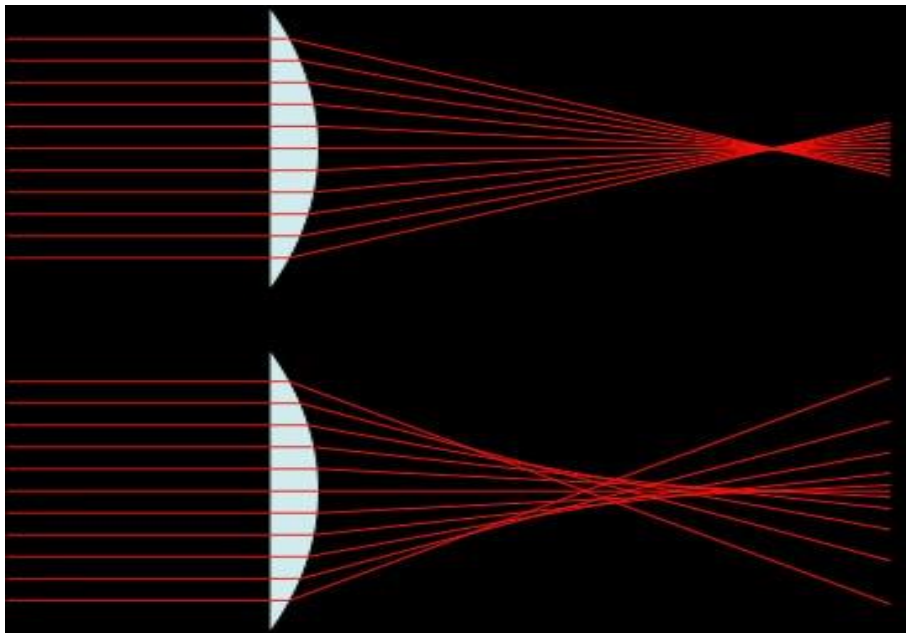
5. Světelná mikroskopie



Mikroskopový objektiv



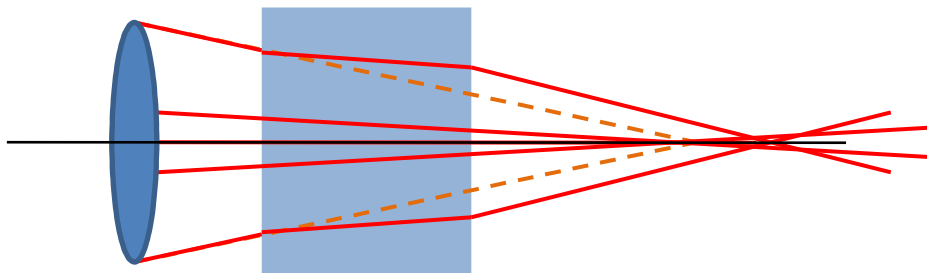
Otvorová vada objektivu



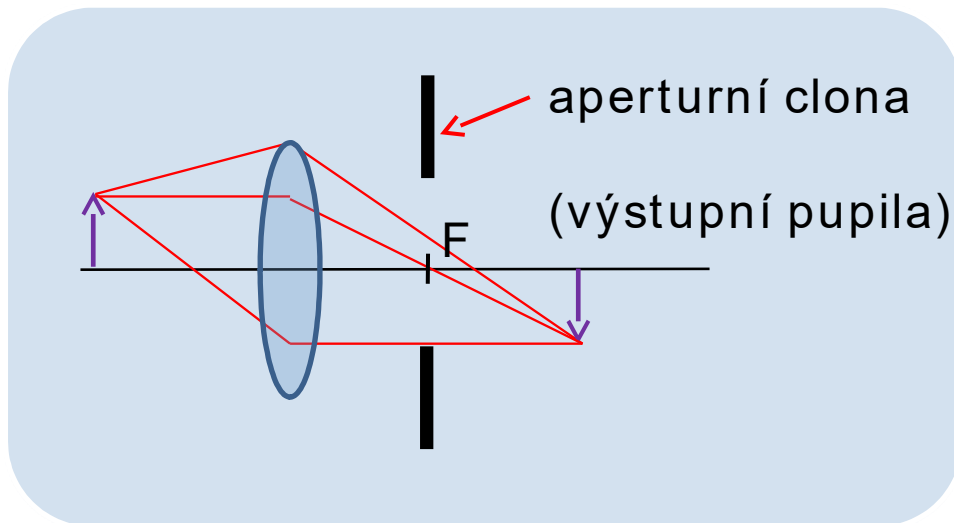
nulová

pozitivní

- Ize způsobit také krycím sklíčkem či vrstvou preparátu



Ohraničení svazku



$$NA = n \sin \alpha$$

Zobrazení bodu - PSF (point spread function)

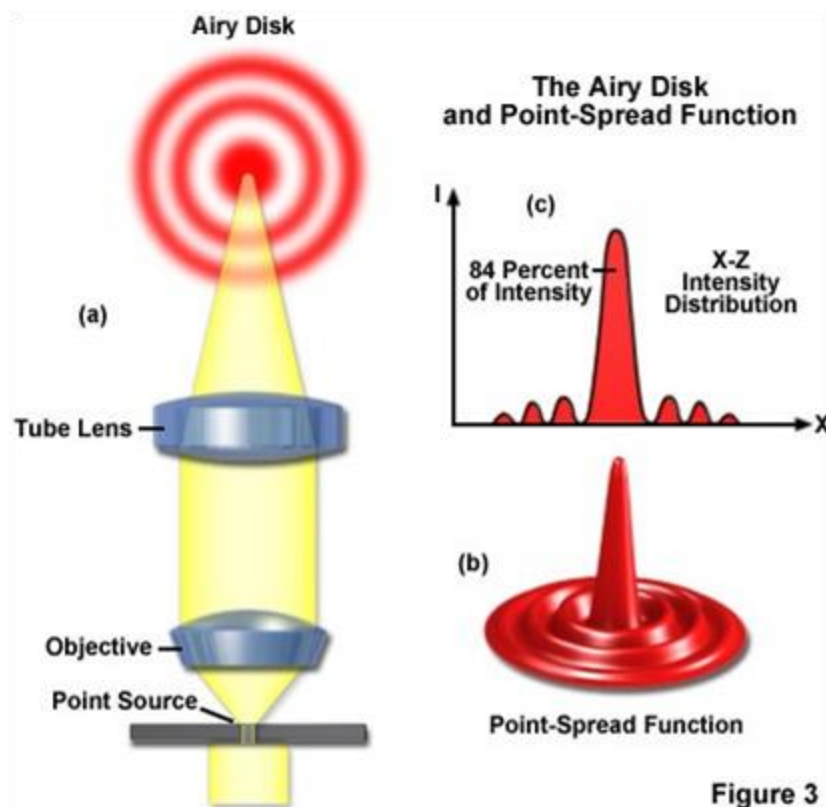


Figure 3

Rozlišení mikroskopu
 $d_0 = 0.61 \lambda/NA$

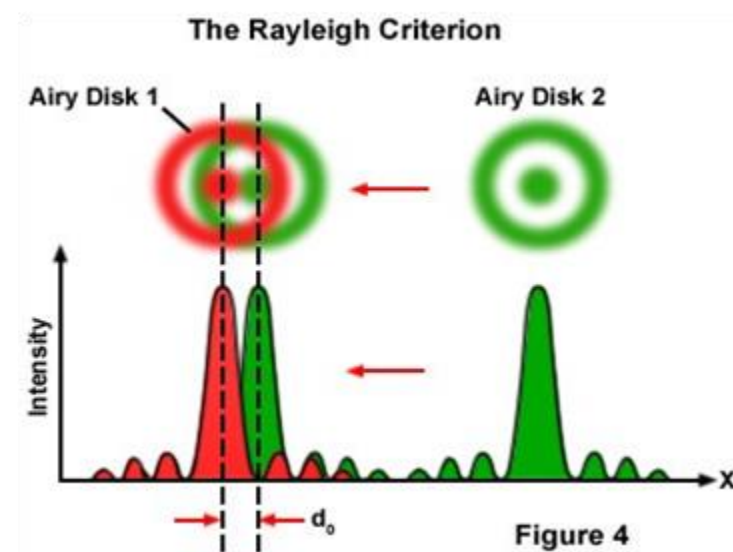


Figure 4

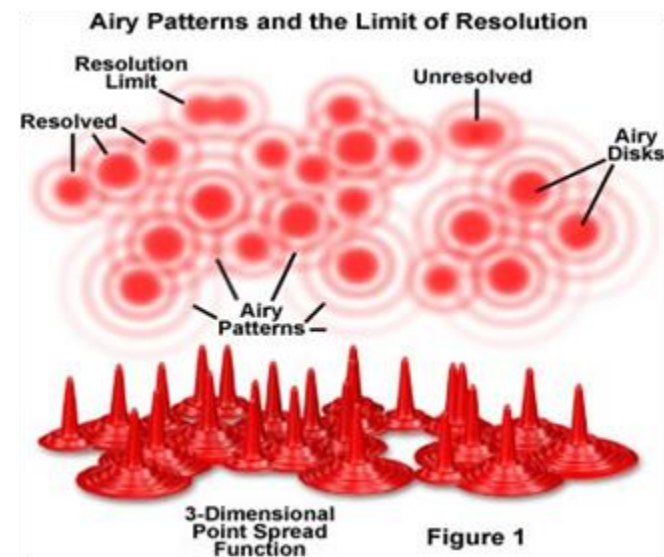
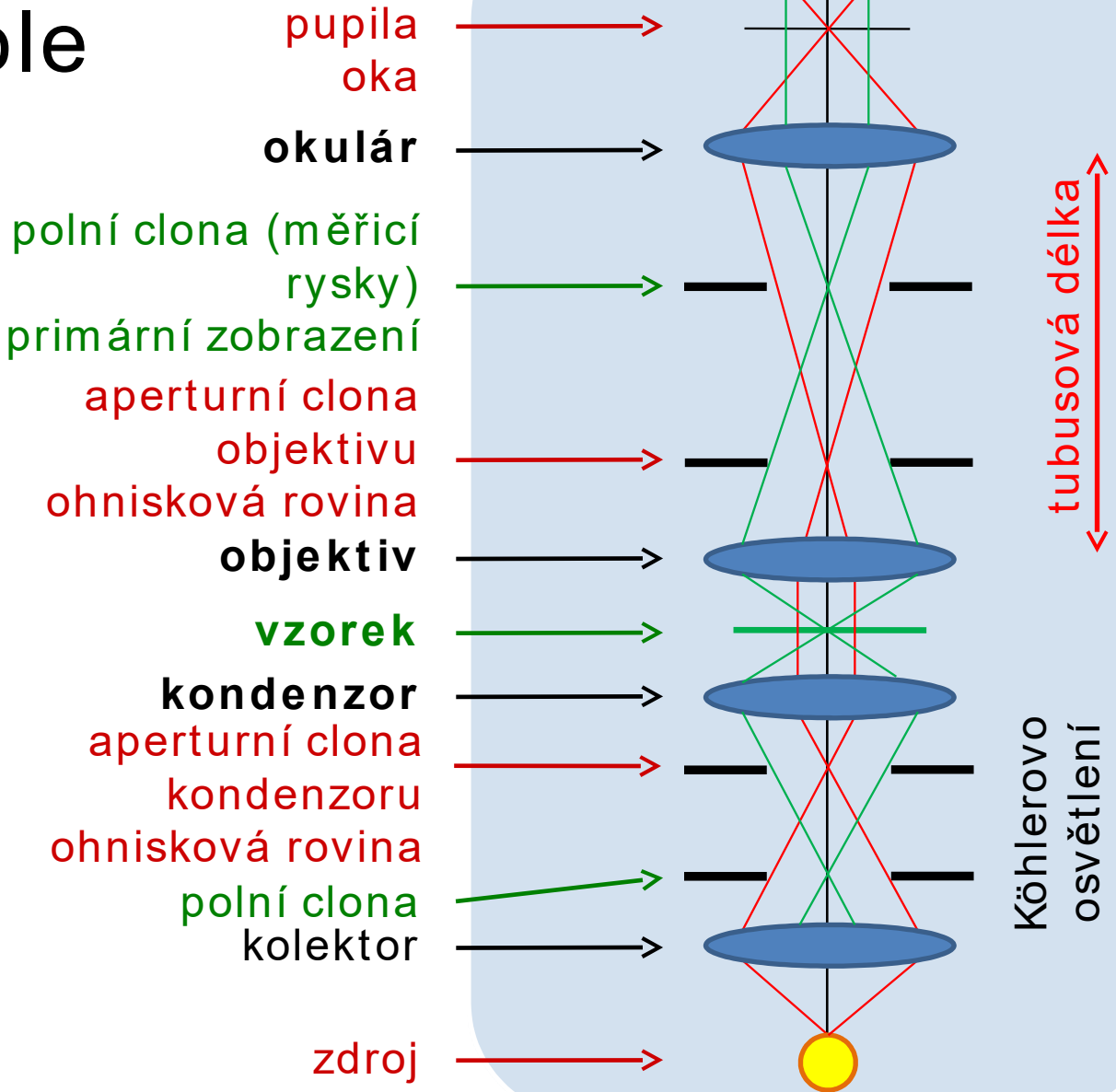
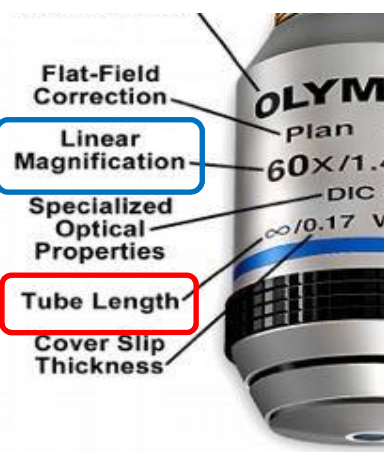


Figure 1

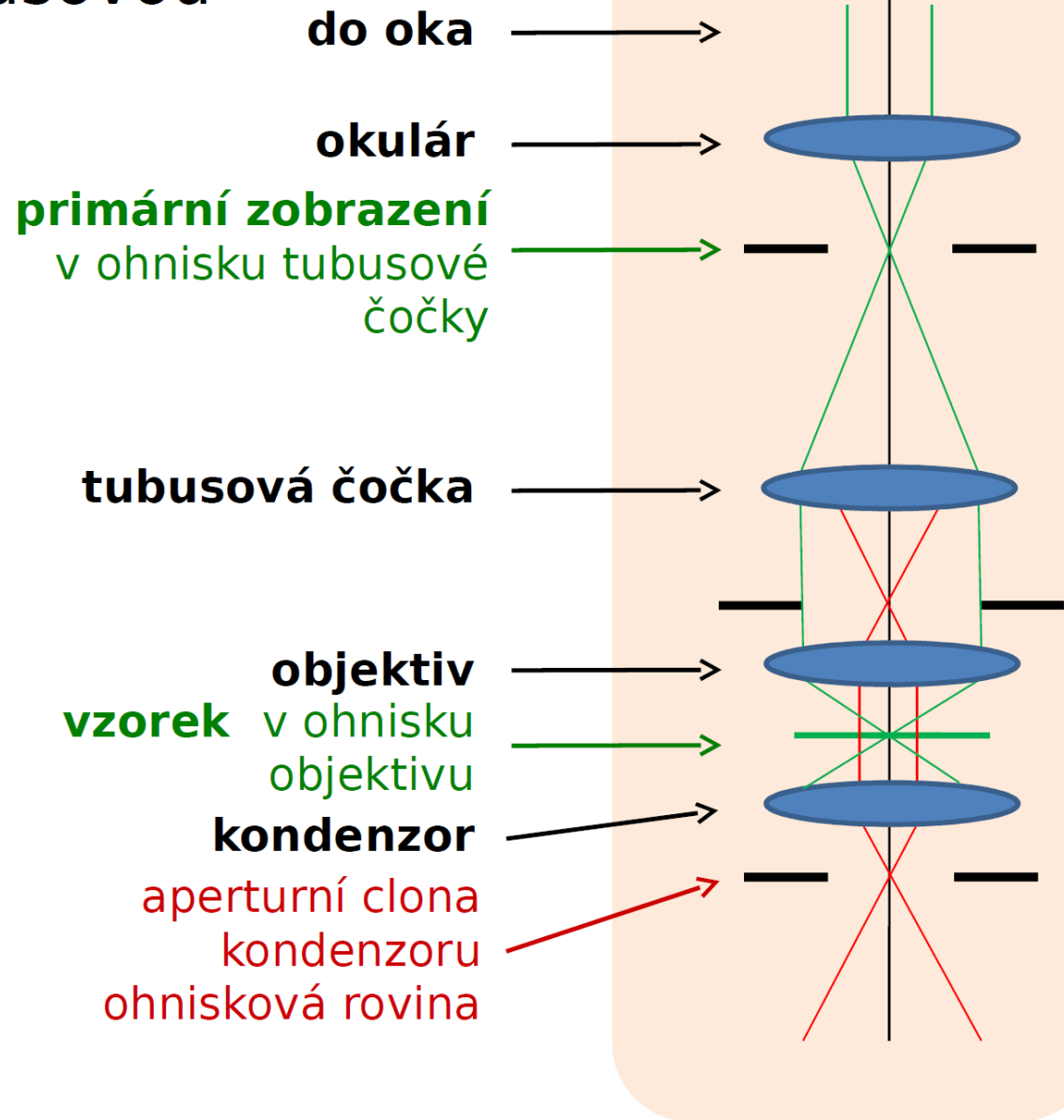
Složený mikroskop

– světlé pole

$$m = m_{obj} m_{okul}$$

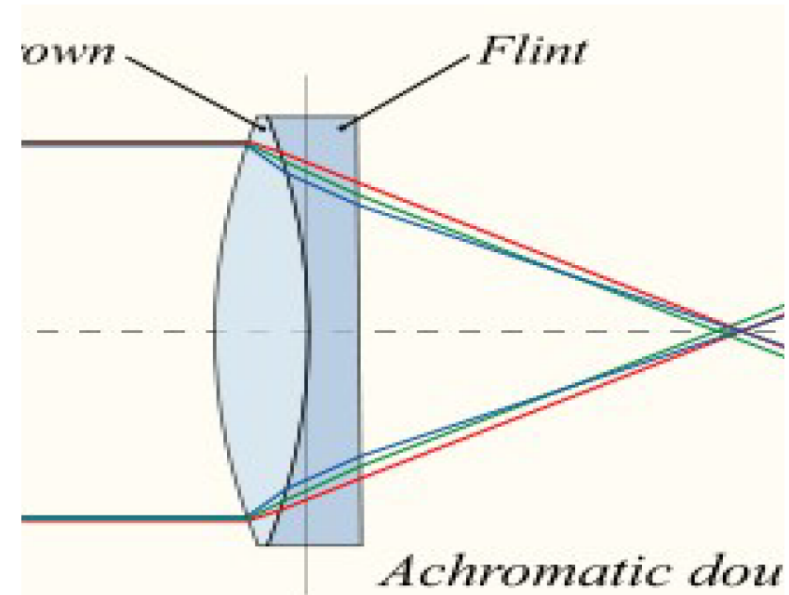
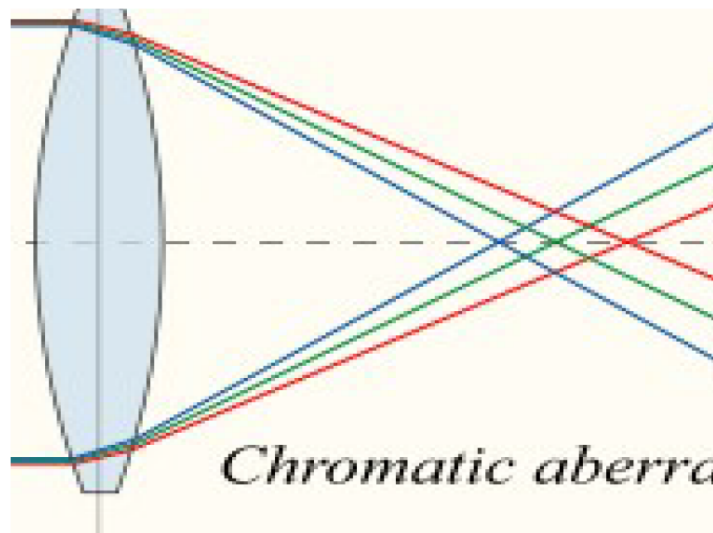


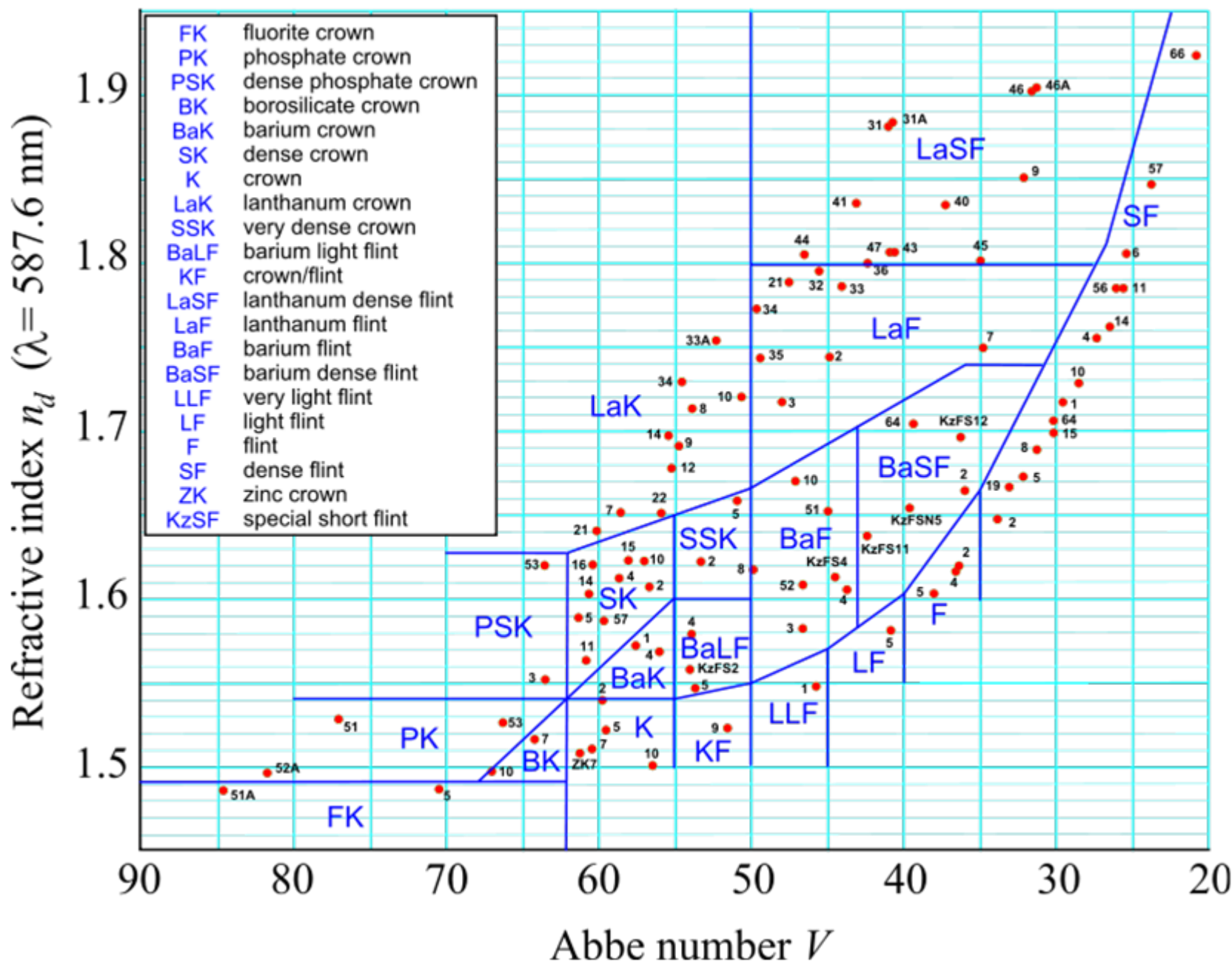
Složený mikroskop s nekonečnou tubusovou délkou



Barevná vada

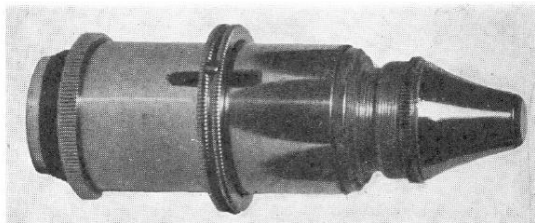
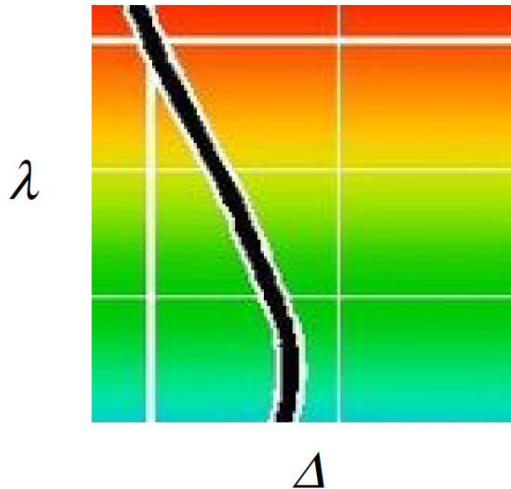
- Abbeovo číslo: $A = \frac{n_d - 1}{n_F - n_C}$ (index lomu materiálu pro Fraunhoferovy čáry d, F, C: 587,6 nm, 486,1 nm, 656,3 nm)
- podmínka pro achromatický dublet: $\frac{\Phi_1}{A_1} + \frac{\Phi_2}{A_2} = 0$



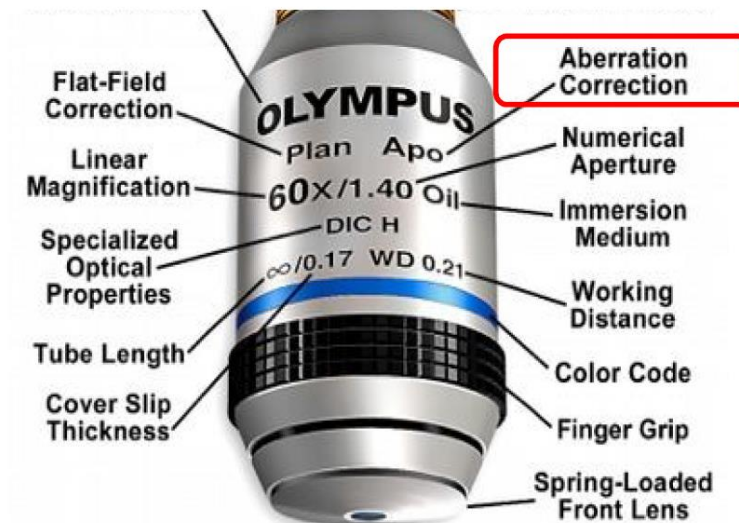


Apochromatický objektiv

apo chromát (Abbe 1886)



jeden z prvních
apo chromatických objektivů

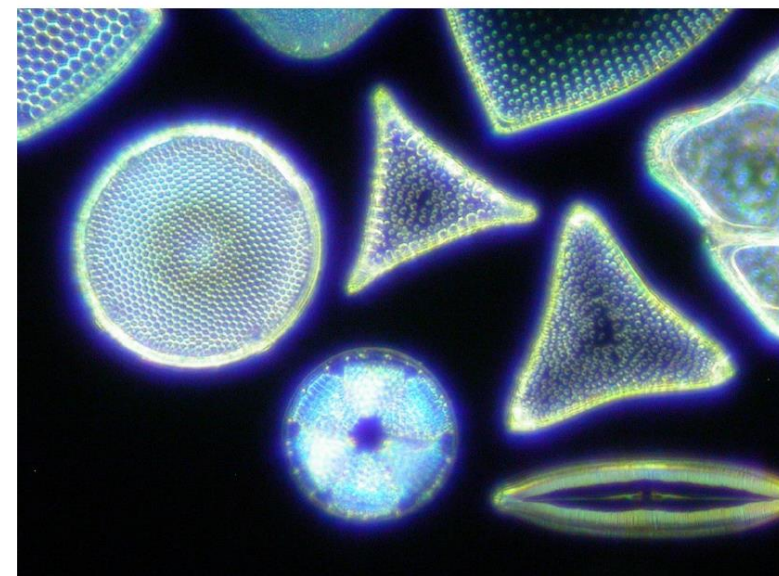
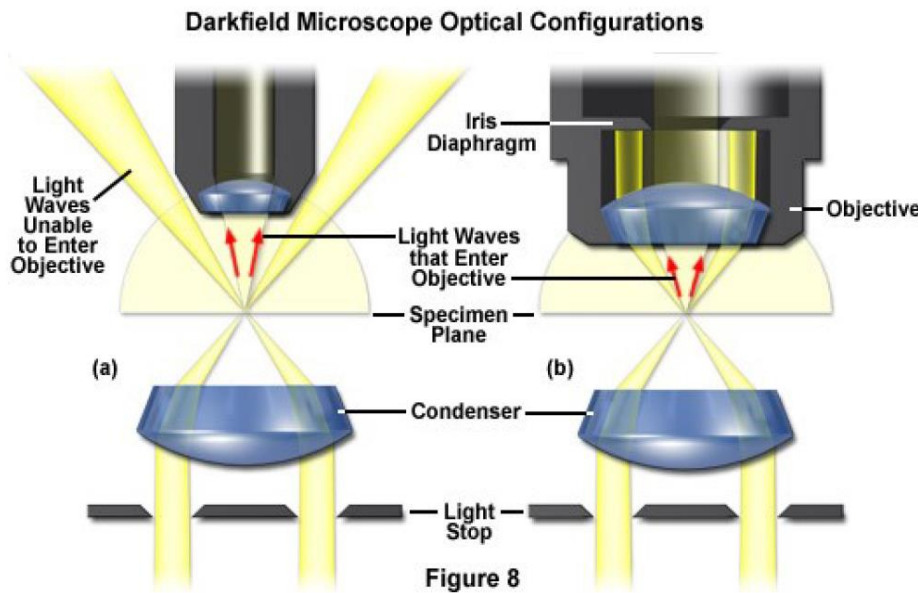


Také:

- superachromát (korigovány 4 barvy)
- semiapochromát (fluorit CaF_2 , fluoritová skla, $A = 80 - 95$)

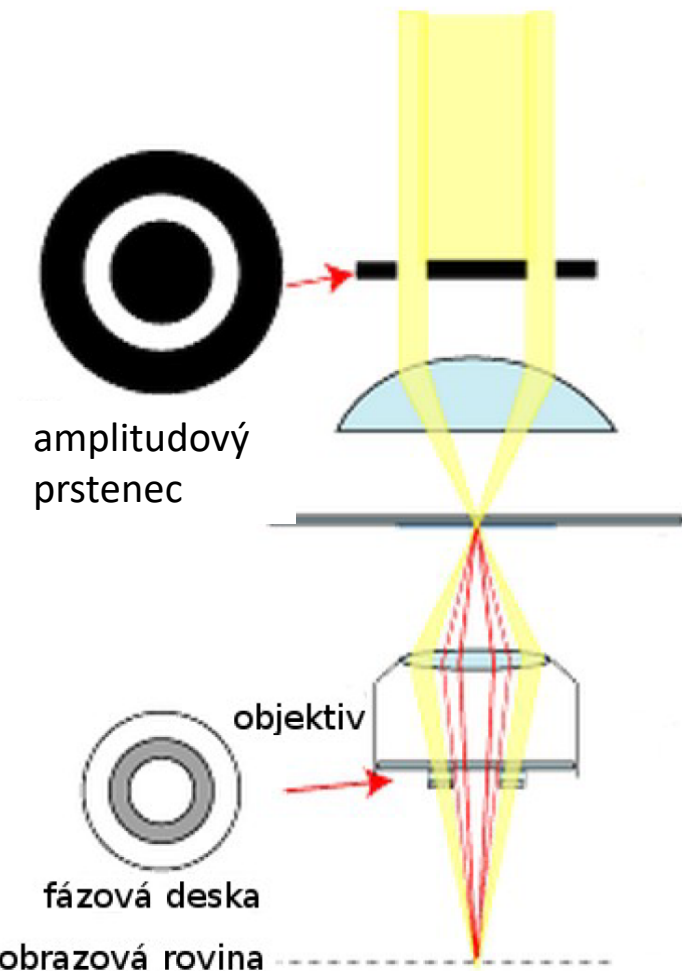
Temné pole

- první kondenzory pro temné pole kolem 1855 (G. Shadbolt, F. H. Wenham)
- metoda odstínění nerozptýleného světla
- rozlišení jako u světlého pole, kontrast podstatně zesílen



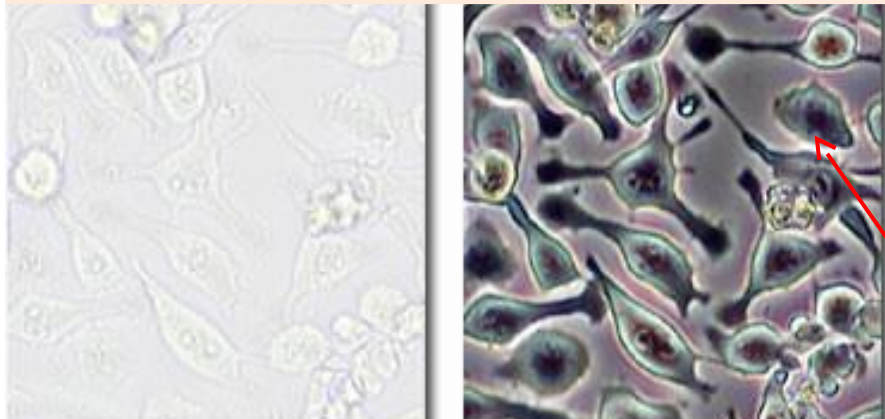
Zernikův fázový kontrast

- Umožňuje kontrastní zobrazení fázového vzorku pomocí fázové destičky vložené do zadní ohniskové roviny objektivu. (Světlo rozptýlené fázovým vzorkem je fázově posunuto. Fázové posunutí mezi paprsky **nerozptýlenými** a **rozptýlenými** je dále (a vhodně) zesíleno fázovou destičkou. V obrazové rovině pak dochází k interferenci.)
- Nevýhody: halo efekt, neznalost velikosti fázového posunutí paprsků, které prošly vzorkem (fázový kontrast není kvantitativní)
- nemožno určit rozložení hmoty buňky.



Zernikův fázový kontrast

živé buňky ve světlém poli a fázovém kontrastu



fázový rozdíl:

$$\delta = \frac{2\pi}{\lambda} (n_{objektu} - n_{okolí})t$$

„halo-efekt“

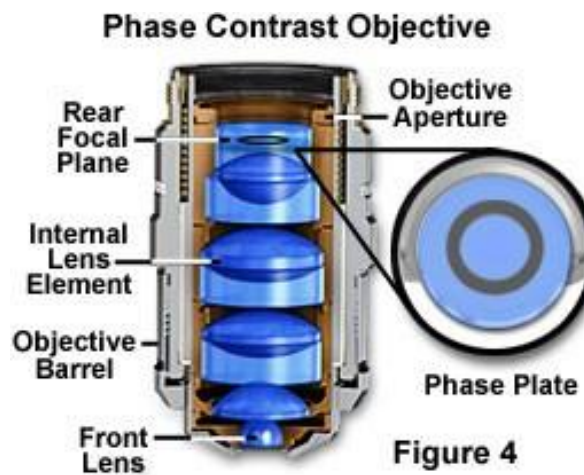
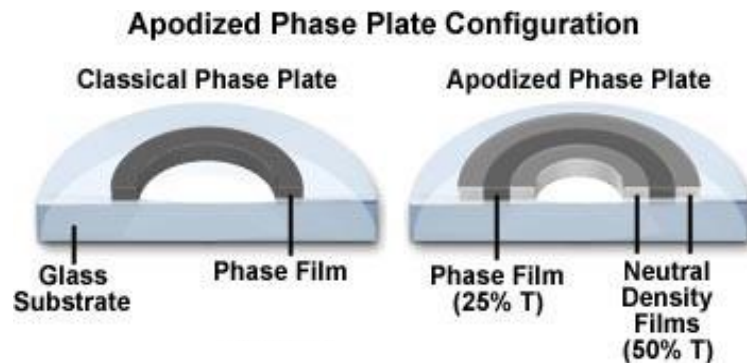
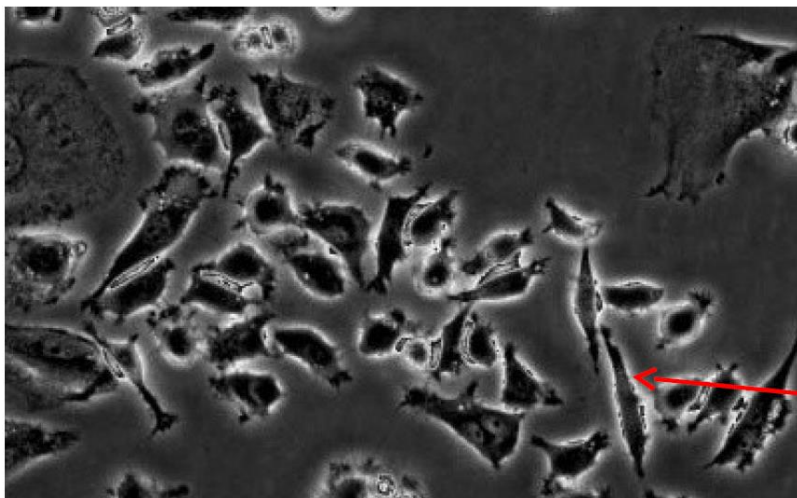


Figure 4

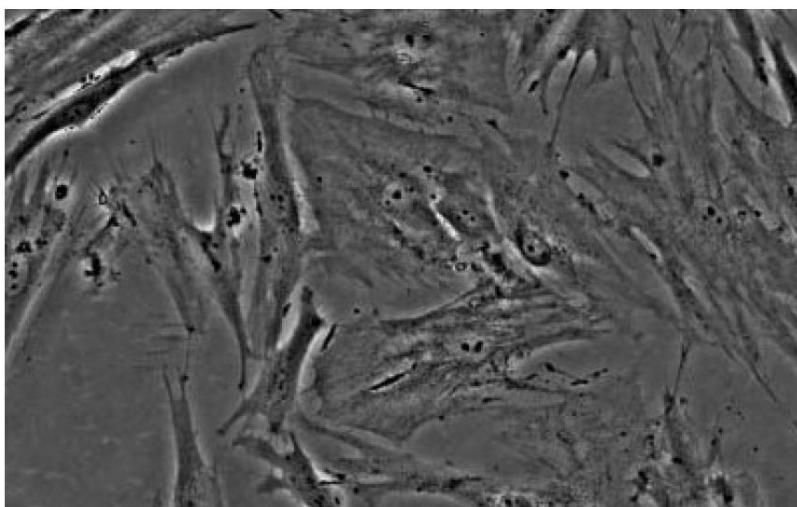


Zernikův fázový kontrast



zobrazení buněk Rousova sarkomu pomocí fázového kontrastu

„halo-efekt“

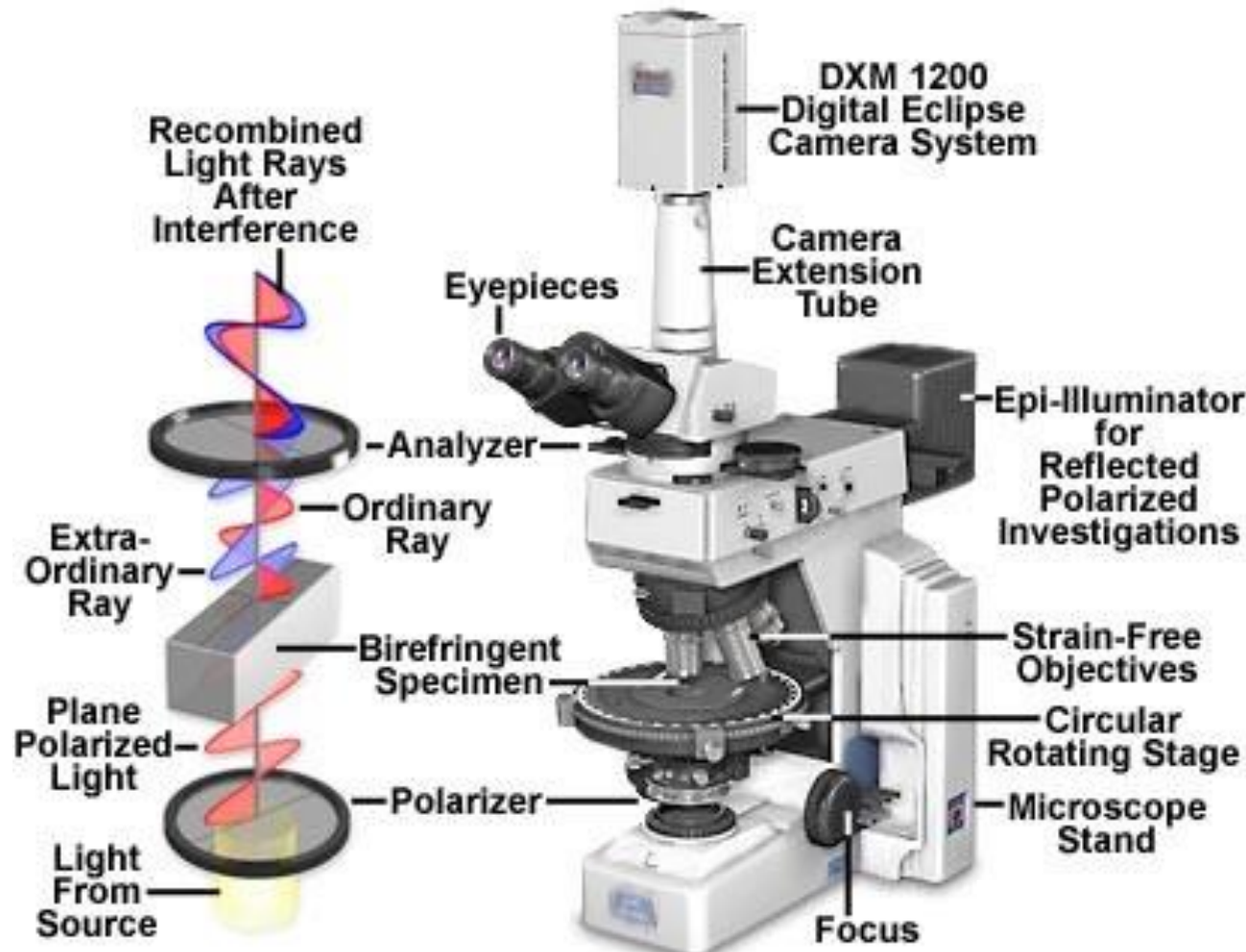


zobrazení lidských fibroblastů pomocí fázového kontrastu

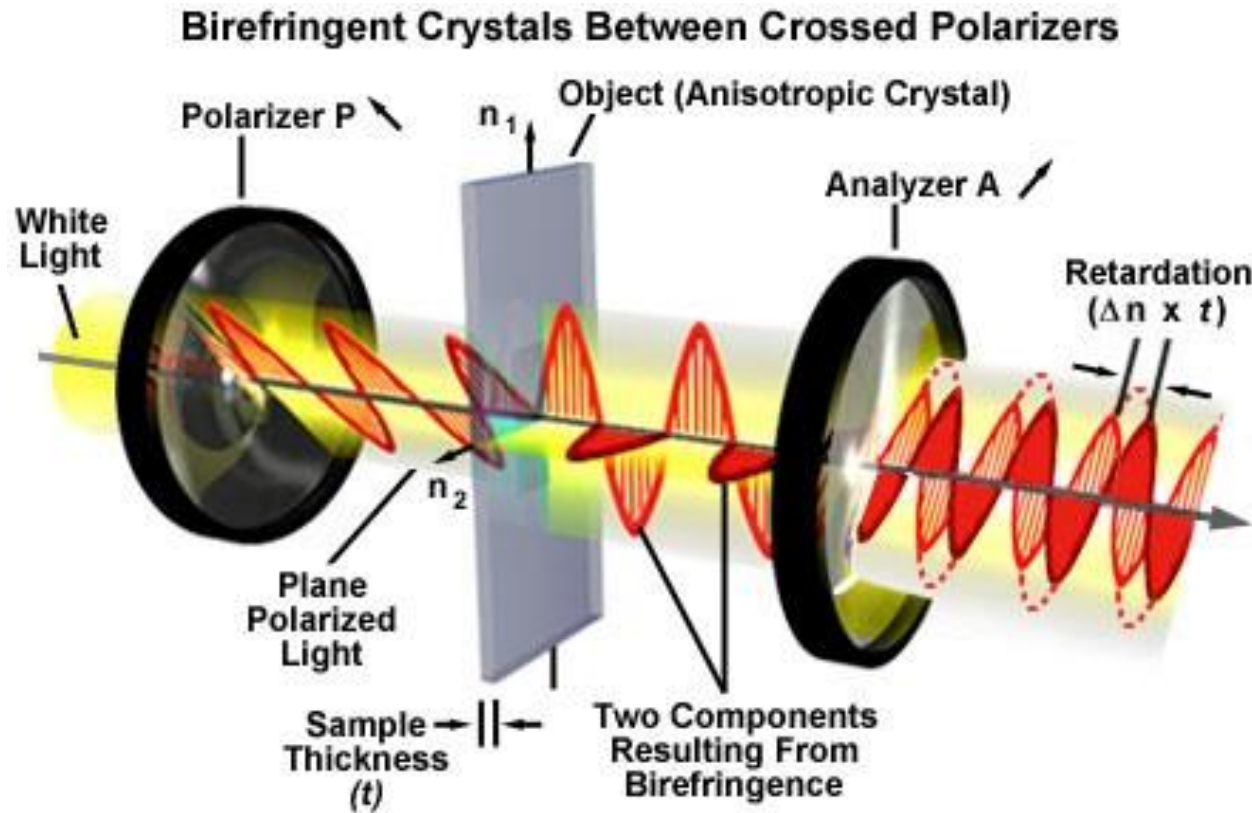
JANEČKOVÁ, H.; VESELÝ, P.; CHMELÍK, R.:
Proving Tumour Cells by Acute
Nutritional/Energy Deprivation as a Survival
Threat: A Task for Microscopy,
Anticancer Research, **29** (2009) 2339-2345

Mikroskopie s polarizovaným světlem

Polarized Light Microscope Configuration

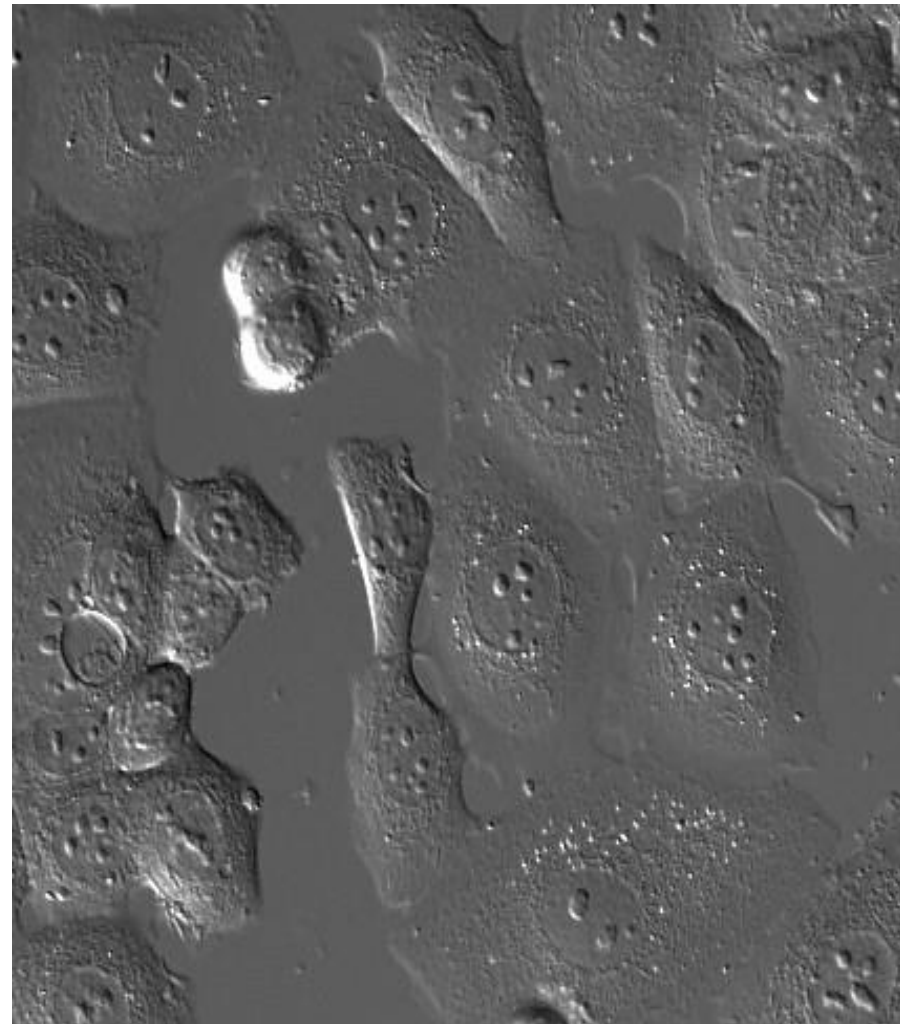
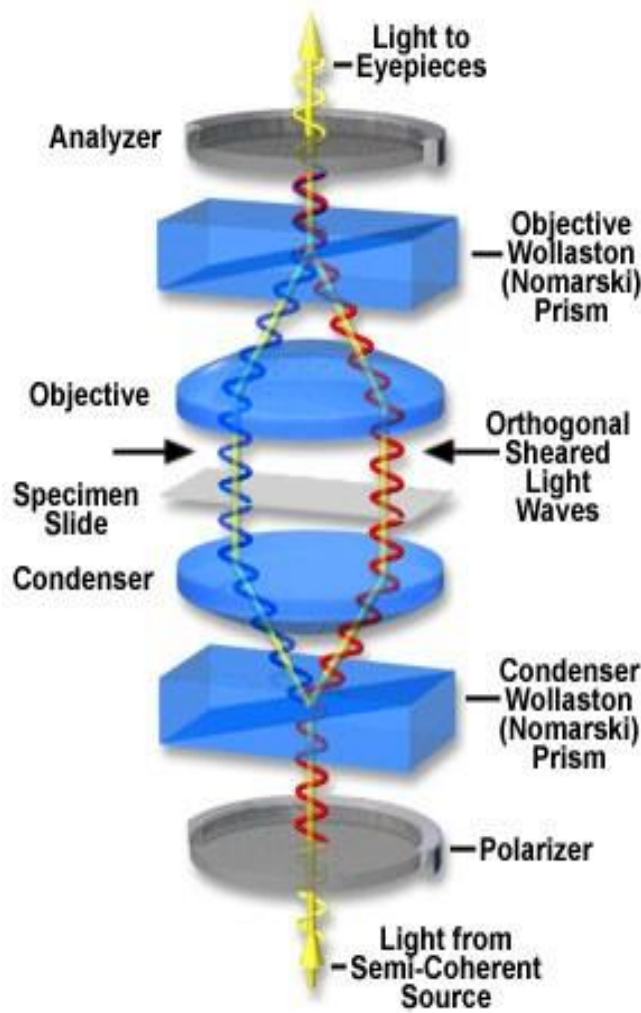


Mikroskopie s polarizovaným světlem

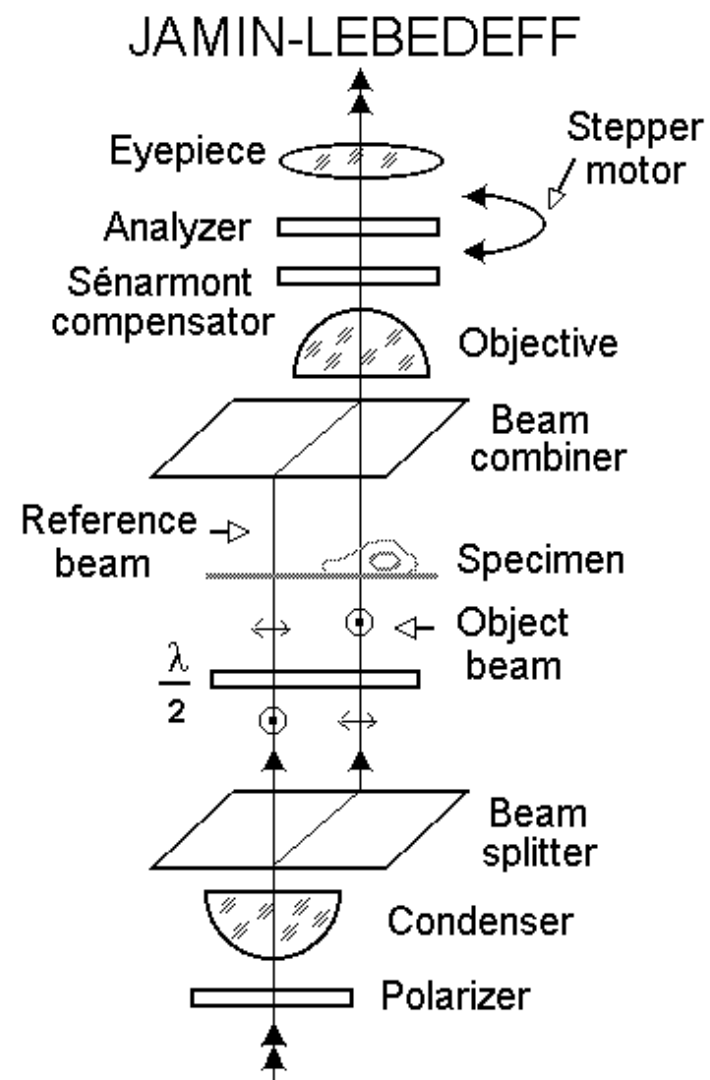
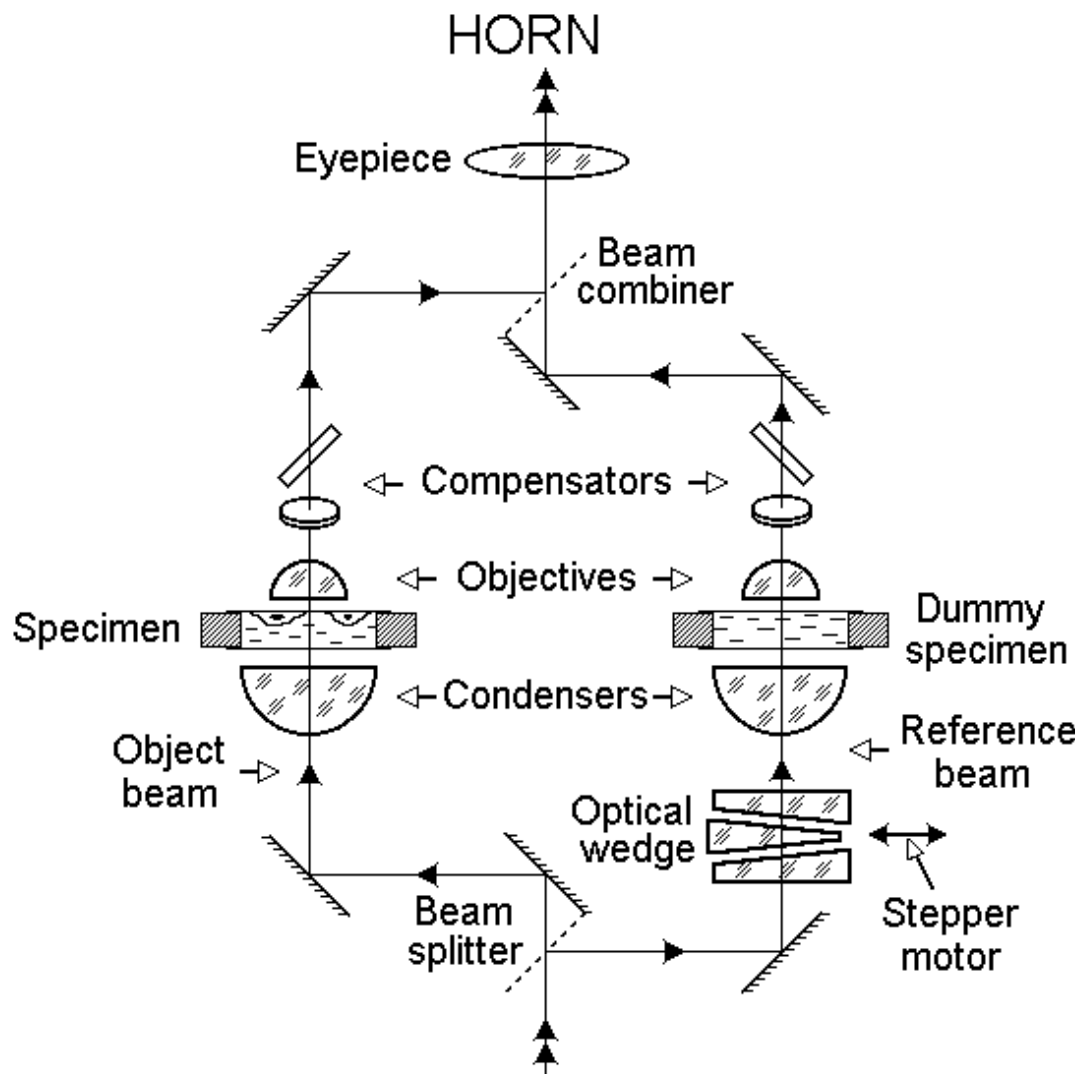


Nomarského diferenciální interferenční kontrast (DIC)

Differential Interference Contrast Schematic



Transmисní interferenční mikroskop

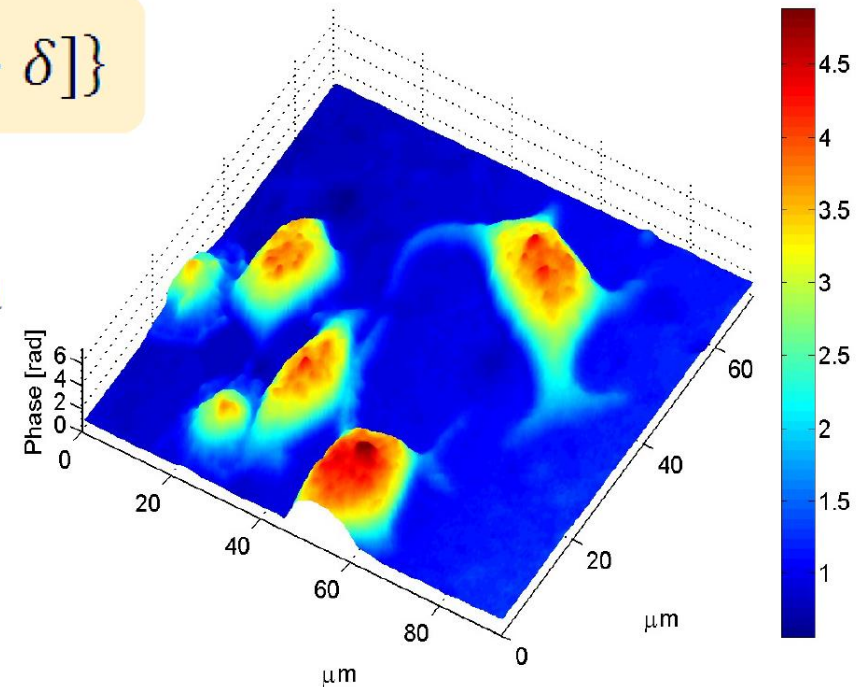
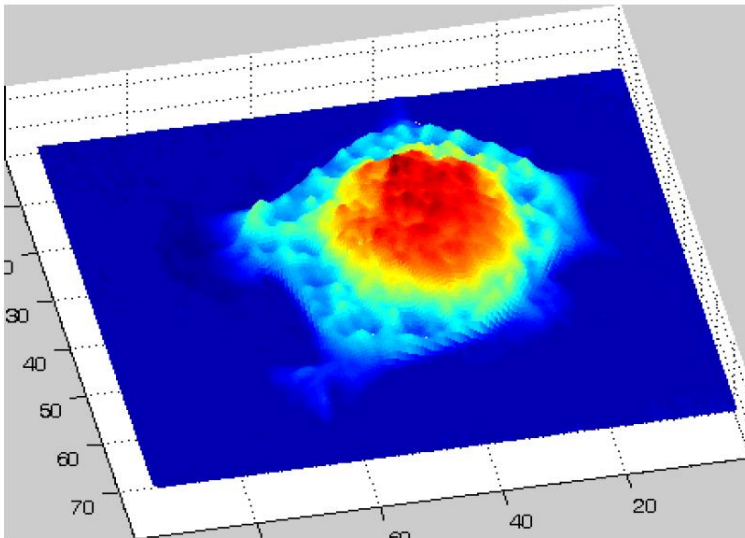


Kvantitativní fázový kontrast

$$I(x, y) = I_0 \{1 + \gamma \cos[\varphi(x, y) + \delta]\}$$

Trasmisní uspořádání

$$\varphi(x, y) \approx k[n(x, y) - n_0]t(x, y) \quad k = 2\pi/\lambda$$



živé buňky M7 v médiu, *in vitro*
(Halogenová lampa + filtr 650 nm, objektiv 20x/0,40)

živé buňky RsK4 v médiu, *in vitro*
(Halogenová lampa + filtr 650 nm, objektiv 10x/0,25)

Transmisní interferenční mikroskop - zpracování obrazu

$$I = I_0[1 + \gamma \cos(\varphi + \delta)]$$

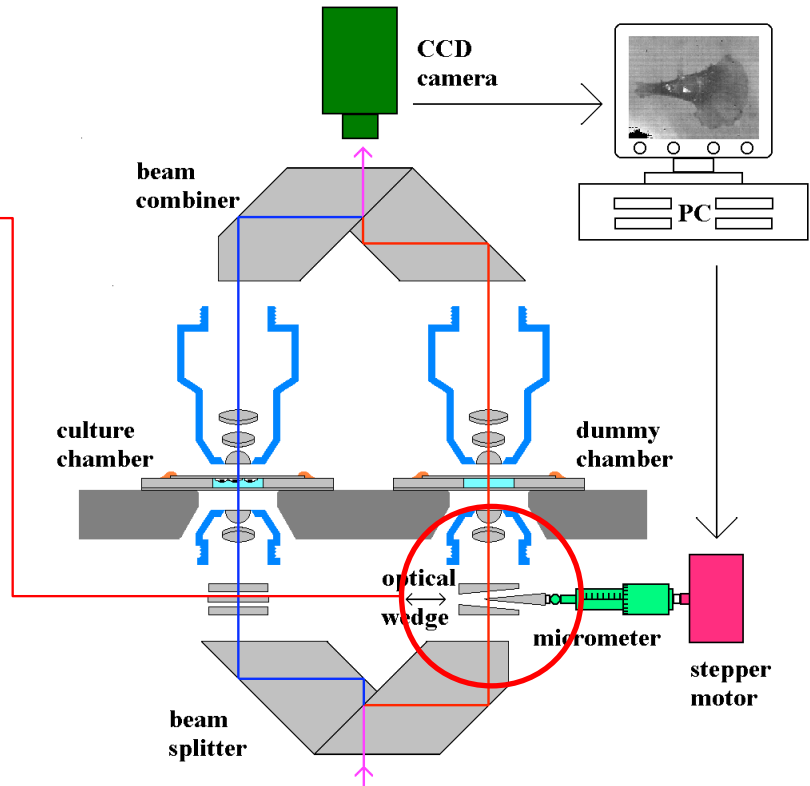
$$I_1 = I_0[1 + \gamma \cos(\varphi + 0)] = I_0[1 + \gamma \cos(\varphi)]$$

$$I_2 = I_0 \left[1 + \cos \left(\varphi + \frac{\pi}{2} \right) \right] = I_0[1 - \gamma \sin(\varphi)]$$

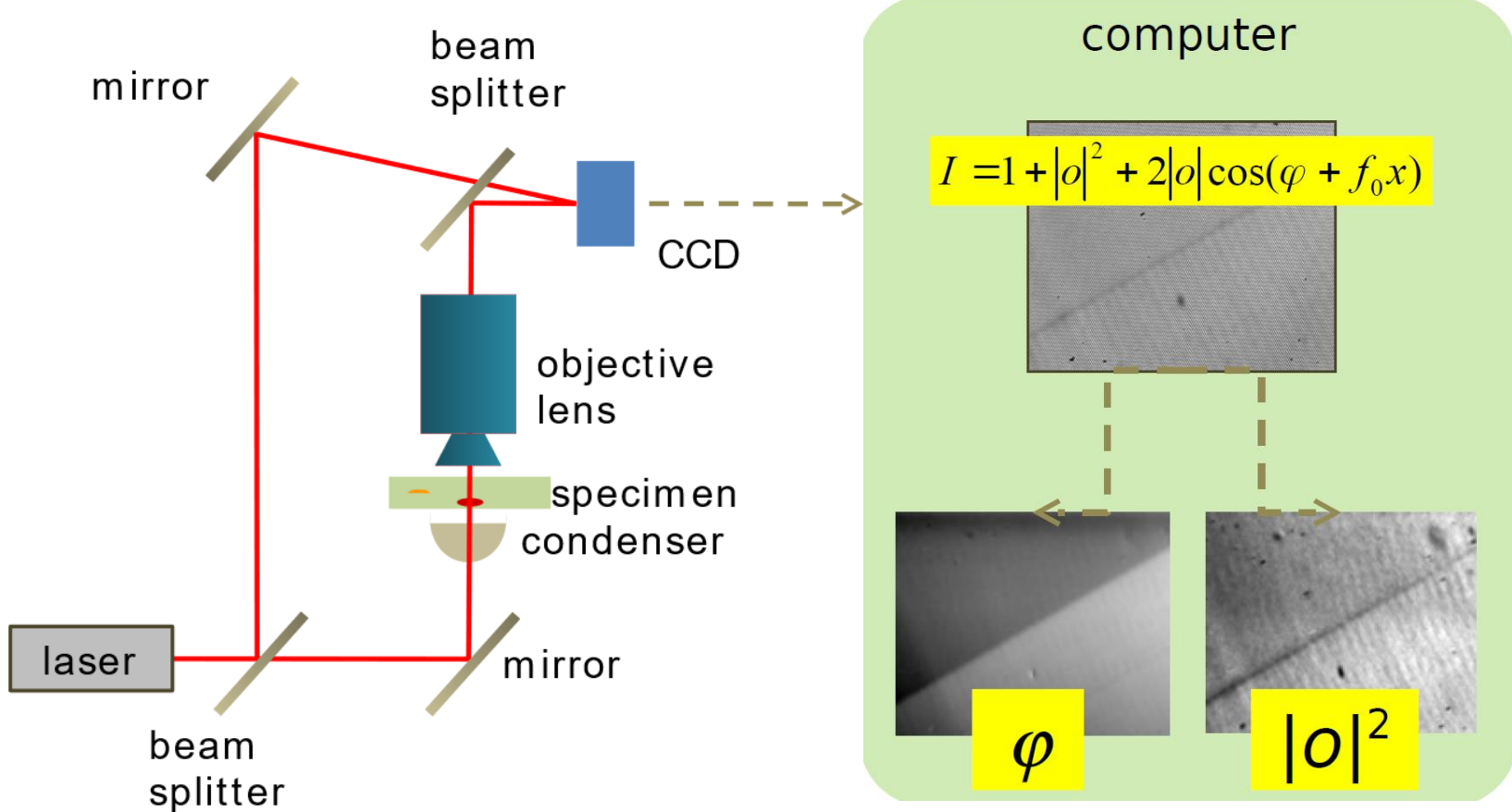
$$I_3 = I_0[1 + \cos(\varphi + \pi)] = I_0[1 - \gamma \cos(\varphi)]$$

$$I_4 = I_0 \left[1 + \cos \left(\varphi + \frac{3\pi}{2} \right) \right] = I_0[1 + \gamma \sin(\varphi)]$$

$$\operatorname{tg} \varphi = \frac{I_4 - I_2}{I_1 - I_3}$$



Moderní holografický mikroskop



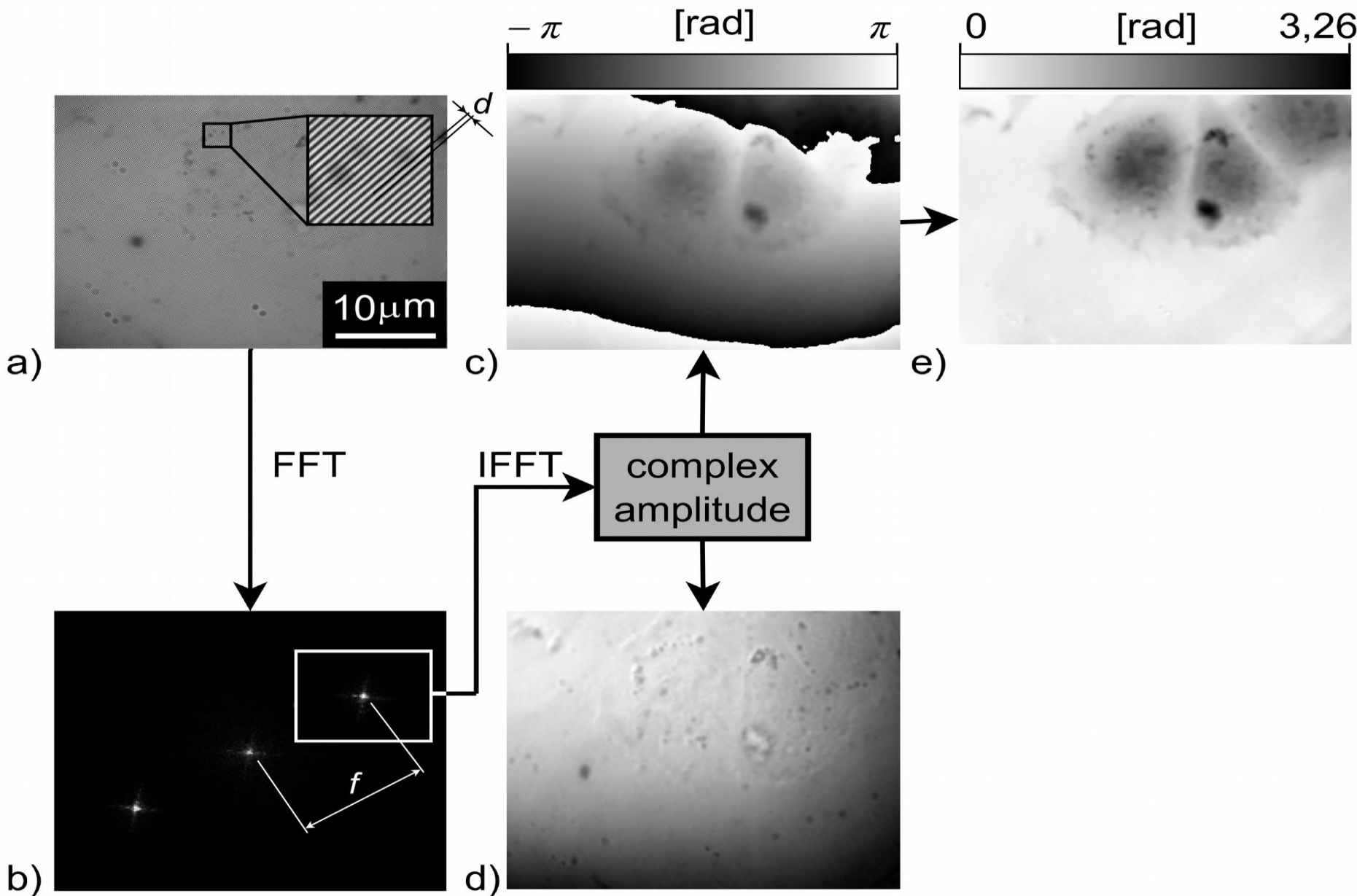
Marquet, P. et al.: Digital holographic microscopy: a noninvasive contrast imaging technique allowing quantitative visualization of living cells with subwavelength axial accuracy. *Optics Letters* **30** (2005) 468-470.

Moderní holografický mikroskop

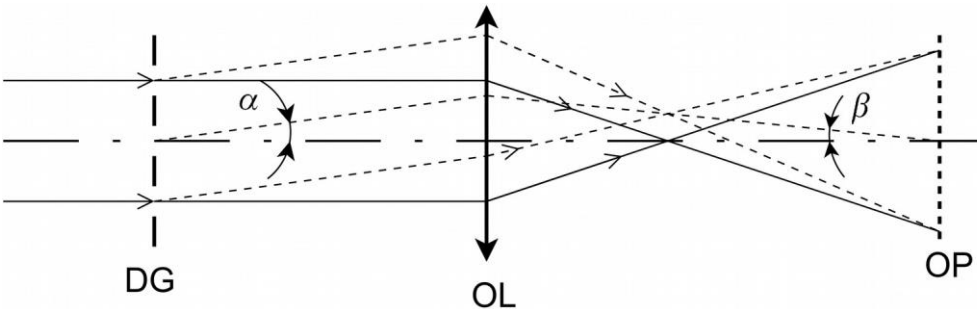
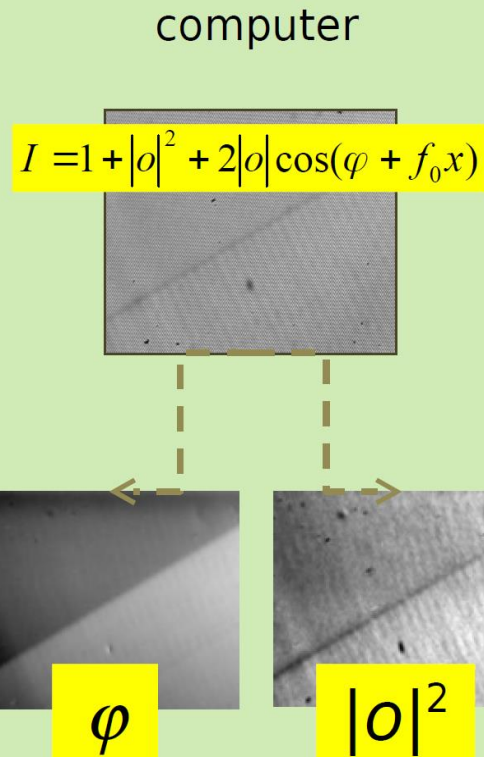
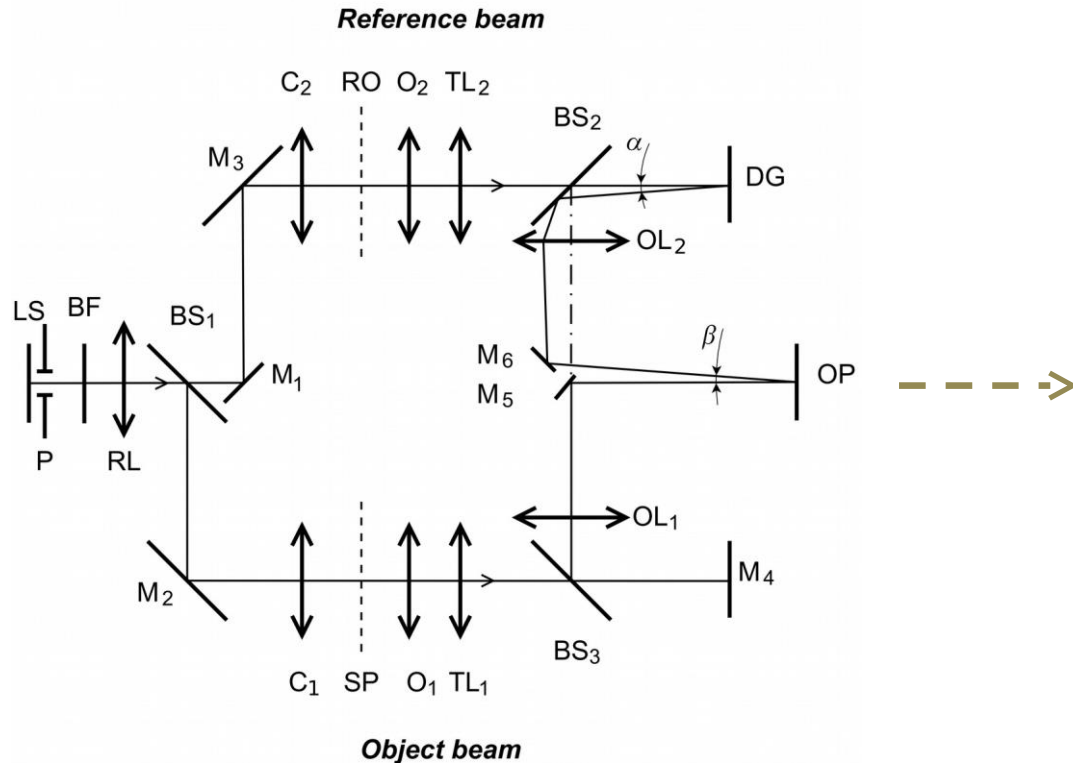


DHM ... interferenční mikroskop umožňující (obvykle off-axis a obrazový) holografický záznam opatřený digitálním detekčním systémem (CCD) a on-line připojeným počítačem, který holografický záznam zpracovává a poskytuje uživateli požadované výsledné zobrazení

Zpracování obrazu holografického mikroskopu

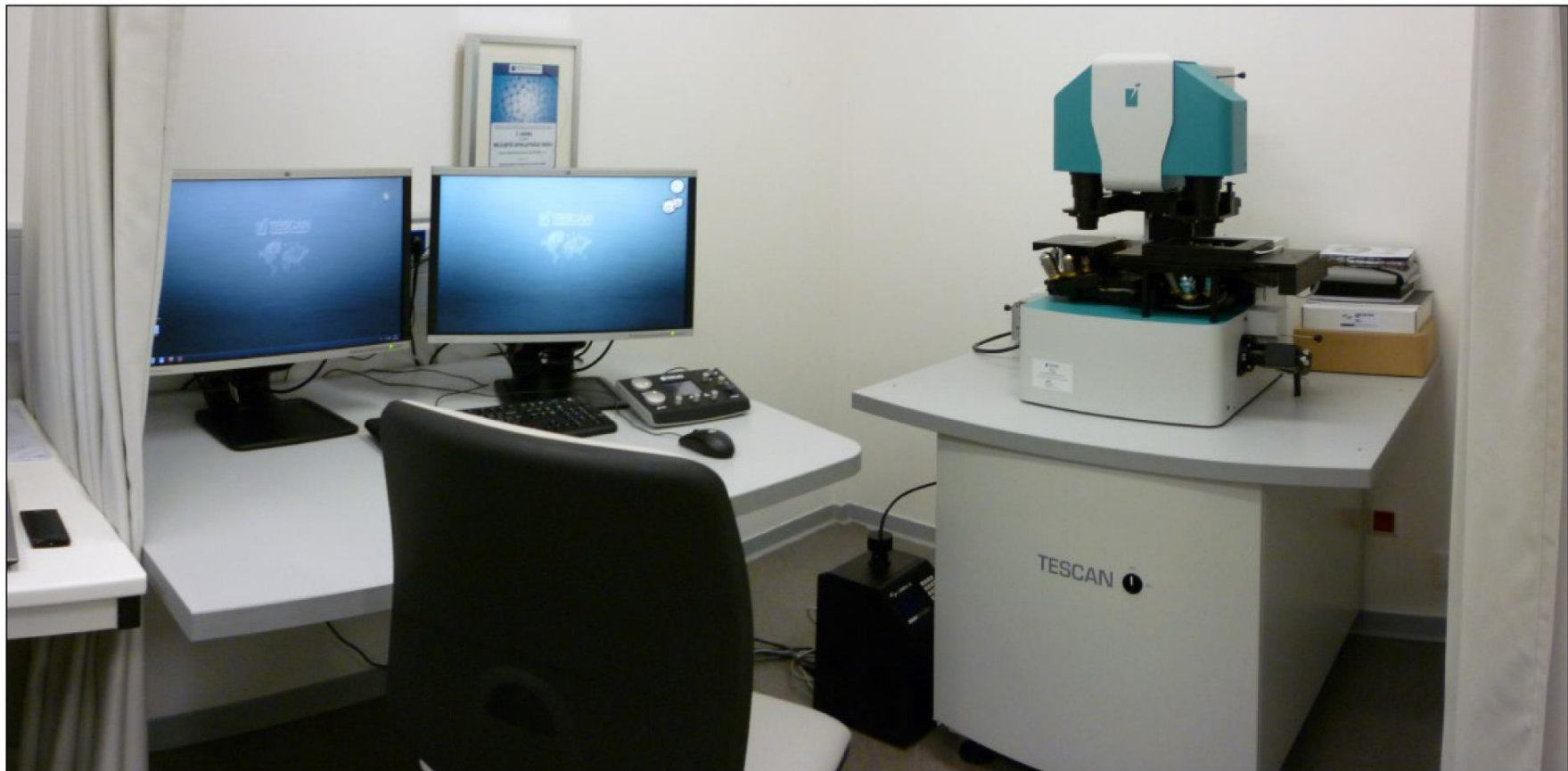


Koherencí řízený holografický mikroskop



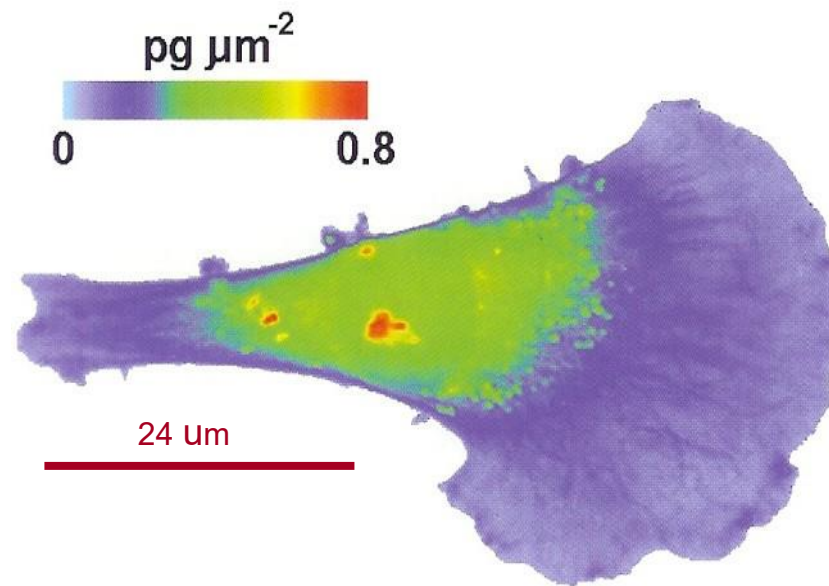
**T. Slabý, M. Antoš, R. Chmelík,
Z. Dostál, P. Kolman:**
Coherence-controlled holographic
microscope,
Proceedings of SPIE, Volume 7746,
pp.77461R-1-77461R-8, ISBN 978-
80-554-0238-3, (2010), SPIE

Koherencí řízený holografický mikroskop



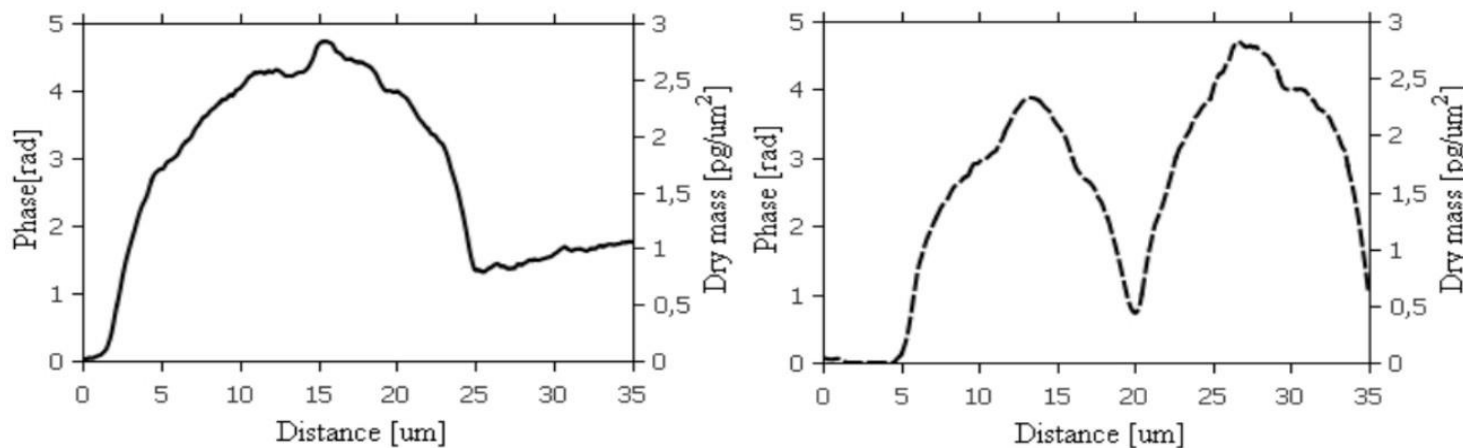
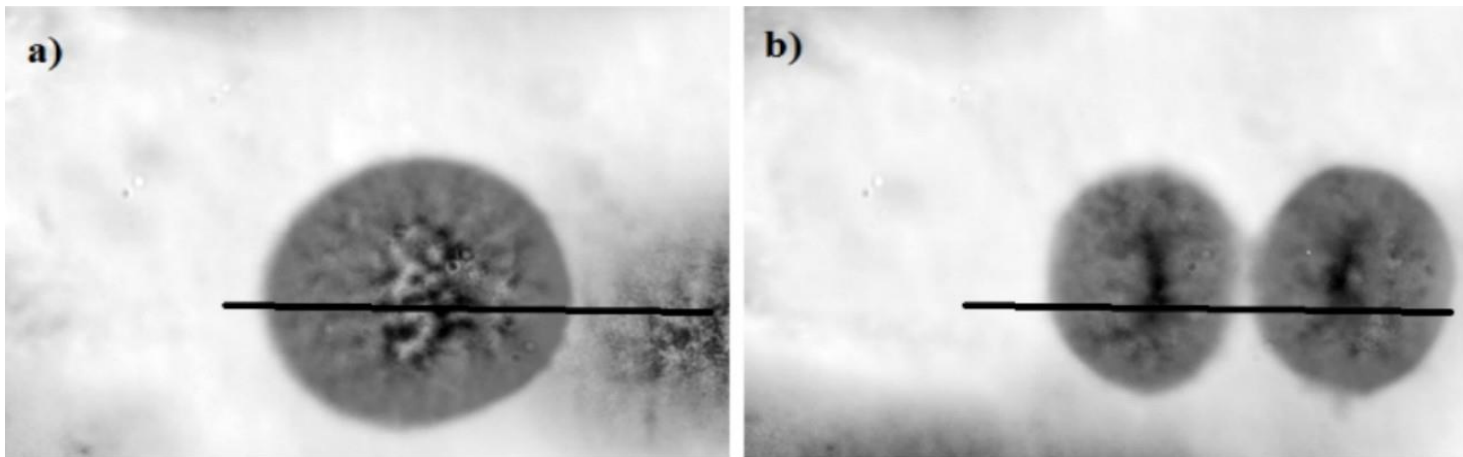
Kvantitativní fázový kontrast v biologii

Měření rozložení hustoty suché hmoty v buňce $W(i,j) = \frac{\phi(i,j)S}{\alpha k}$



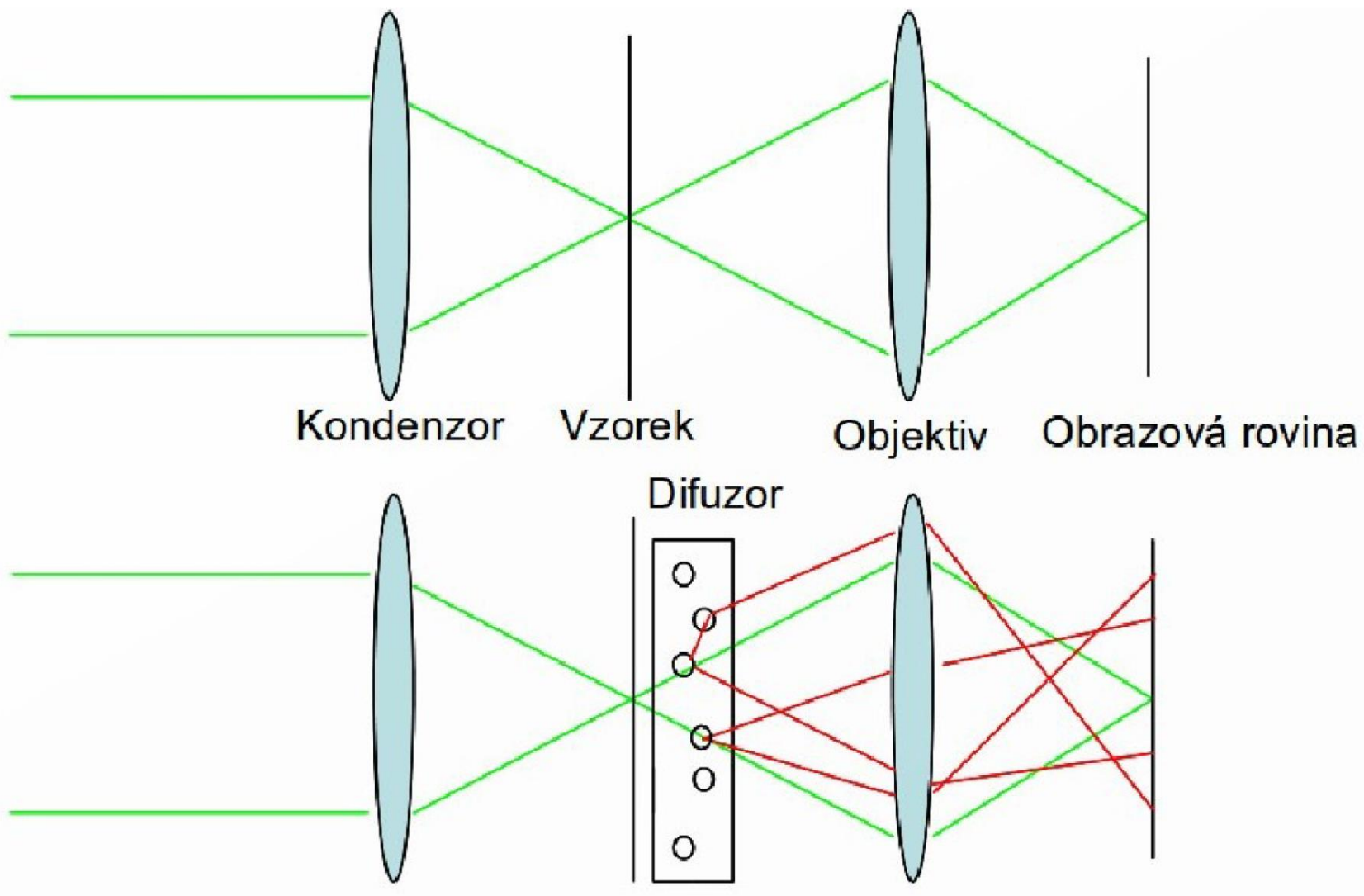
G. A. Dunn, *Proc. RMS* 33 (1998) 189-196.

Kvantitativní fázový kontrast v biologii

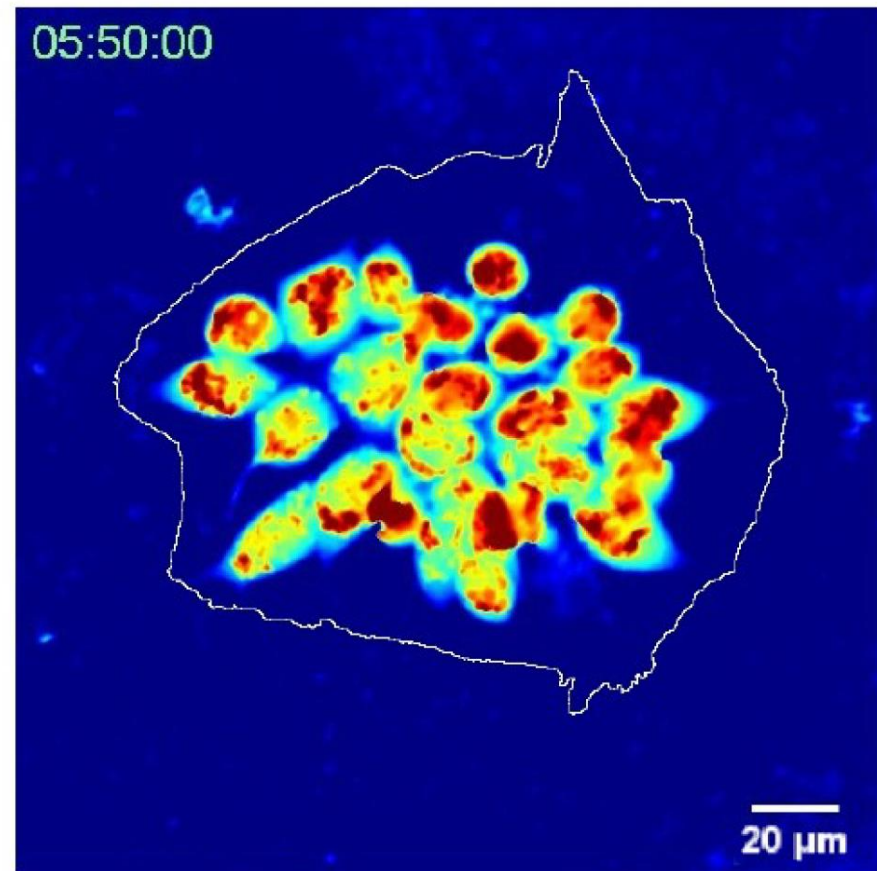
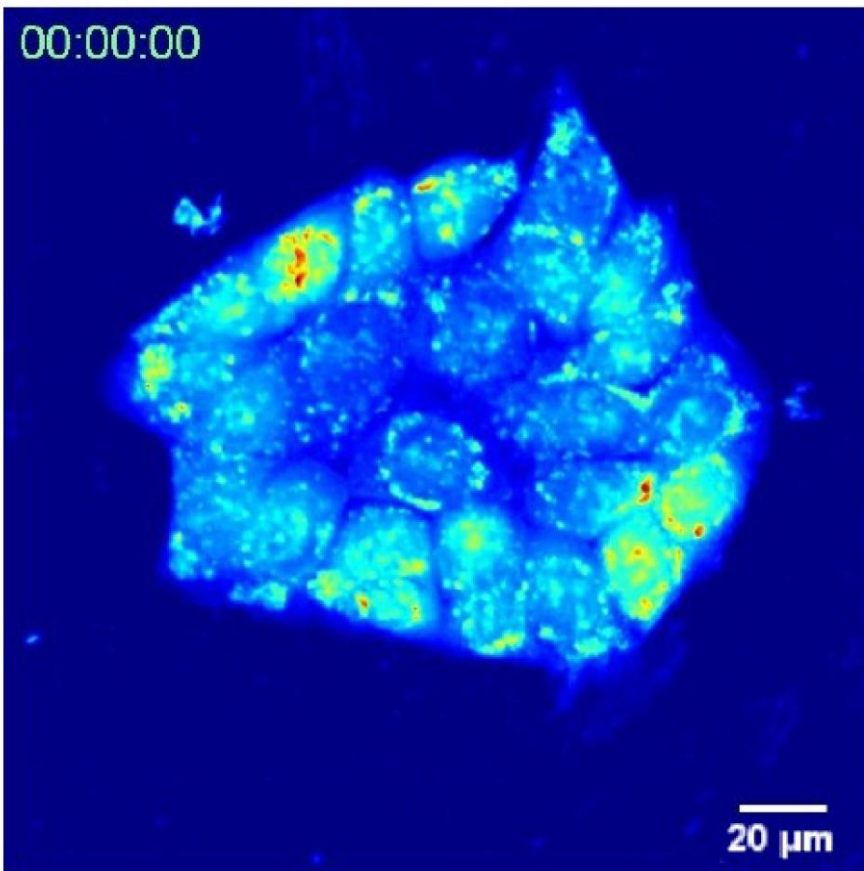


Krysí rakovinné buňky při mitóze: a) metafáze a b) cytokinez.

Efekt velmi nízké koherence v CCHM pro bilogii

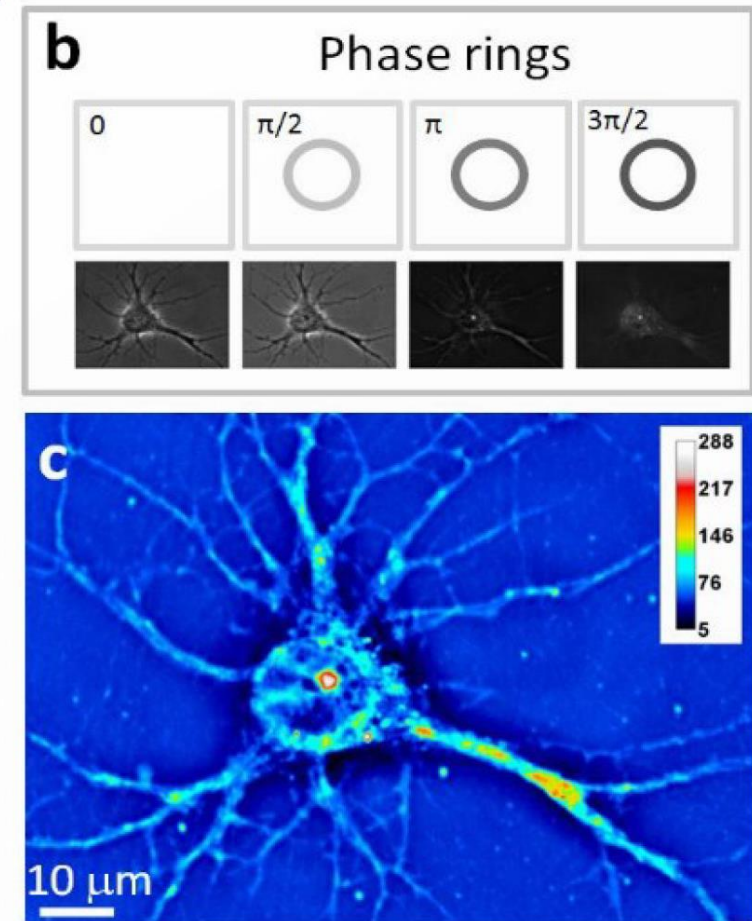
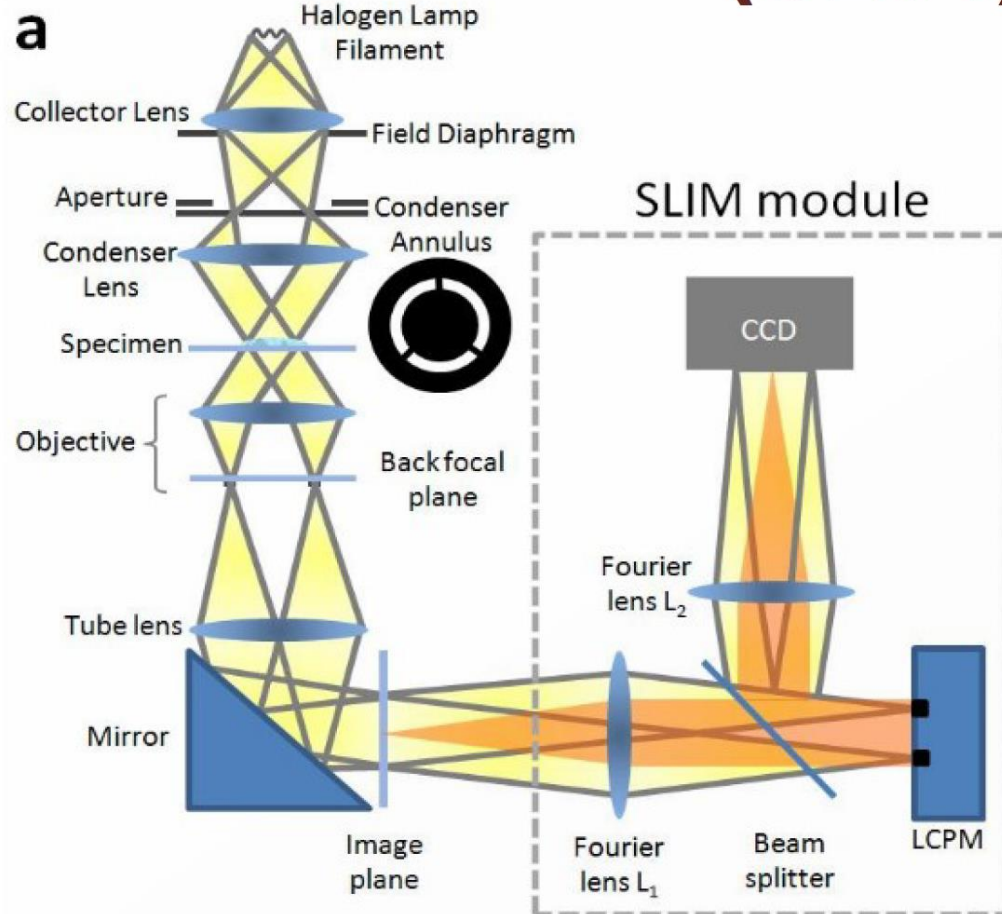


Efekt velmi nízké koherence v CCHM pro bilogii



Lidské colorectální rakovinné buňky při reakci na 0.15% emulzi bioaktivních fosfolipidů: a) před a b) po reakci.

Spatial light interference microscopy (SLIM)



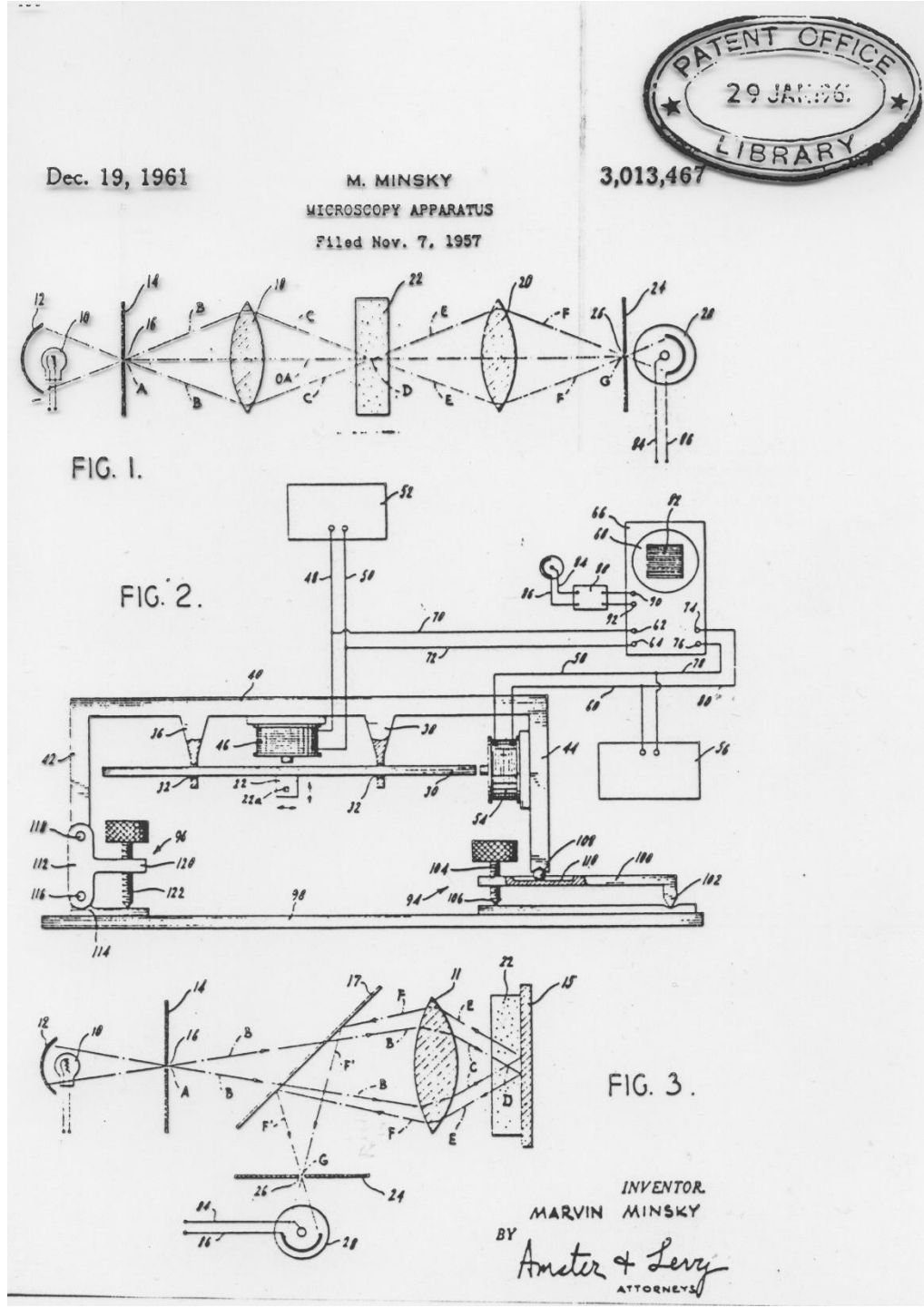
$$\Delta\phi(x, y) = \tan^{-1} \left[\frac{I(x, y; -\pi/2) - I(x, y; \pi/2)}{I(x, y; 0) - I(x, y; \pi)} \right]$$

Konfokální mikroskopie

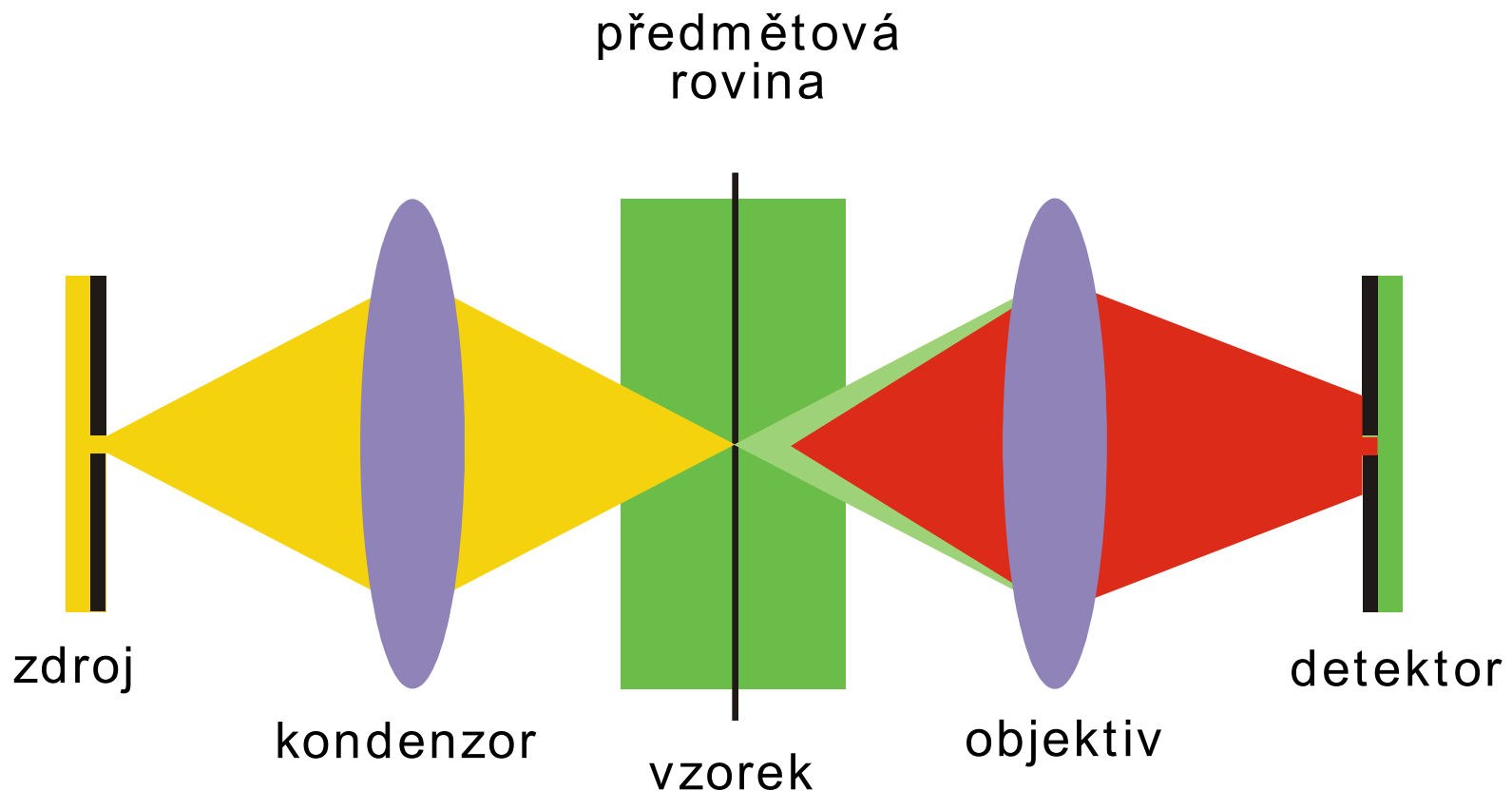


Marvin Lee Minsky (*1927)

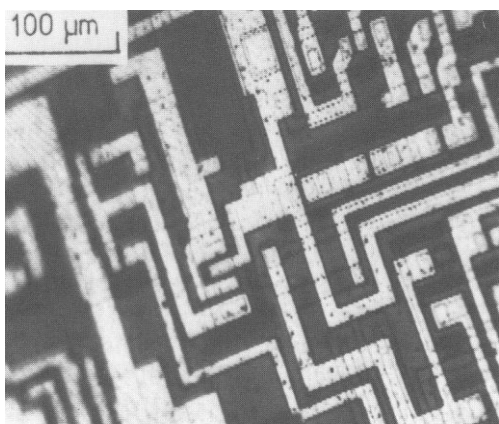
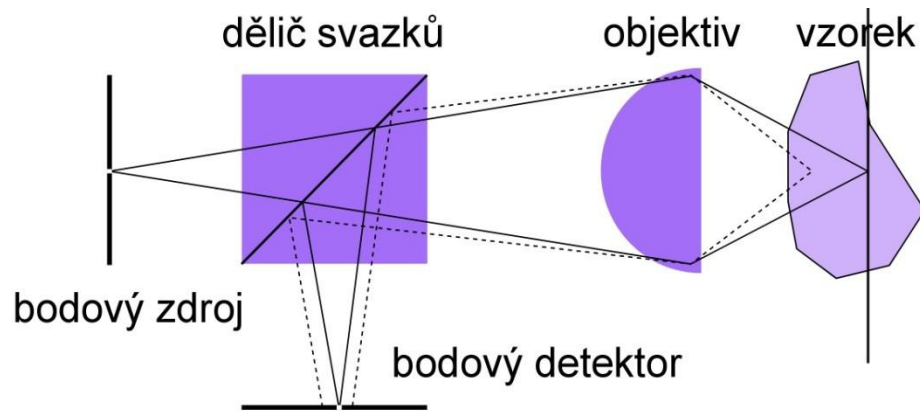
Marvin Minsky, "Memoir on Inventing the Confocal Scanning Microscope," *Scanning*, 10, pp.128-138, 1988



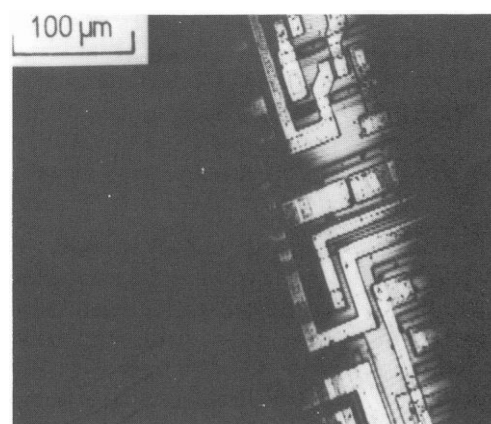
Princip konfokální mikroskopie



Hloubková diskriminace zobrazení v odraženém světle



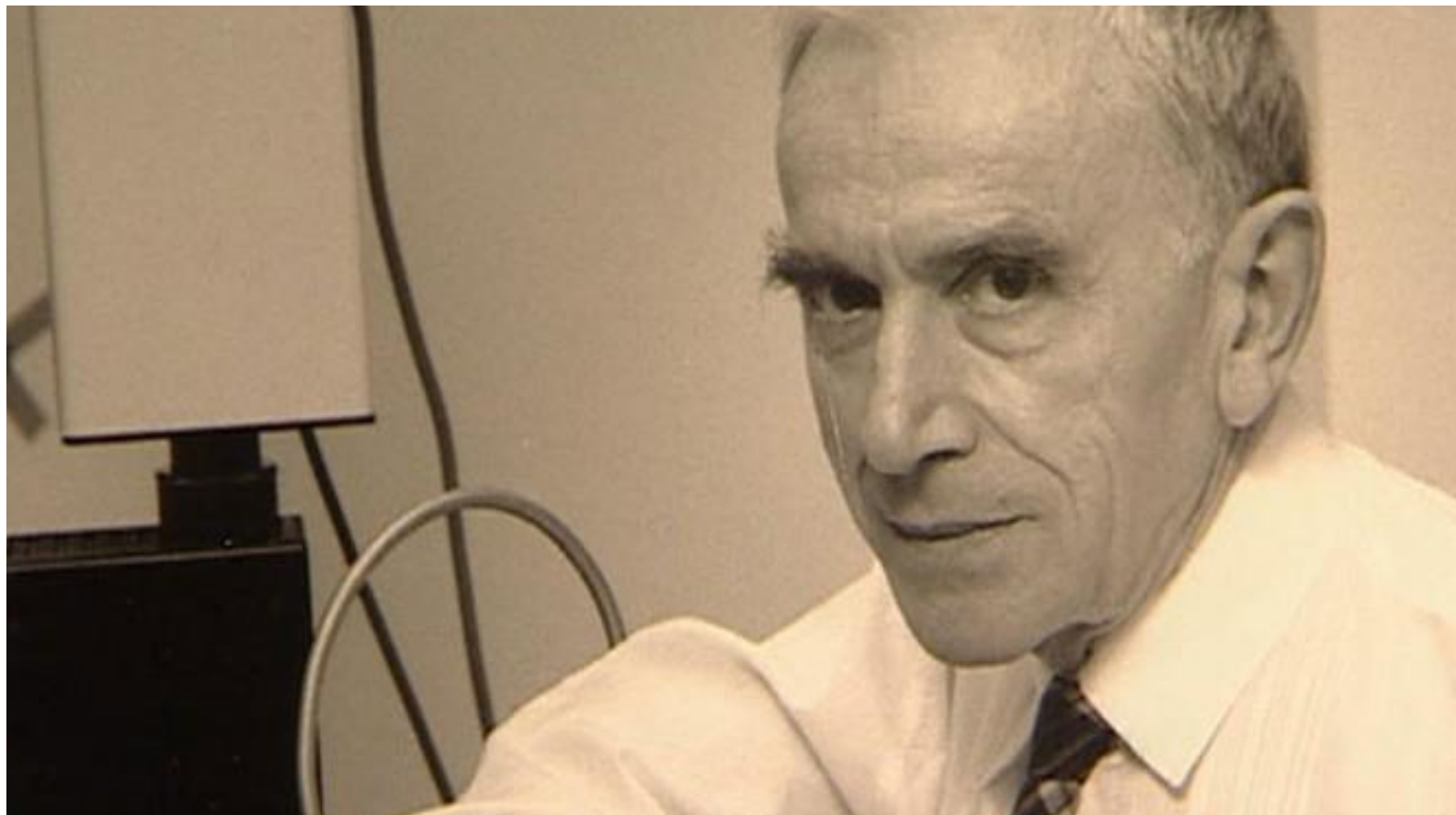
konvenční
rastrovací
mikroskop



konfokální
mikroskop

Confocal microscopy (T. Wilson, ed.), Academic Press, London 1990.

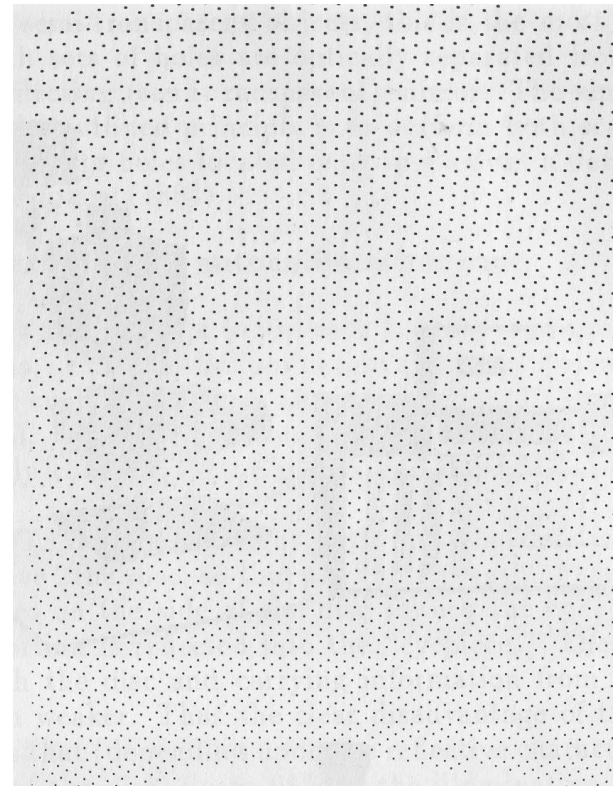
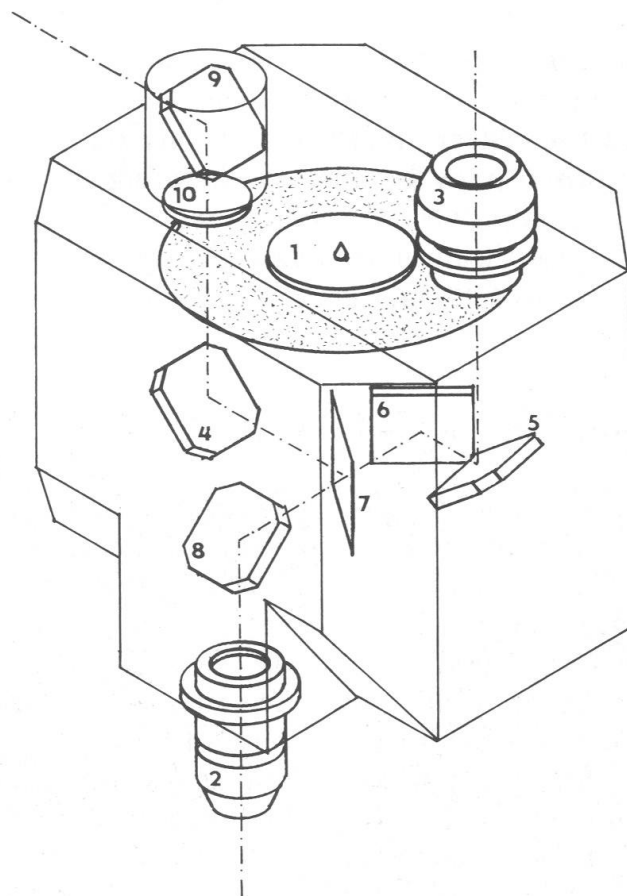
Mojmír Petráň & Milan Hadravský 1965



Pořad ČT o vynálezu KM: <http://bit.ly/okYX1Y>

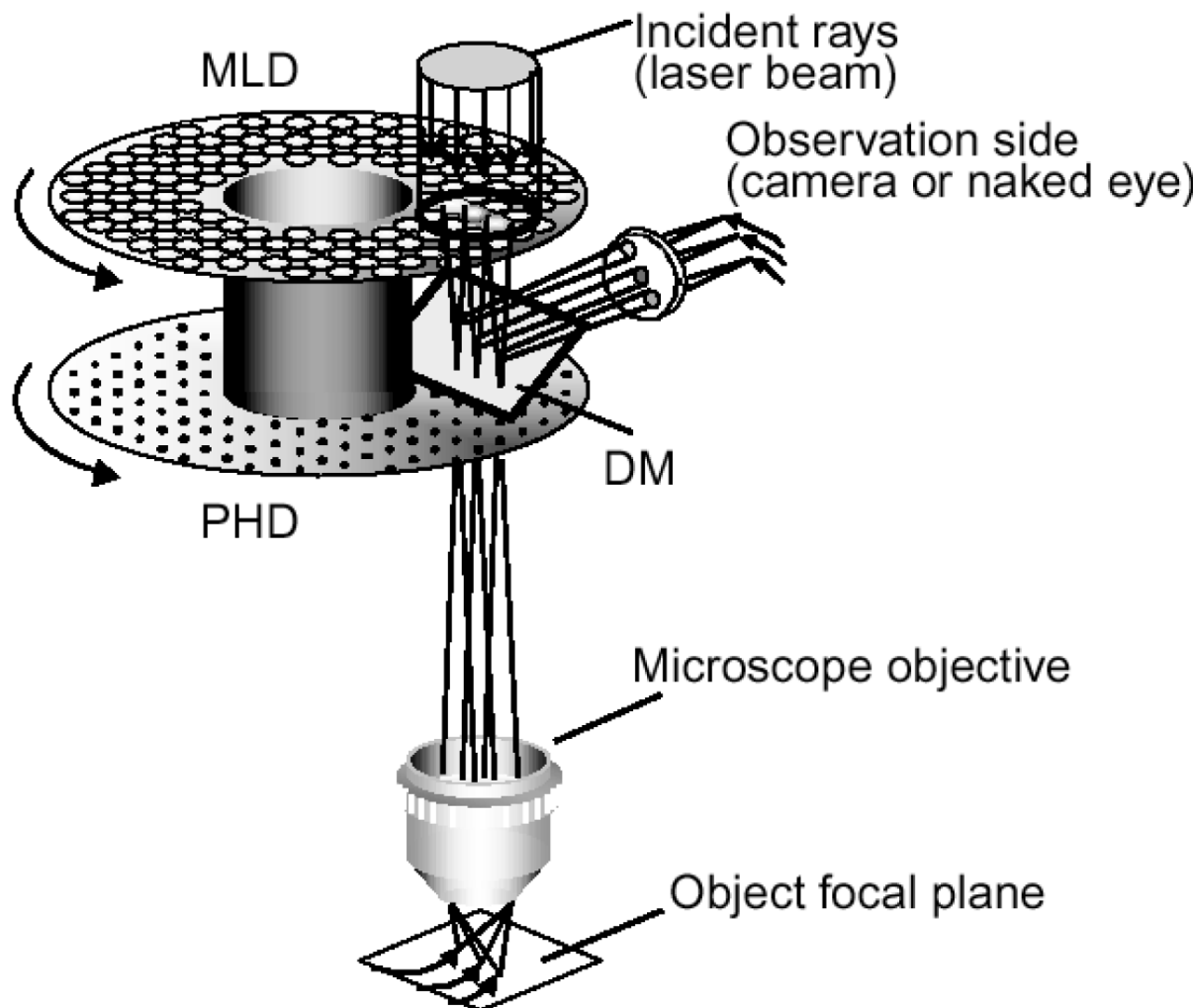
Mojmír Petráň & Milan Hadrauský

Tandem scanning light microscope



Confocal microscopy (T. Wilson, ed.), Academic Press, London 1990.

Modifikace TSRLM - „Yokogawa scanner“



Olympus LEXT OLS 3100

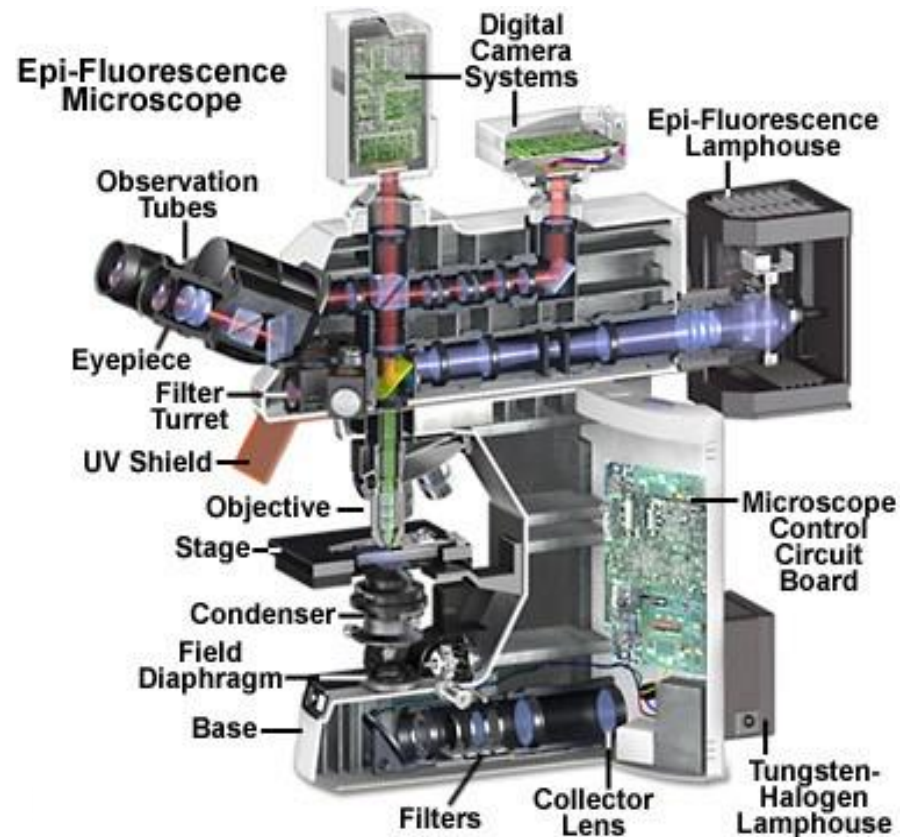
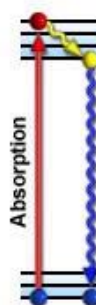
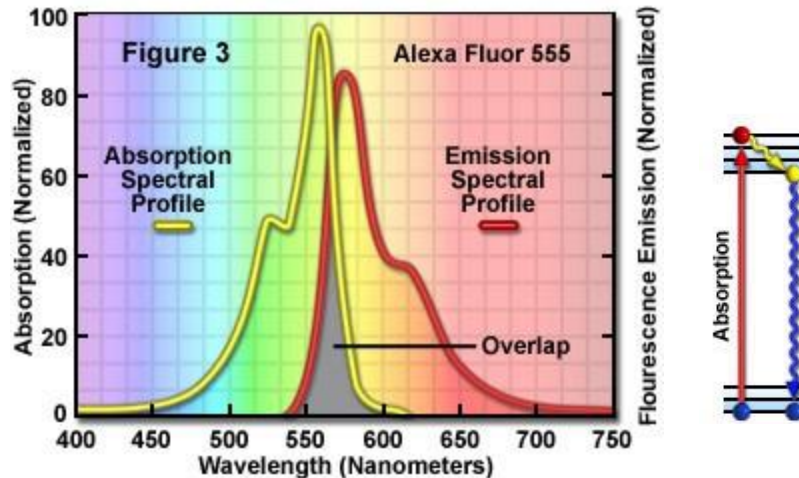
příklad konfokálního mikroskopu specializovaného na měření povrchů:

- zobrazovací mody: BF (osvětlení bílou LED, barevné zobrazení), DIC, laserové konfokální zobrazení (laser 408 nm, konfokální UV optika), konfokální DIC
- rozlišení v laserovém konfokálním modu: **laterální: 120 nm (čarové)
axiální: 10 nm (rovina)**



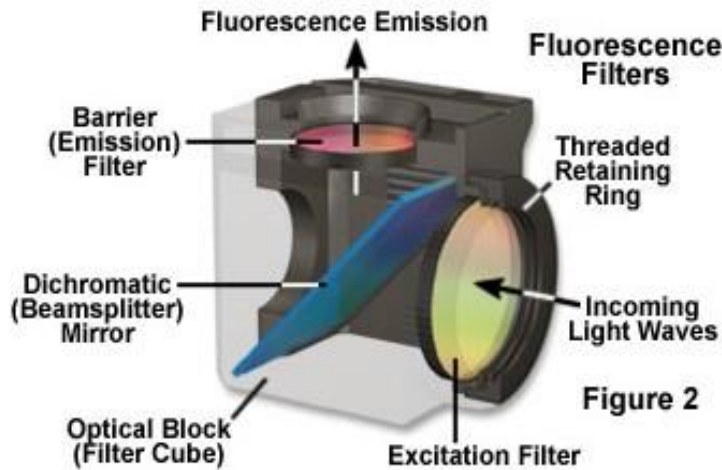
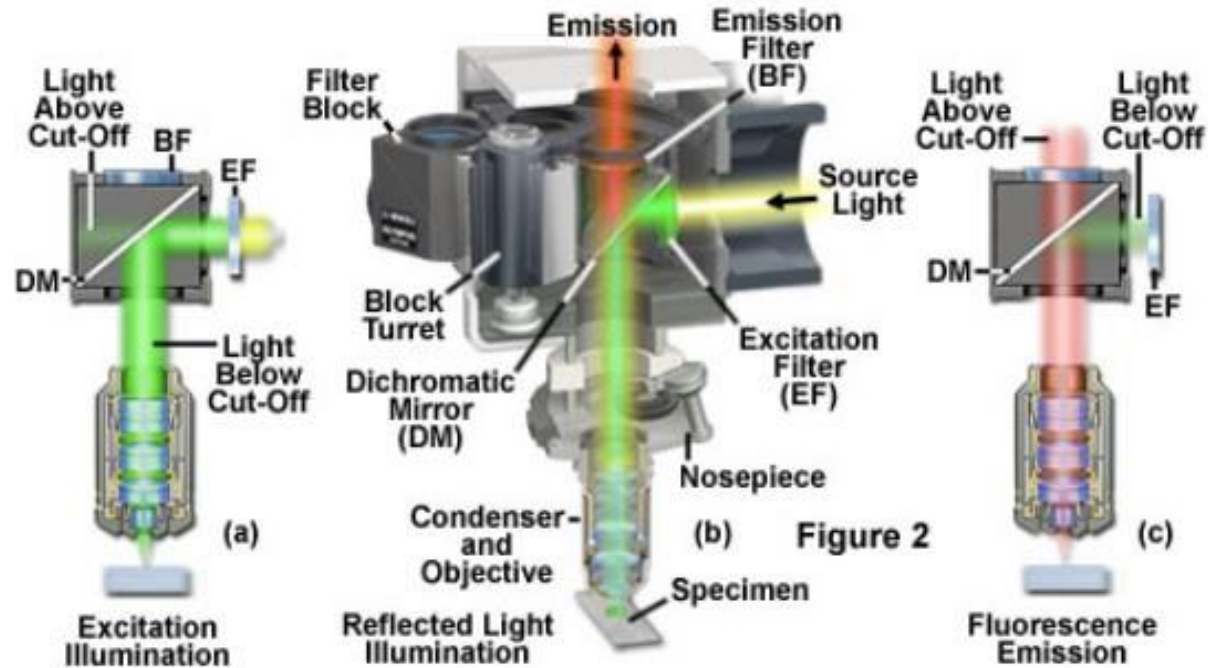
Fluorescenční mikroskopie

Fluorophore Absorption and Emission Profiles

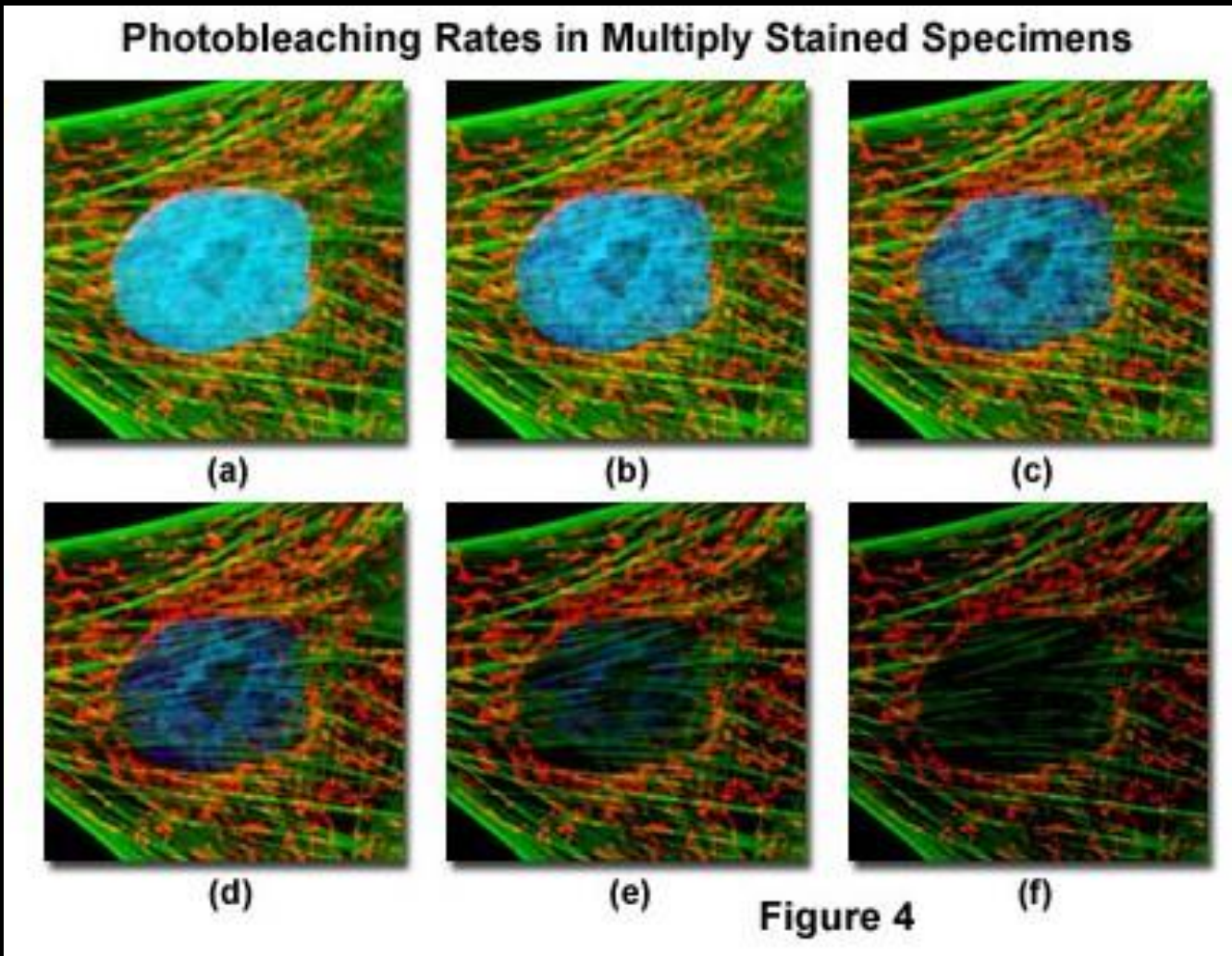


Fluorescenční mikroskopie

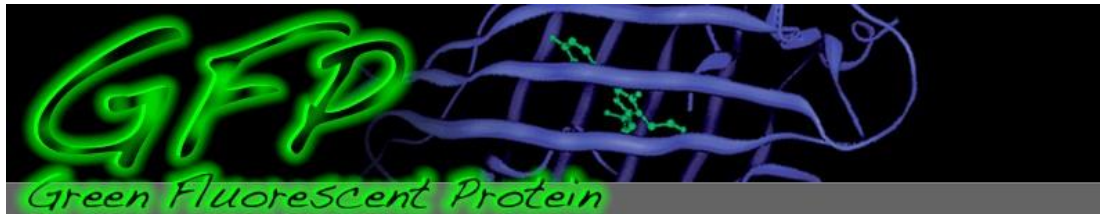
Dichromatic Mirror Function in Reflected Light Fluorescence Illumination



Blednutí (Fading): vyhasínání (Quenching) a vybělování (Photobleaching)



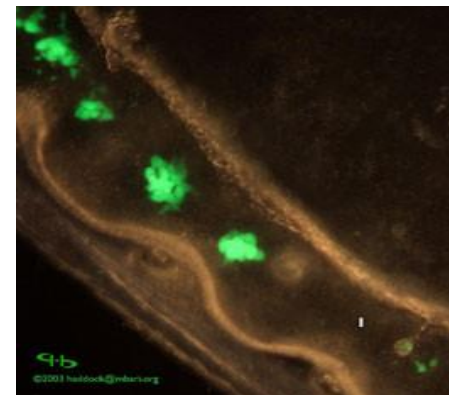
barvení: jádro aktin a mitochondrie deriváty phalloidinu



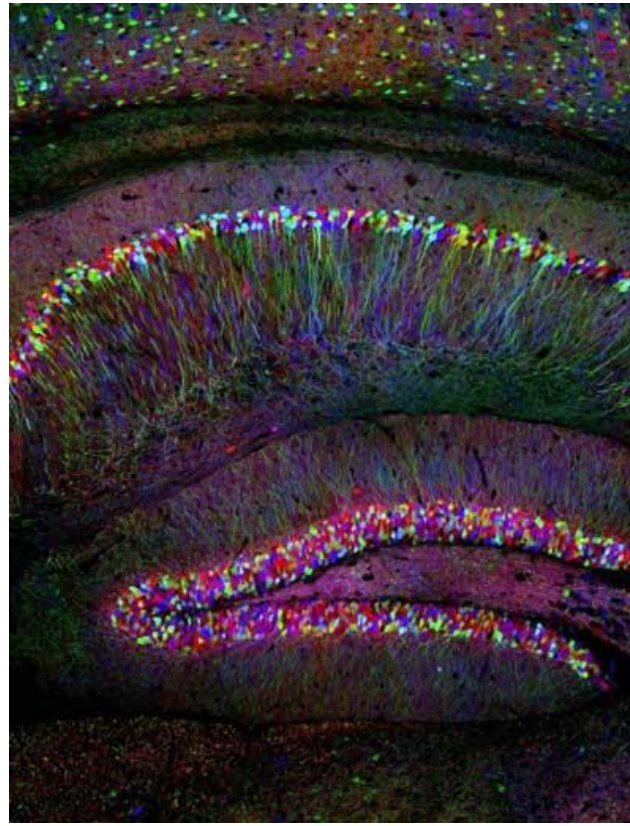
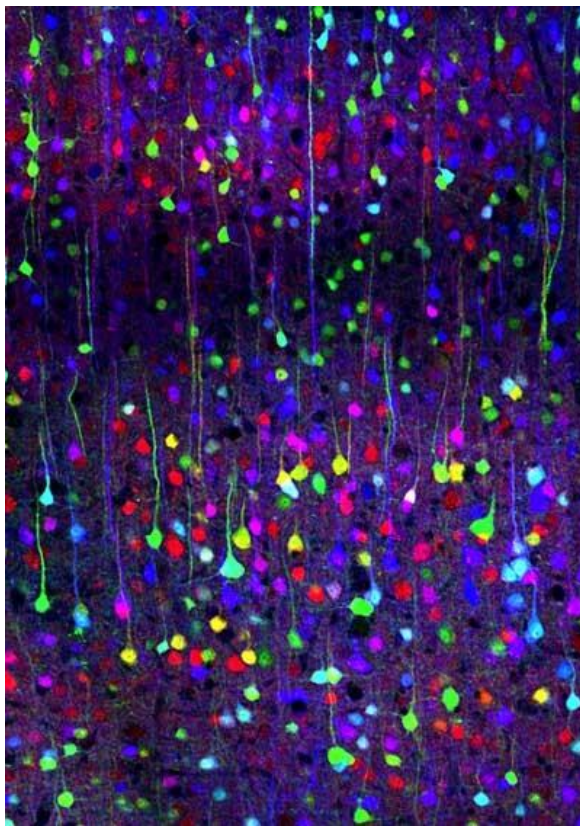
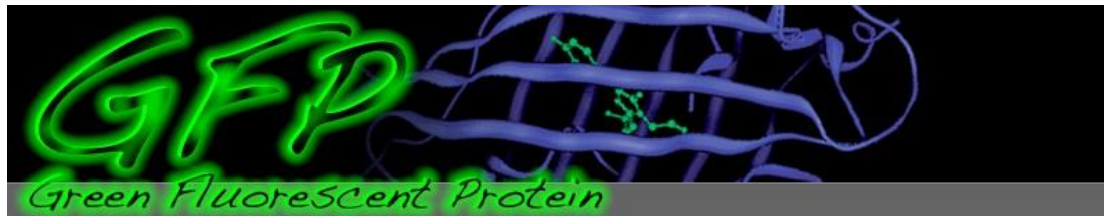
- protein, který se nachází v medúze *Aequorea victoria*
- je kódován jedním genem a okamžitě po translaci není fluorescenční, nicméně zhruba po jedné hodině sám katalyzuje modifikaci, během které se vytvoří výkonné fluorescenční centrum schované uvnitř proteinu, který svým tvarem připomíná soudek.
- díky pozičním mutacím GFP byly vytvořeny další fluorescenční proteiny s pozměněným excitačním a emisním spektrem v modro-zeleno-žlutém rozsahu.
- DNA sekvence kódující GFP může být vložena buď na začátek, nebo na konec genu kódujícího studovaný protein. To se realizuje mimo buňku s využitím plasmidu (kruhová DNA), do kterého se vloží spojená DNA sekvence požadovaného proteinu a GFP. Buňky jsou následně transfekovány tímto plasmidem a dochází k expresi fluorescenčního proteinu, který se skládá z původního proteinu a přidružené GFP oblasti. Tento GFP-fúzní protein se často v buňce chová jako původní protein a umožňuje zkoumat jeho aktivitu a lokalizaci.



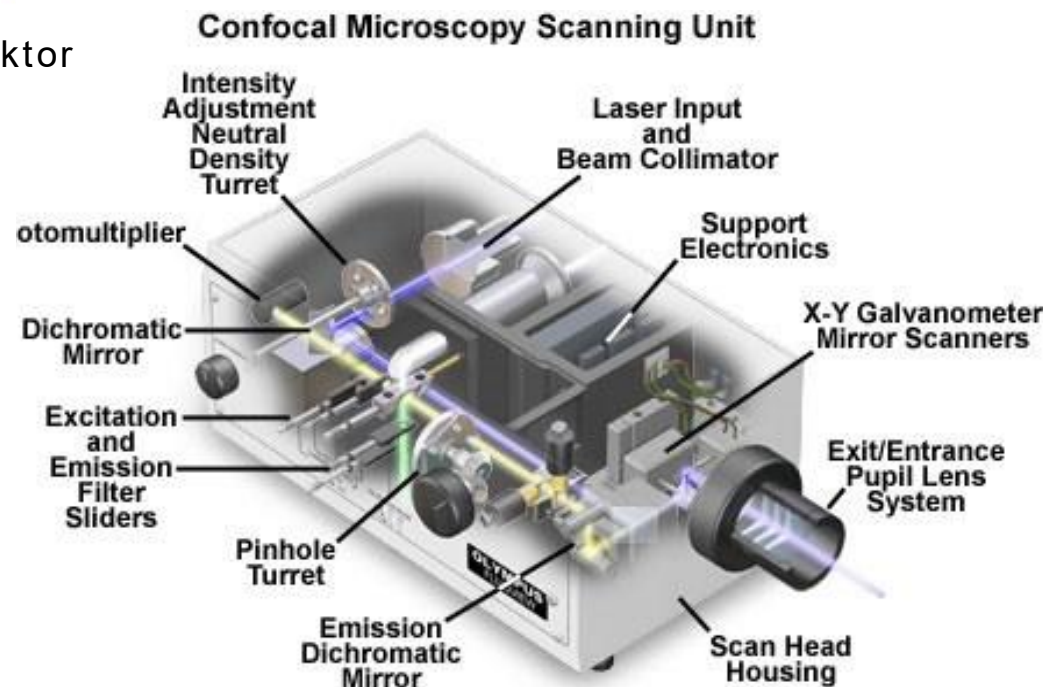
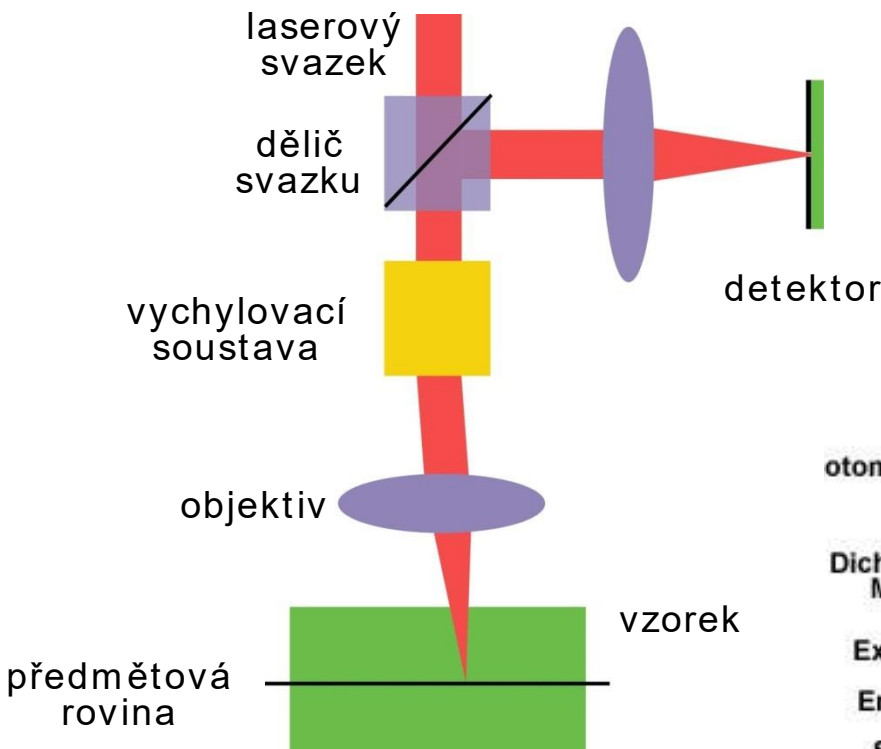
Aequorea victoria



Aequorea victoria photoorgan-

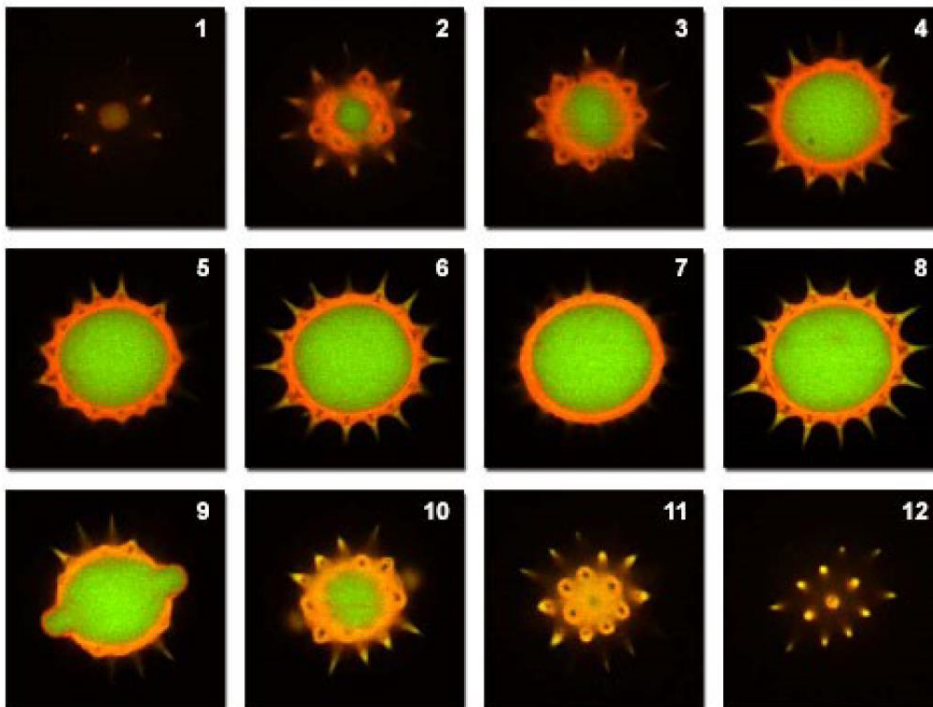


Konfokální laserový rastrovací mikroskop (CLSM)

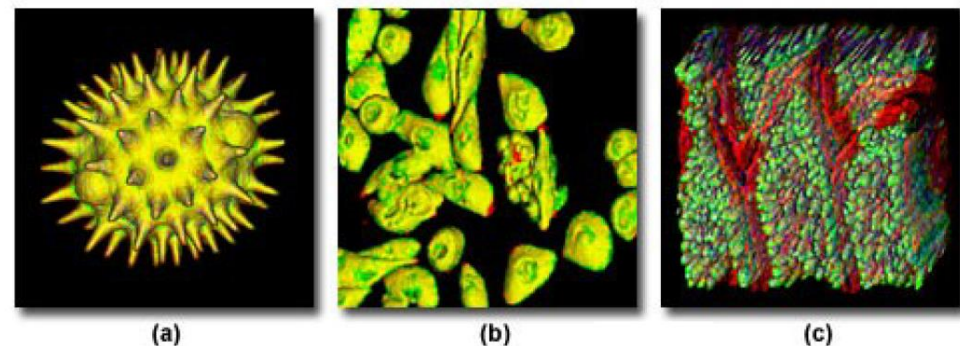


Optické řezy pomocí CLSM a fluorescence

Pollen Grain Serial Optical Sections by Confocal Microscopy



Three-Dimensional Volume Renders from Confocal Optical Sections



A1R⁺ konfokální mikroskop - Nikon

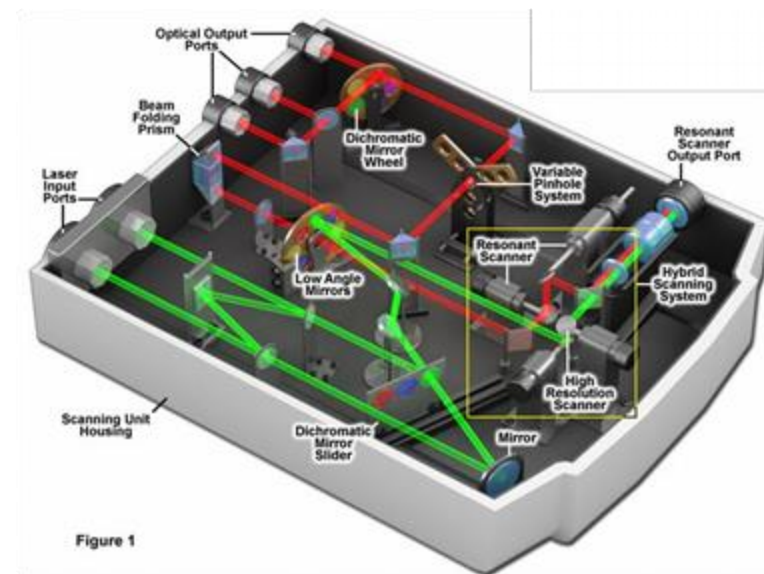
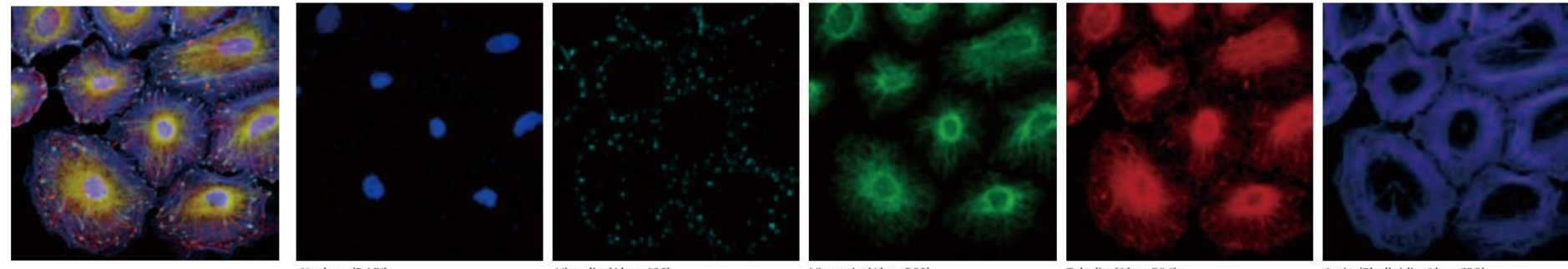


Figure 1



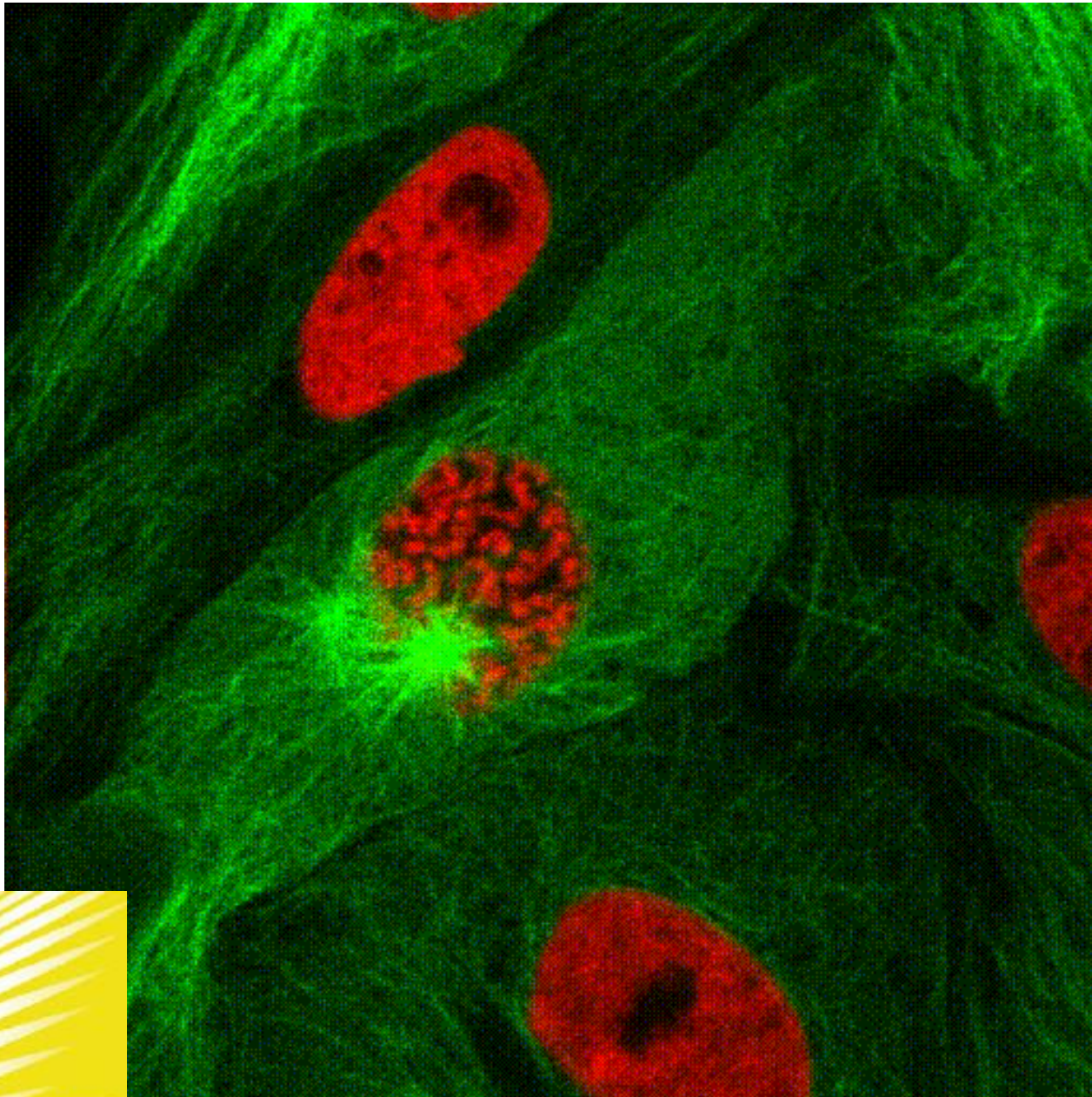
Nucleus (DAPI)

Vinculin (Alexa488)

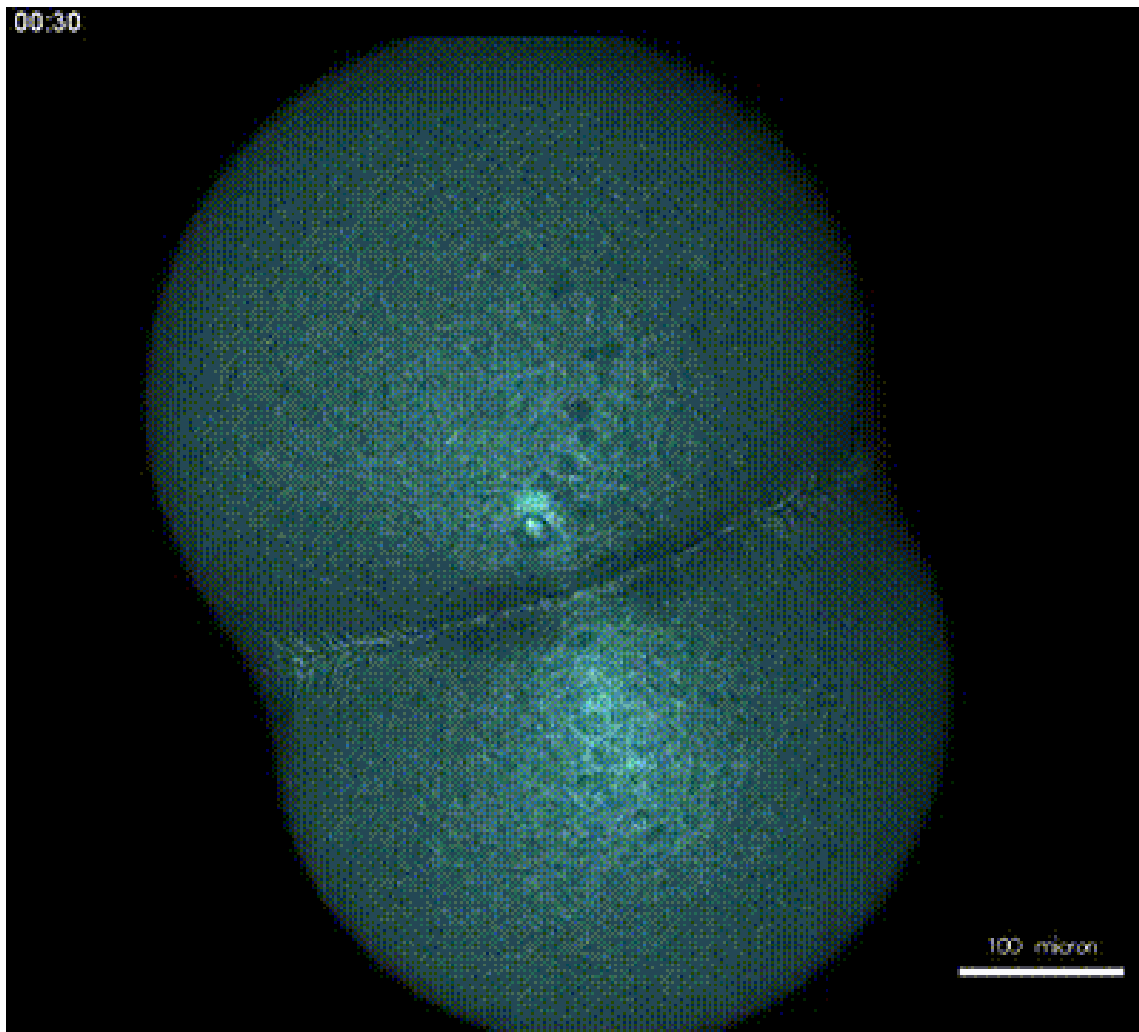
Vimentin (Alexa568)

Tubulin (Alexa594)

Actin (Phalloidin-Alexa633)

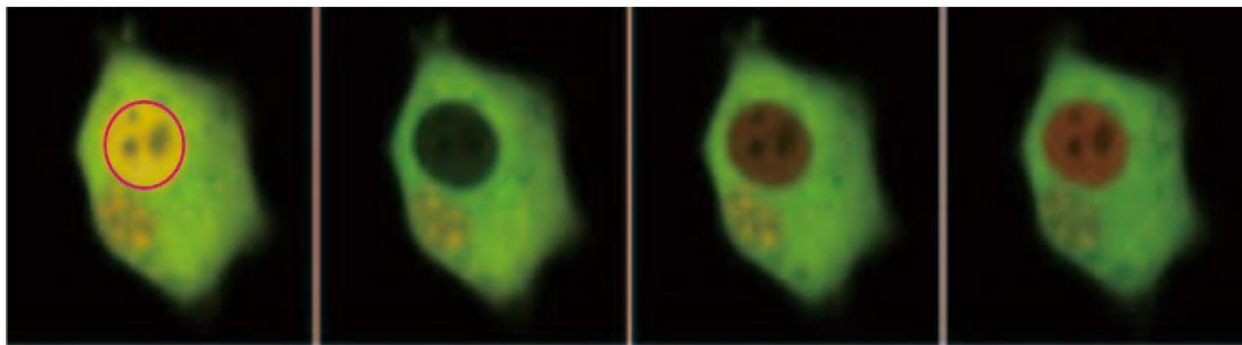


Zebra fish



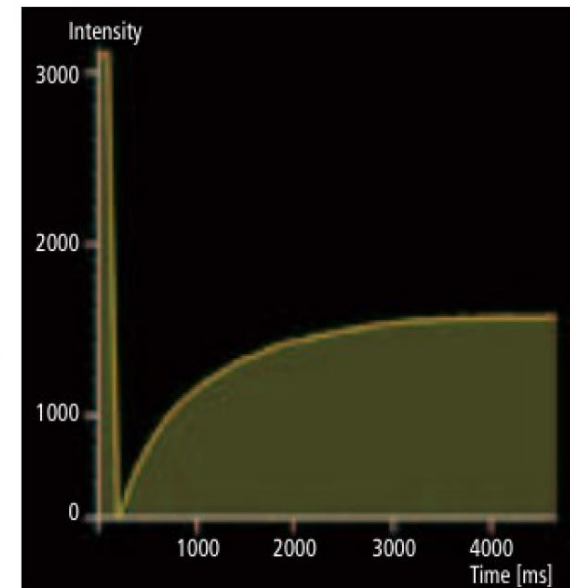
FRAP (Fluorescence Recovery After Photobleaching)

- Metoda vyvinuta původně pro laterální difúzi molekul v membránách.
- Fluorescenční molekula je fúzována se zkoumaným proteinem nebo membránovými lipidy.
- Po ozáření vybraného místa excitačním světlem je fluorescence molekul vysvícena.
- Pozorujeme znovuobnovení fluorescence ve vysvíceném místě, které svědčí o laterálním pohybu molekul v membránách, kontinuitě membránových organel, pohyb zkoumaných molekul nebo transportu molekul (cytoskelet).



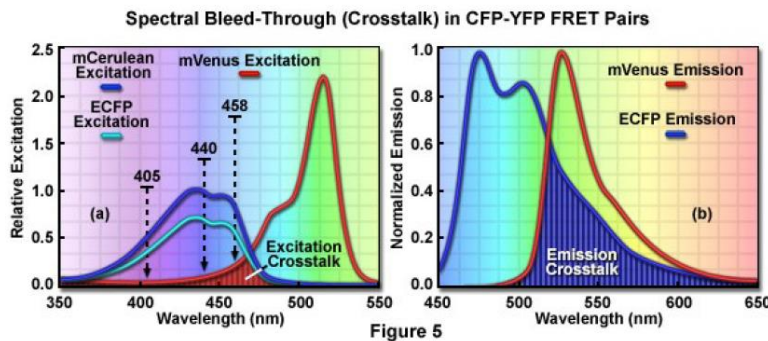
FRAP experiment observing nuclear transport of the YFP-label during a time-lapse acquisition sequence.

The graph indicates the intensity change of the red ROI

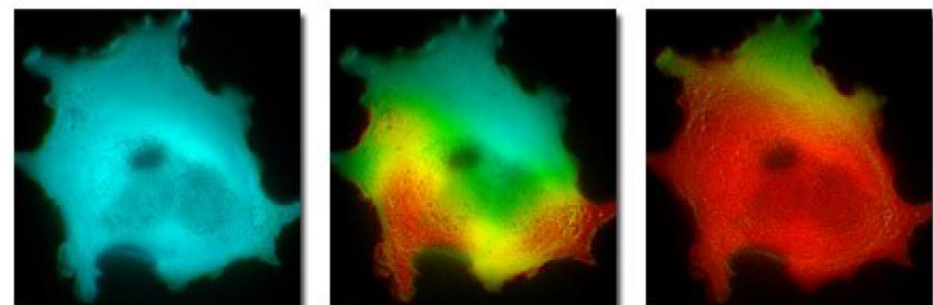


FRET (Förster Resonance Energy Transfer)

- FRET umožňuje studovat interakce mezi proteiny, interakce protein-DNA a strukturní změny proteinů
- molekuly jsou označeny odlišnými fluorochromy, které jsou zvoleny tak, aby se emisní spektrum jednoho z nich překrývalo s excitačním spektrem druhého.
- Pokud tyto molekuly vzájemně reagují a jejich fluorochromy se dostanou velice blízko (méně než na 4 nm), energie excitovaného světla se může přenést z jednoho fluorochromu na druhý.
- při osvícení komplexu excitačním světlem prvního fluorochromu dostaneme emisní spektrum světla odpovídající druhému fluorochromu.
- je používána s dvěma odlišnými spektrálními variantami GFP například při měření interakce mezi signální molekulou a jejím receptorem.
- získat kvantitativní FRET informaci z jednoho obrázku je složité - fluorescenční intenzita nezávisí jenom na účinnosti přenosu, ale i na neznámé koncentraci barviva - 8 měření s různými excitačními a emisními vlnovými délkami



Sensitized Emission and Acceptor Photobleaching FRET



Multifotonová (konfokální) mikroskopie

- vysoké intenzitě světla - molekula pohtí dva fotony, které mají energii rovnou polovině energie nutné pro přechod z S₀ do S₁ (popř. 3 fotony o třetinové energii, atd.).
- nutno zfokusovat paprsek velmi silného laseru objektivem s velkou NA.
- **Vlastnosti zobrazení**
 - optické řezy mohou být získávány hlouběji z tkání než v konfokálním mikroskopu nebo v zobrazení klasickým mikroskopem
 - excitační světlo není utlumeno absorpcí fluoroforu nad rovinou zaostření
 - delší vlnové délky nejsou preparátem tolik rozptylovány
 - fluorescenční signál není degradován rozptylem uvnitř vzorku protože není zobrazen
 - všechny emitované fotony z multifotonové excitace mohou být použity pro zobrazení, proto není potřeba konfokálních clonek

2fotonová excitace molekuly



Fluorophore Excitation in Multiphoton Microscopy

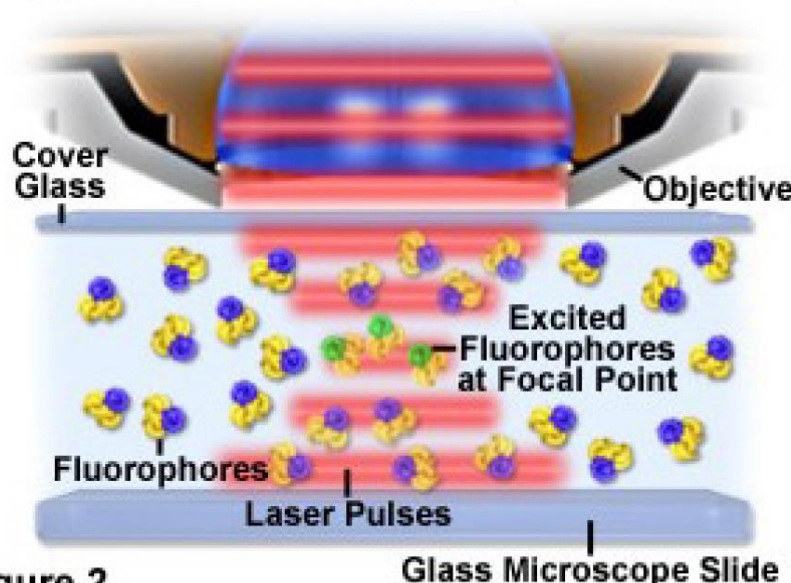
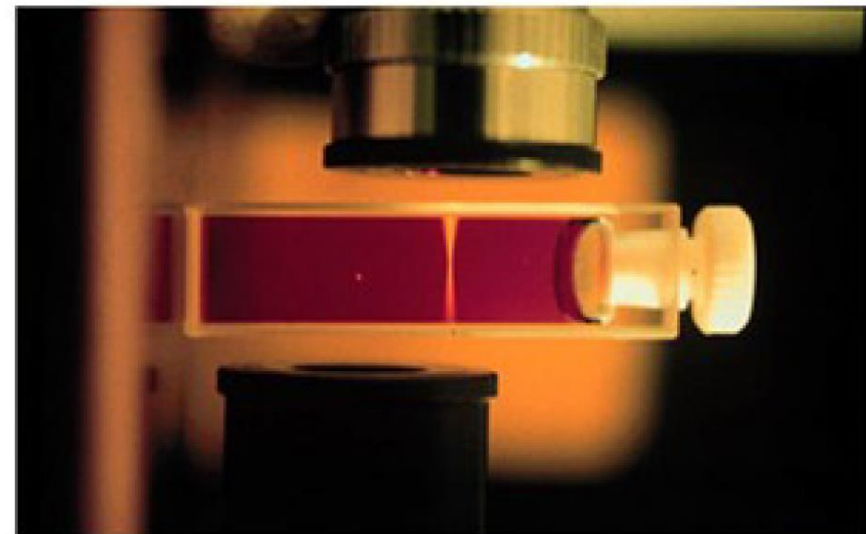
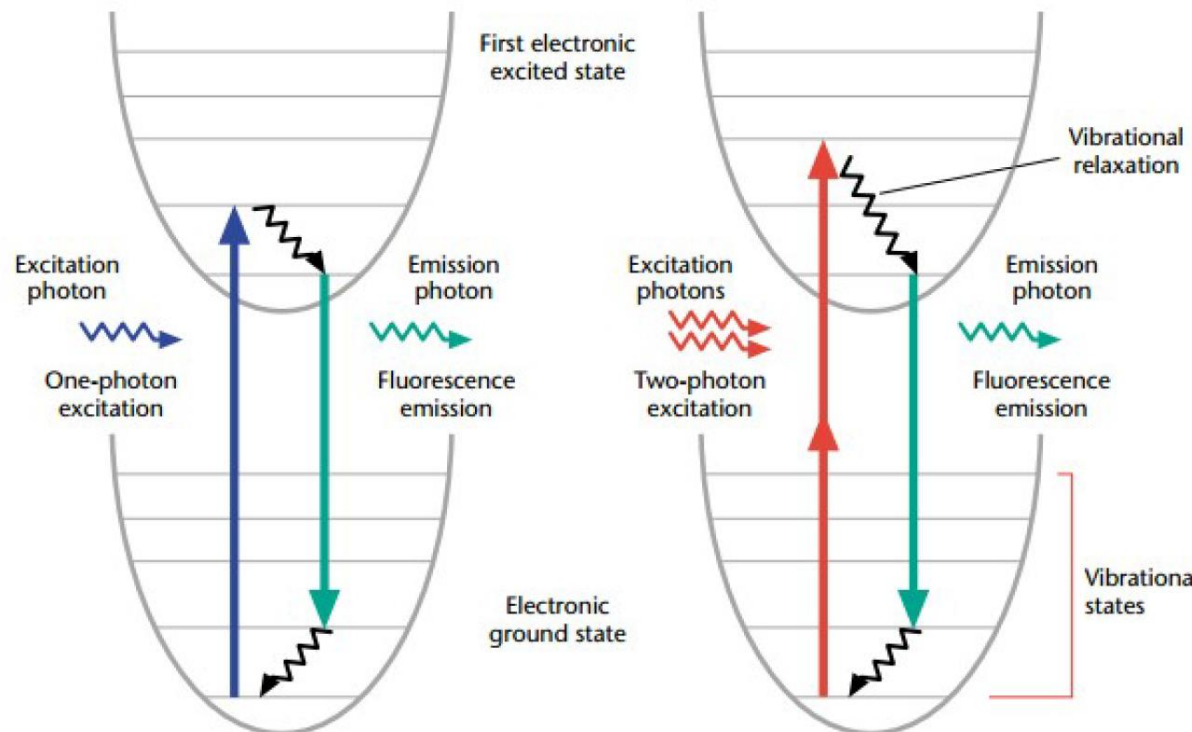


Figure 2



2fotonová excitace molekuly

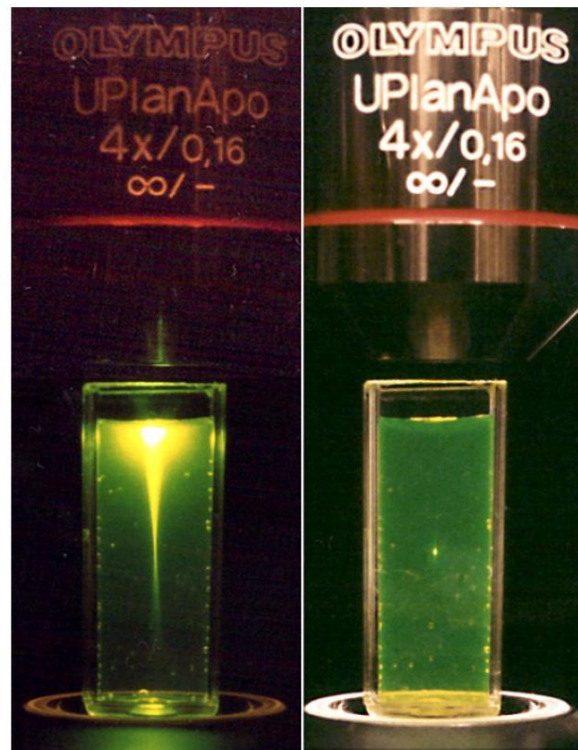
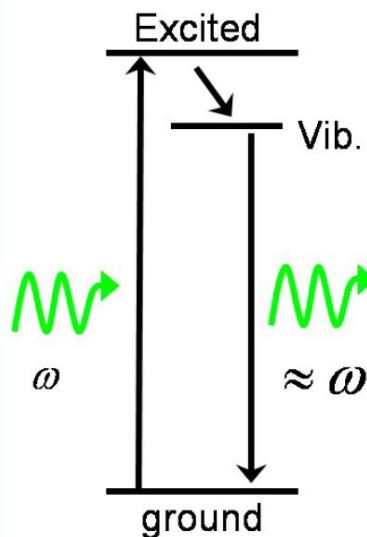


2fotonová excitace molekuly

Vznik optických řezů :

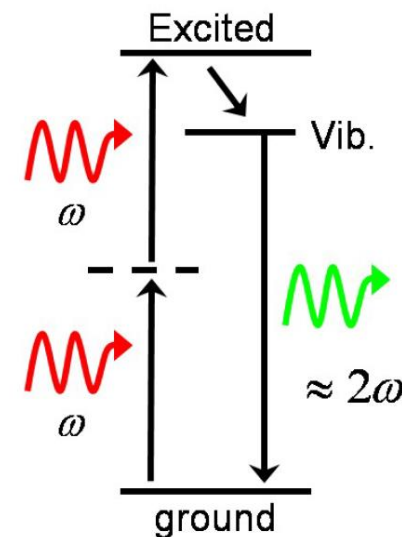
One-photon
fluorescence

$$\boxed{Signal \propto I}$$



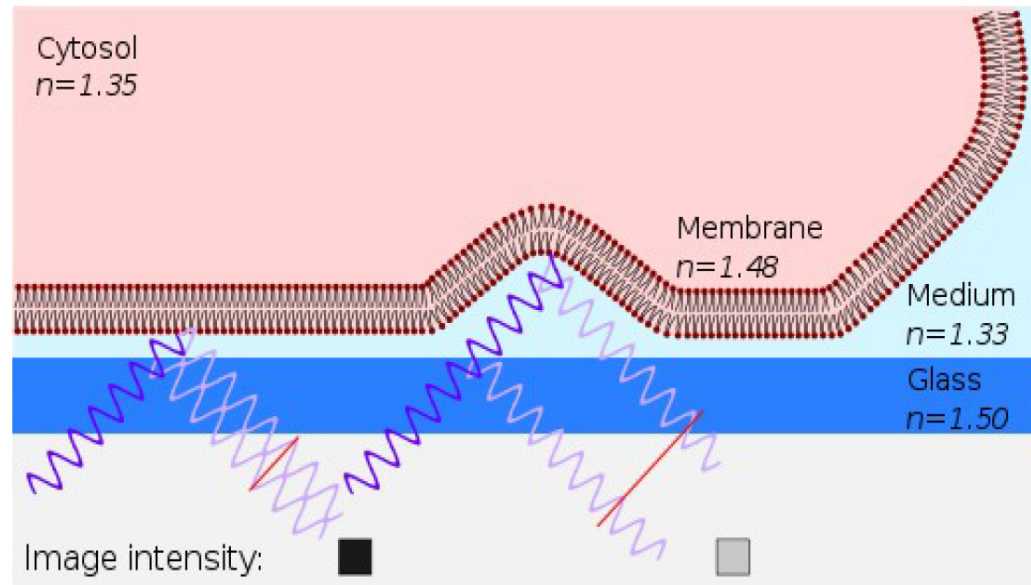
Two-photon
fluorescence

$$\boxed{Signal \propto I^2}$$

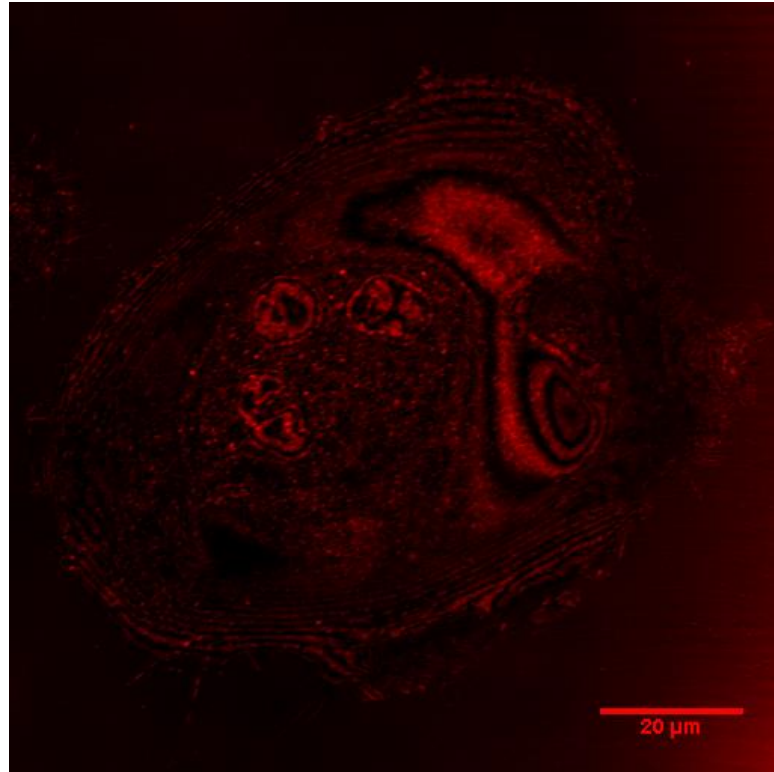
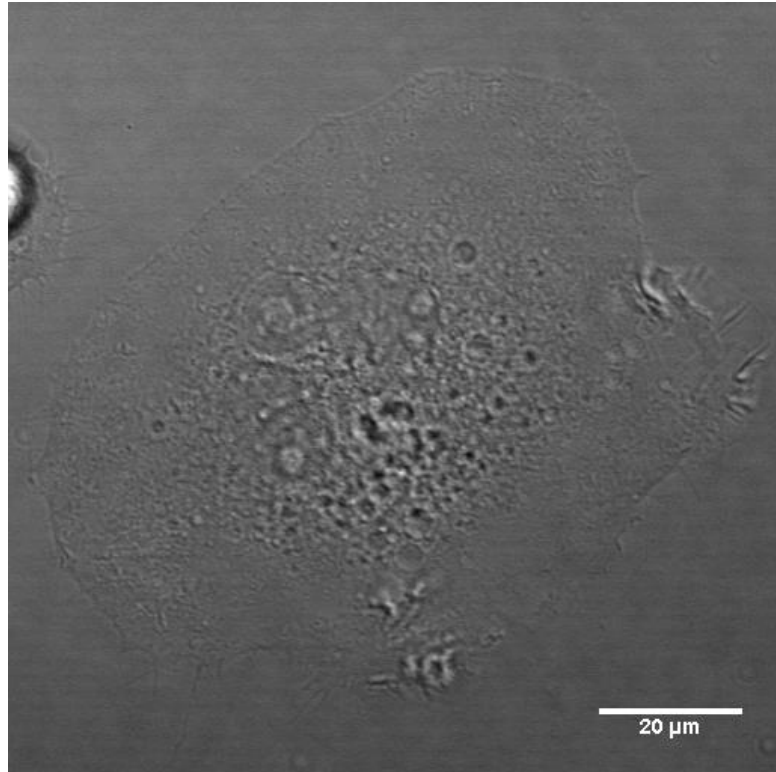


RICM (Reflection interference microscopy)

- Optická technika používaná ke studiu adheze buněk nebo pohyblivosti buněk na skleněném krycím sklíčku.
- Interference odražených světelných vln vytváří obraz s vysokým kontrastem a ostrostí.
- IRM může být použita pro téměř jakoukoliv buňku, která spočívá na povrchu skla.

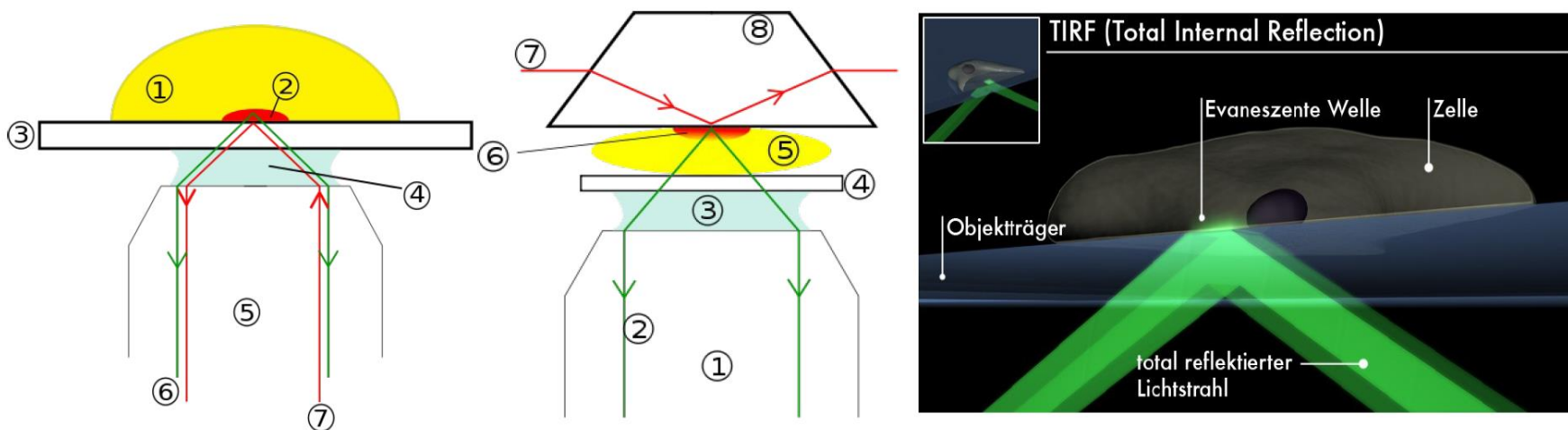


RICM (Reflection interference microscopy)

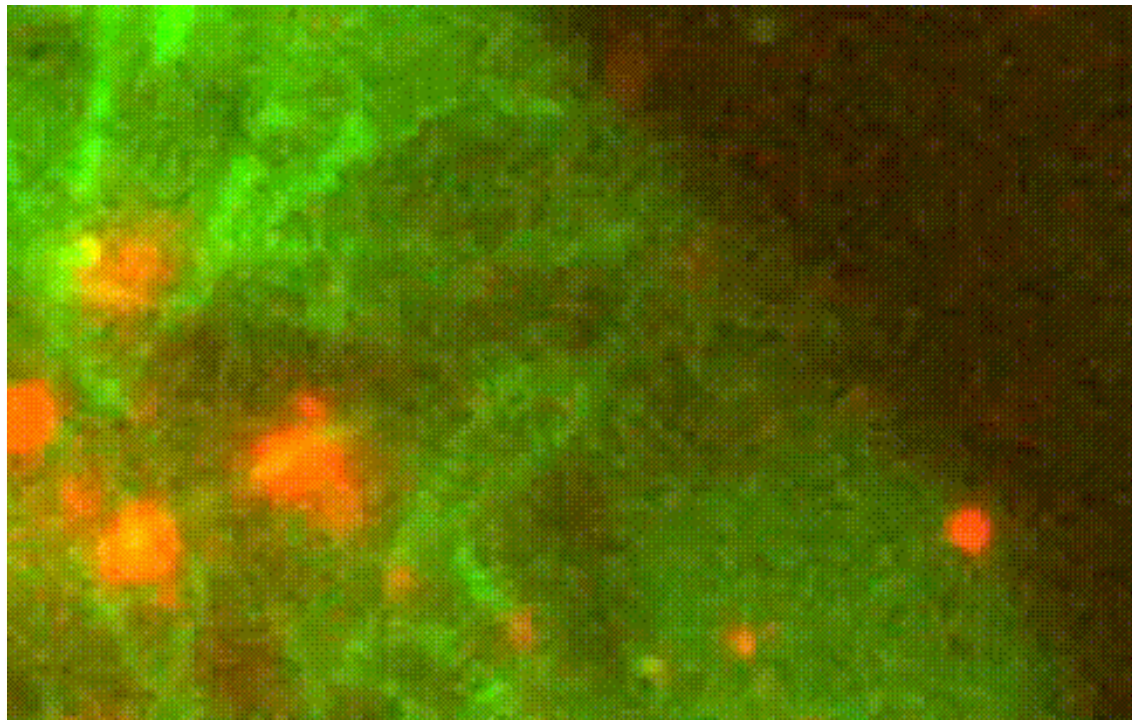


TIRF (Total internal reflection fluorescence) microscope

- Osvětlelovací svazek se odráží na rozhraní sklo – vzorek
- Vzorek excitován evanescentní vlnou
- Snímána floorescence vzorku z hloubky cca 70 – 250 nm
- Kynetické studie membrán, transportů vně buňky a zobrazení jednotlivých molekul



TIRF (Total internal reflection fluorescence) microscope

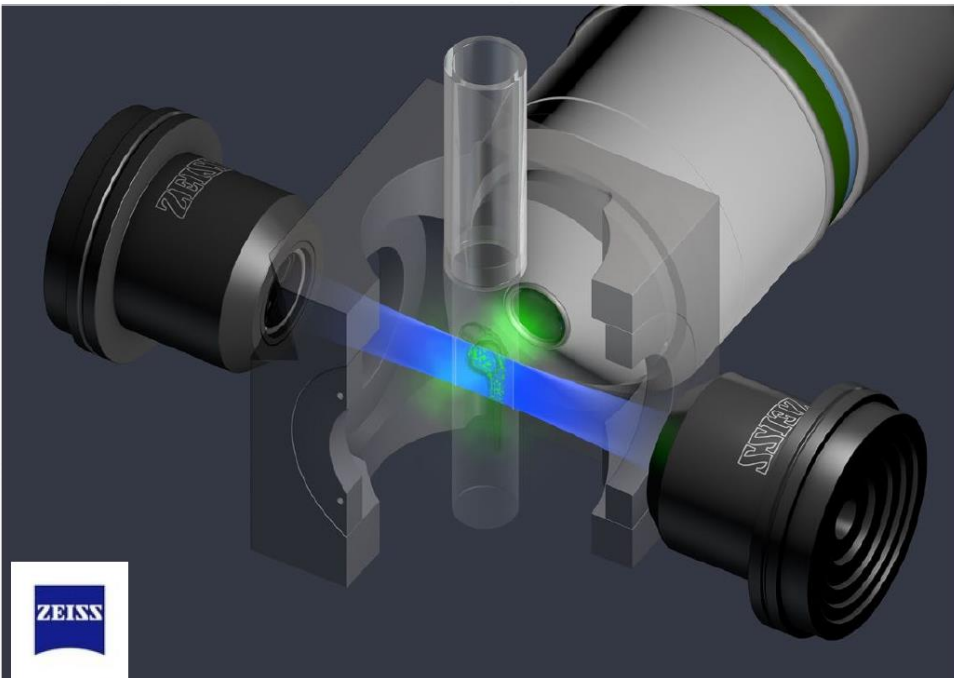
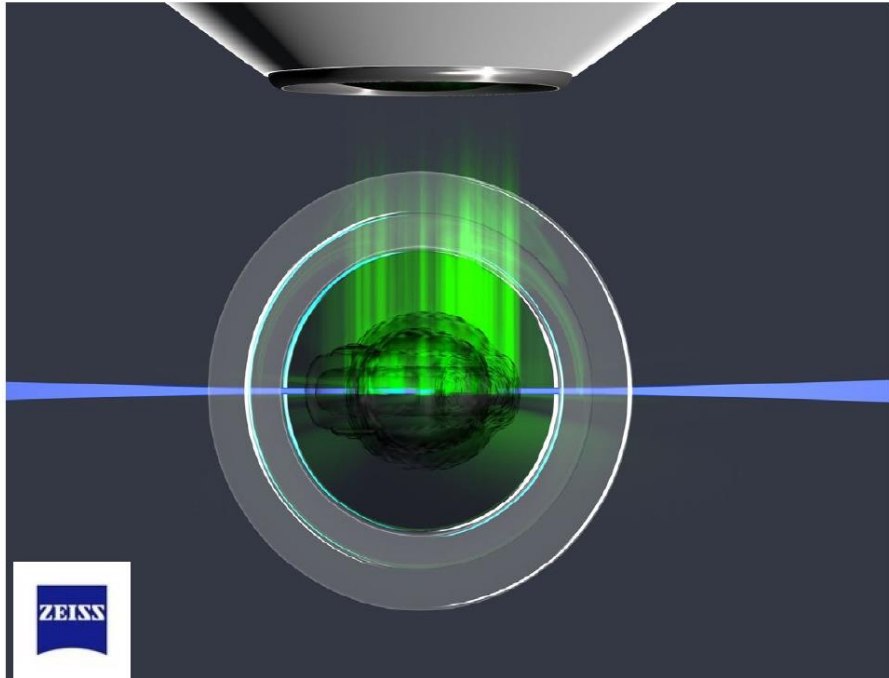
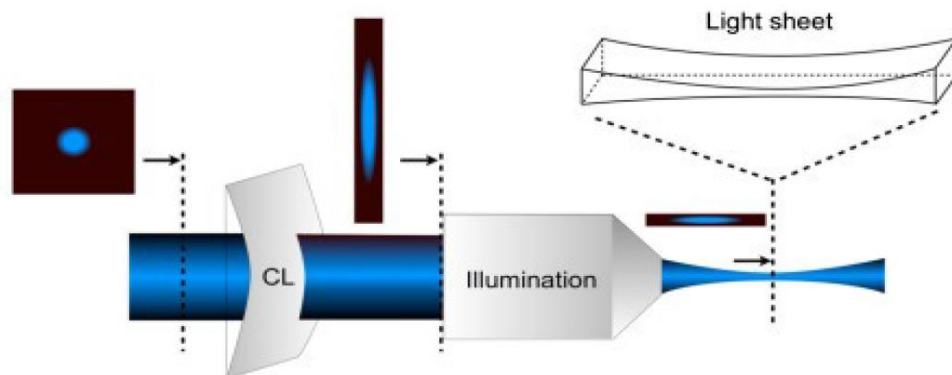


Pitt Developmental Biology

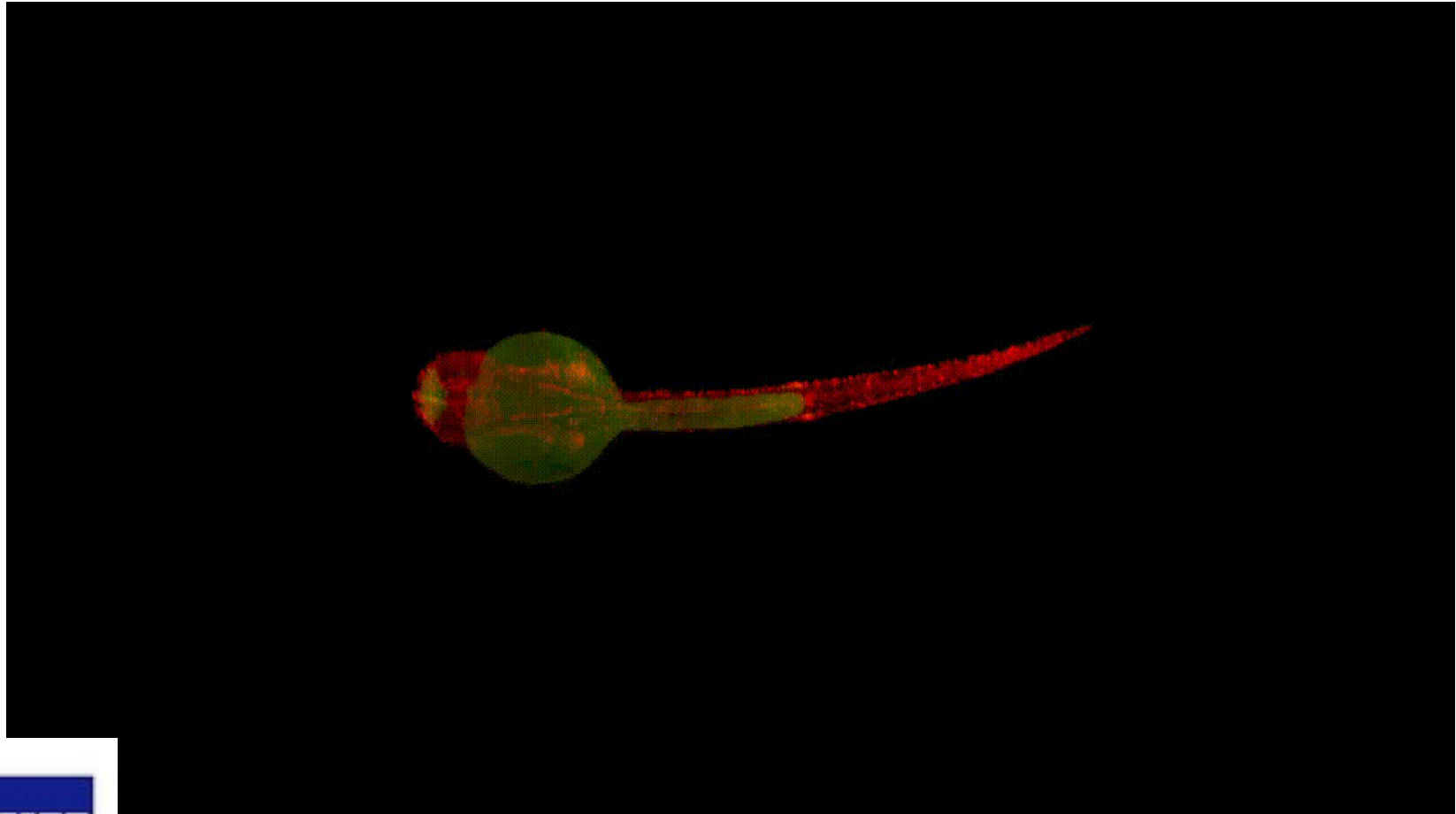
Zelená fluorescence GFP-tubulin, červená fluorescence Cx43-DsRed.
Transport Cx43-DsRed na buněčnou membránu po tubulinu.

Single Plane Illumination Microscopy (SPIM) - Lightsheet

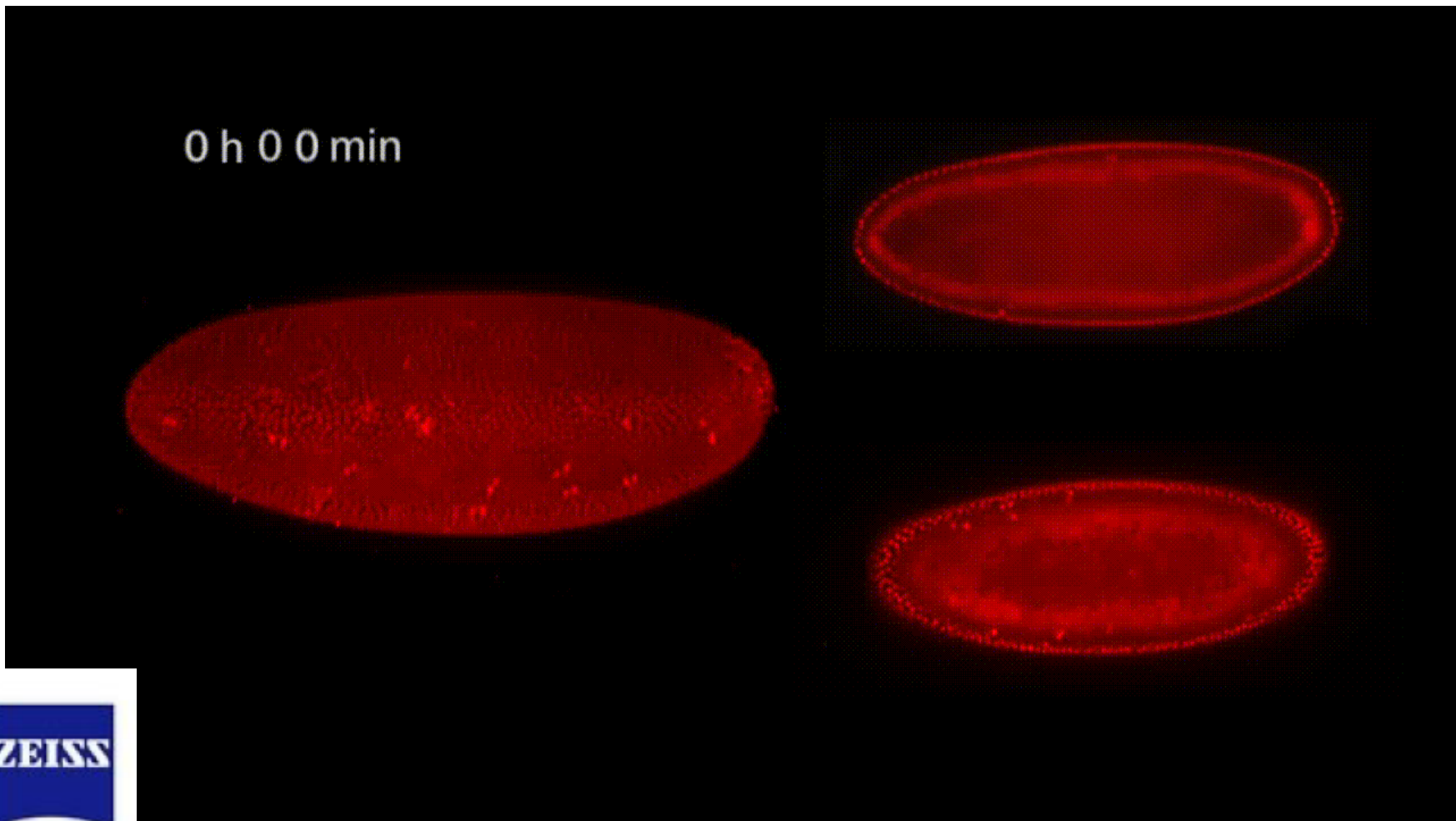
- a**
- Tvorba optických řezů vzorkem
 - Fluorescence je buzena pouze z osvětlené roviny
 - Laterální rozlišení jako u běžných mikroskopů
 - Axiální rozlišení cca 4x horší



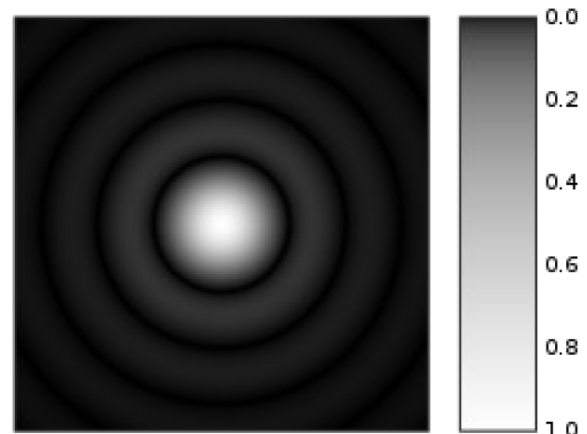
zebrafish



octomilka

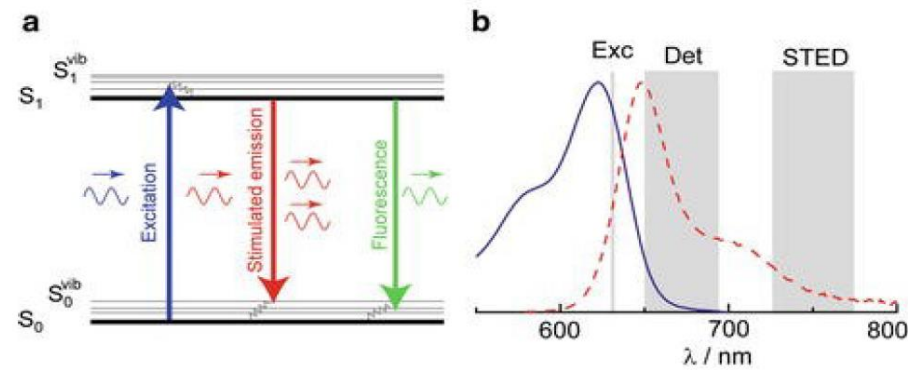
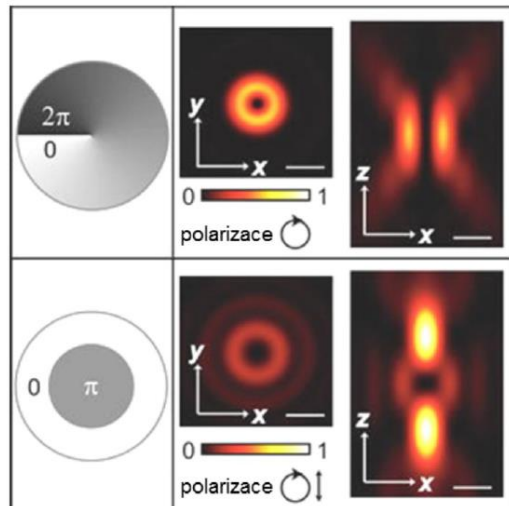
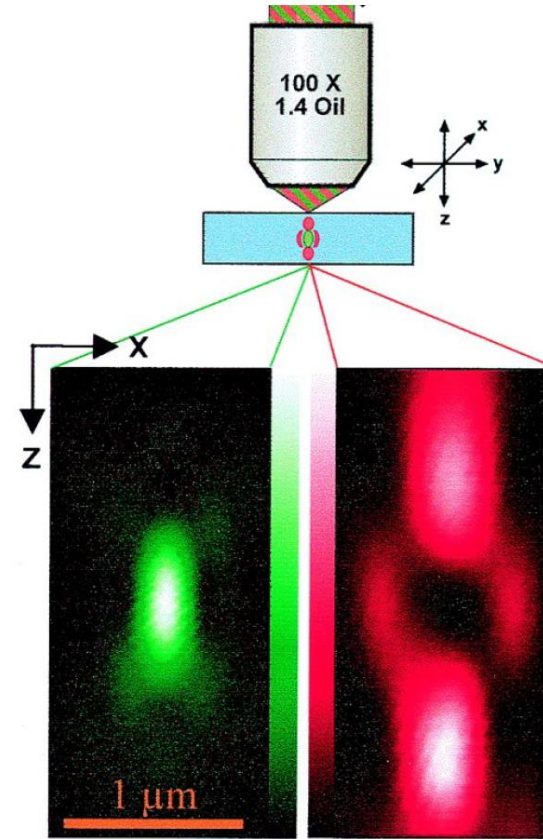
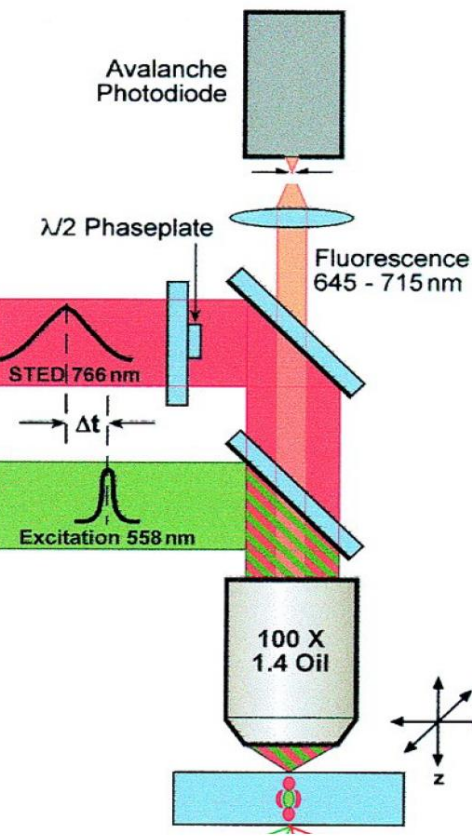
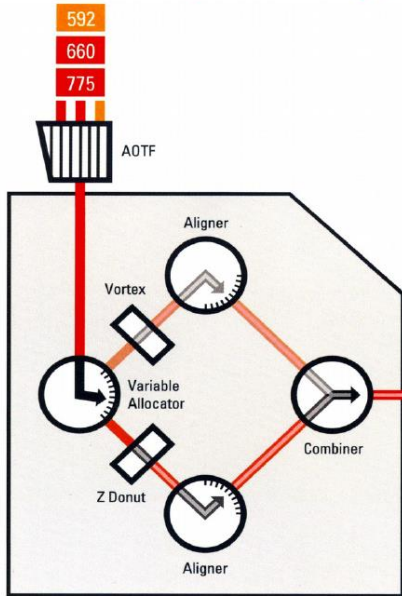


Superrozlišení

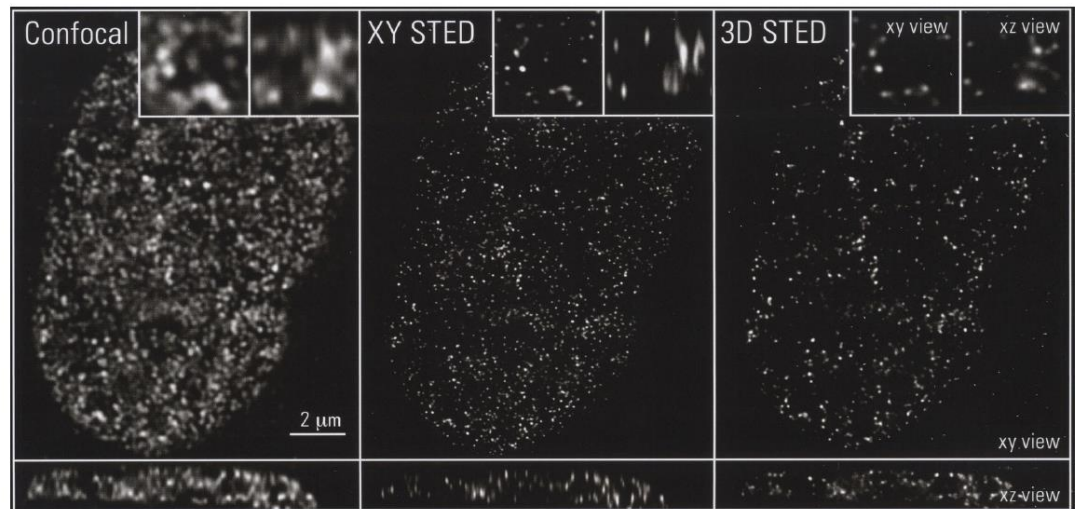
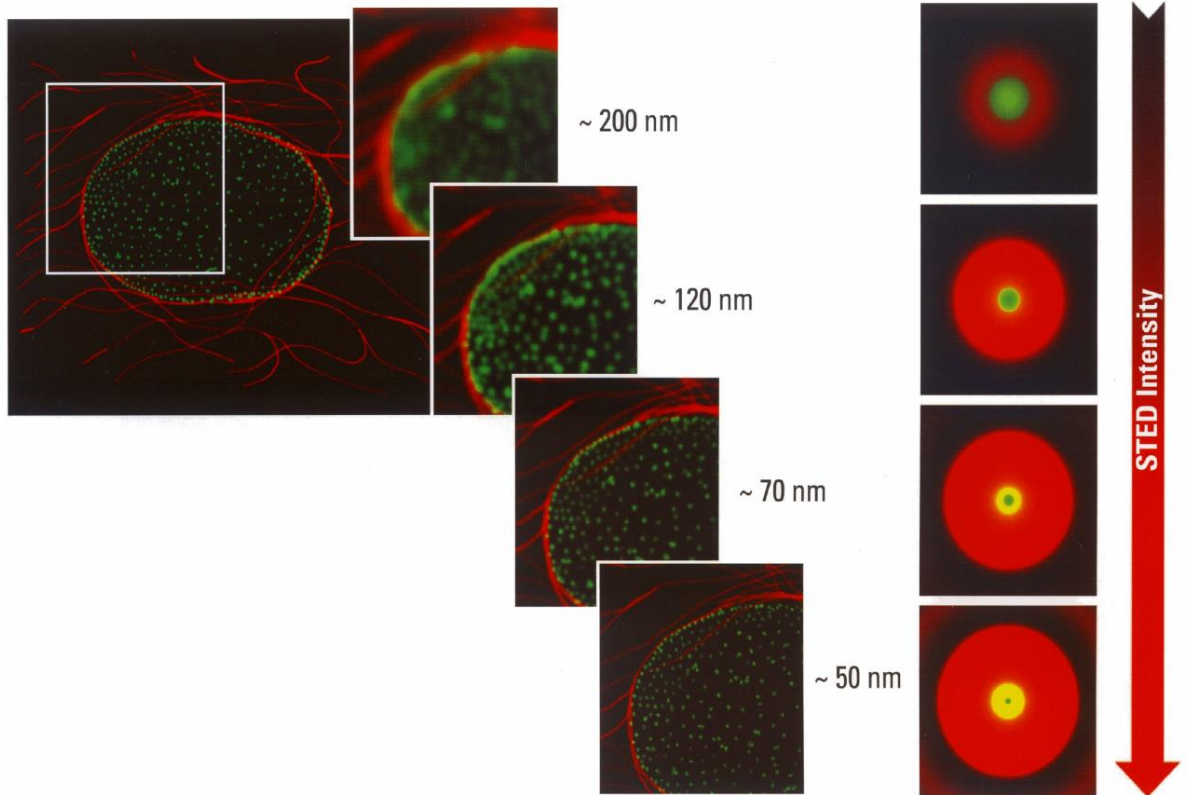
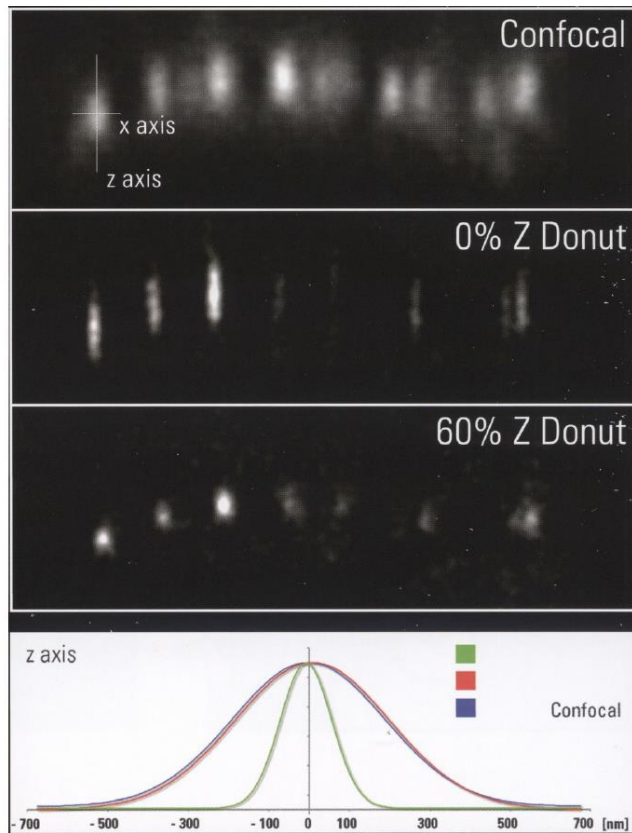


$$r_{0,Ai} = 0,61 \frac{\lambda}{A}$$

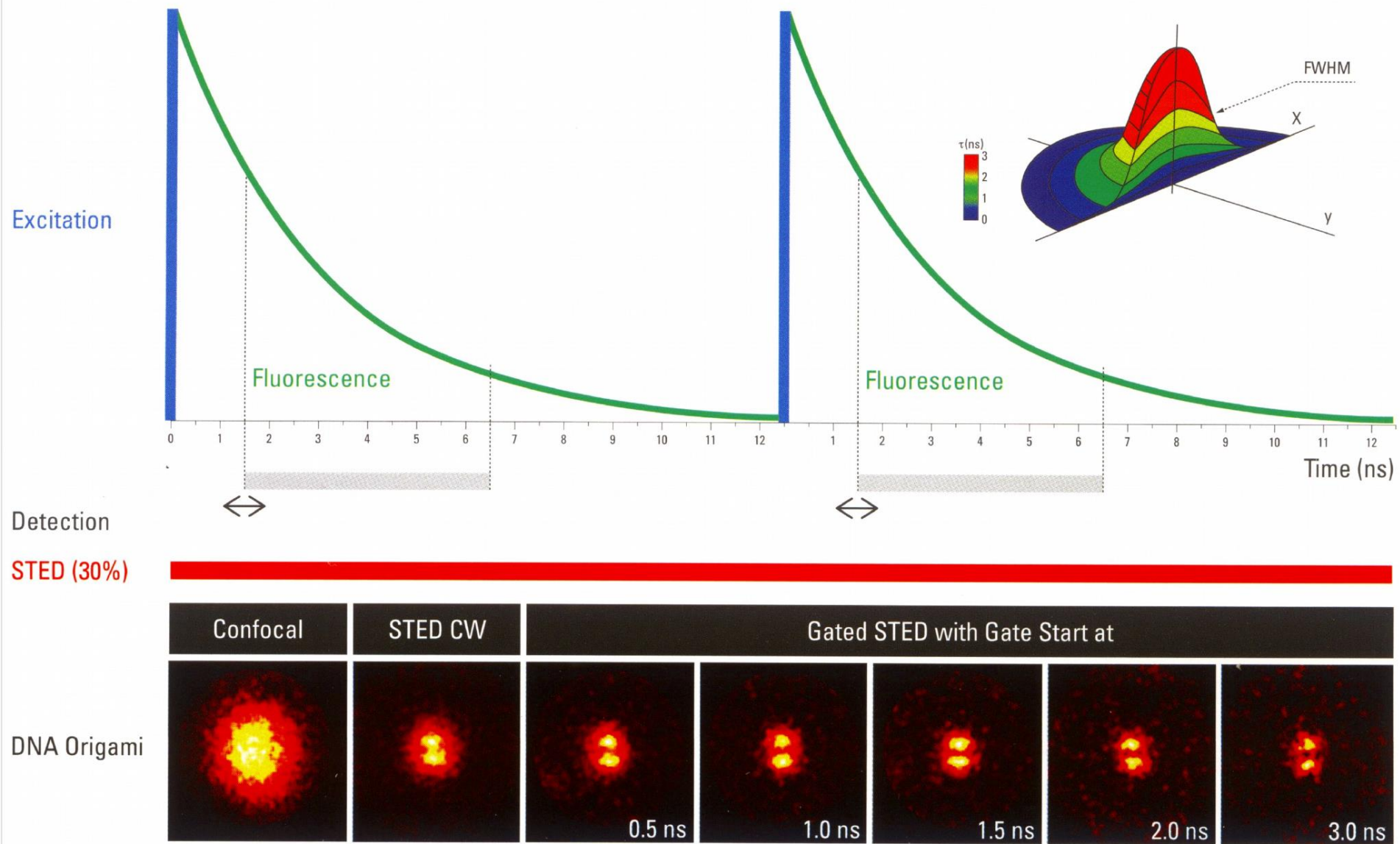
STED (Stimulated Emission Depletion)



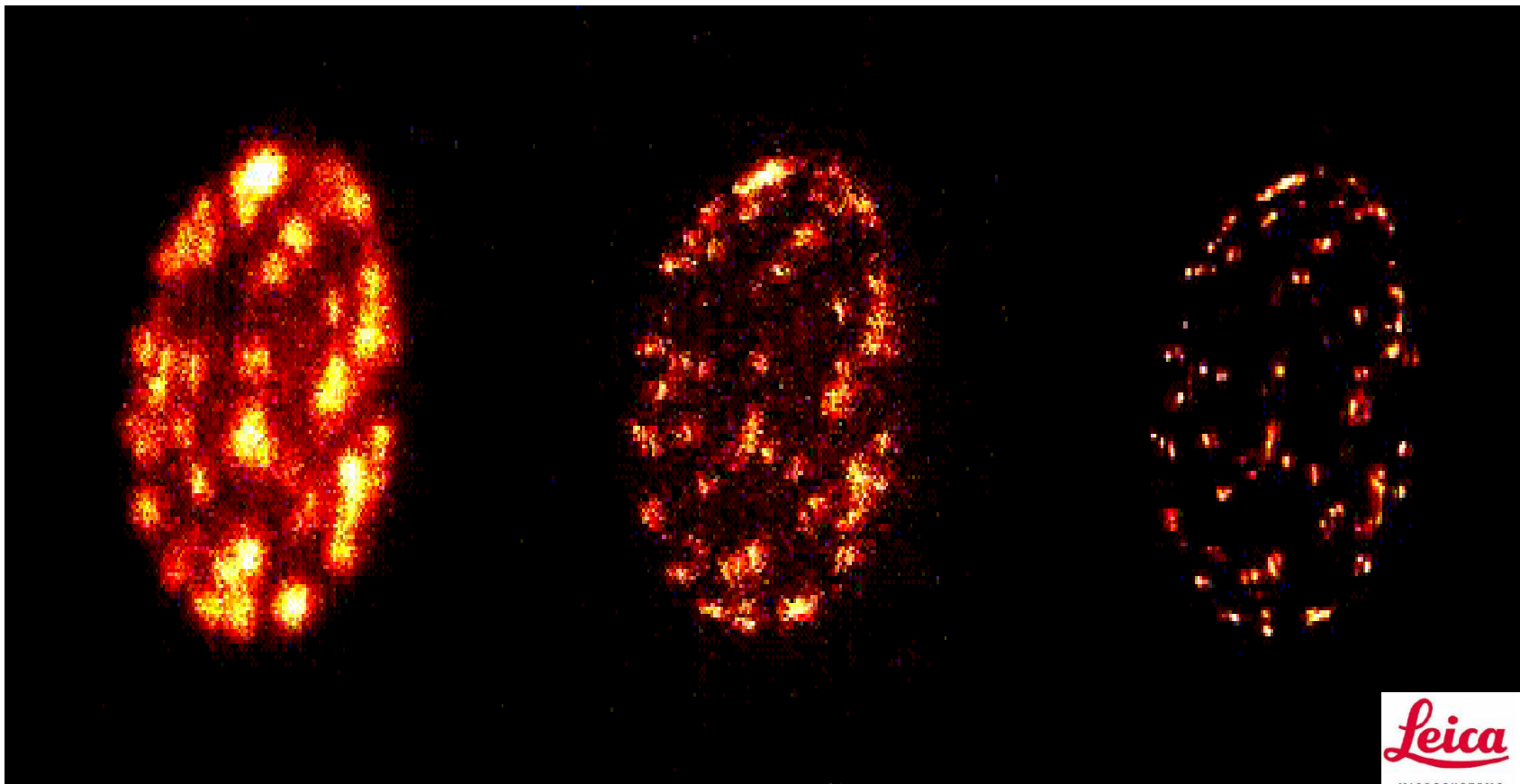
STED



Gated STED



STED



Konfokální
zobrazení

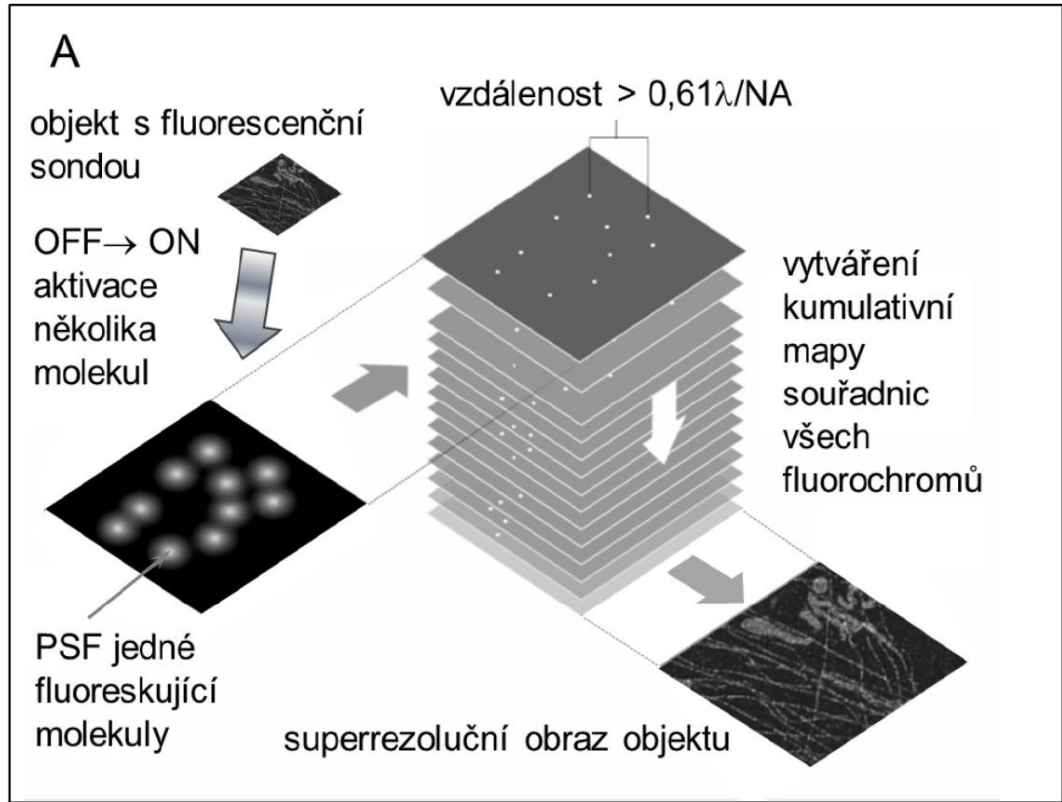
STED zobrazení

STED zobrazení
+ dekonvoluce

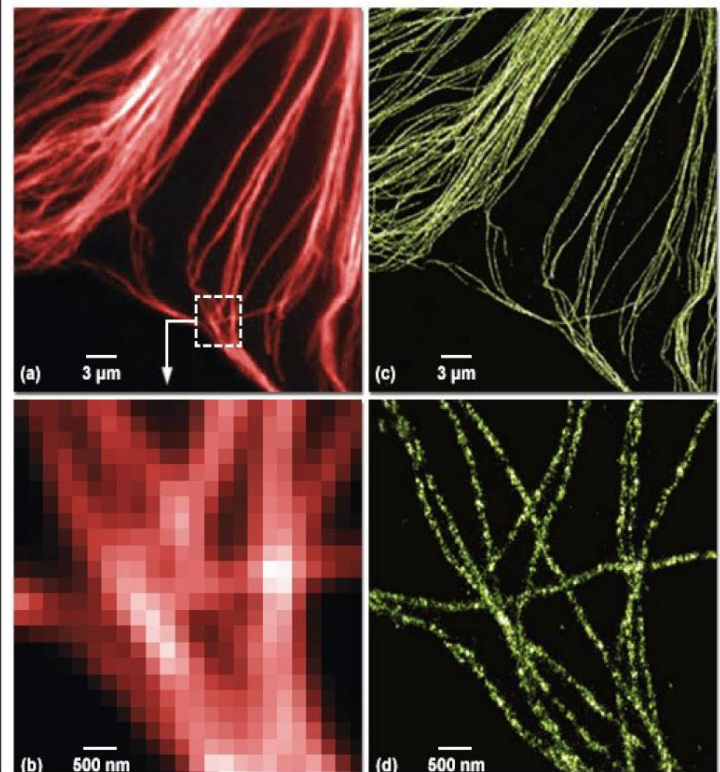
Leica
MICROSYSTEMS

STORM (Stochastic Optical Reconstruction Microscopy)

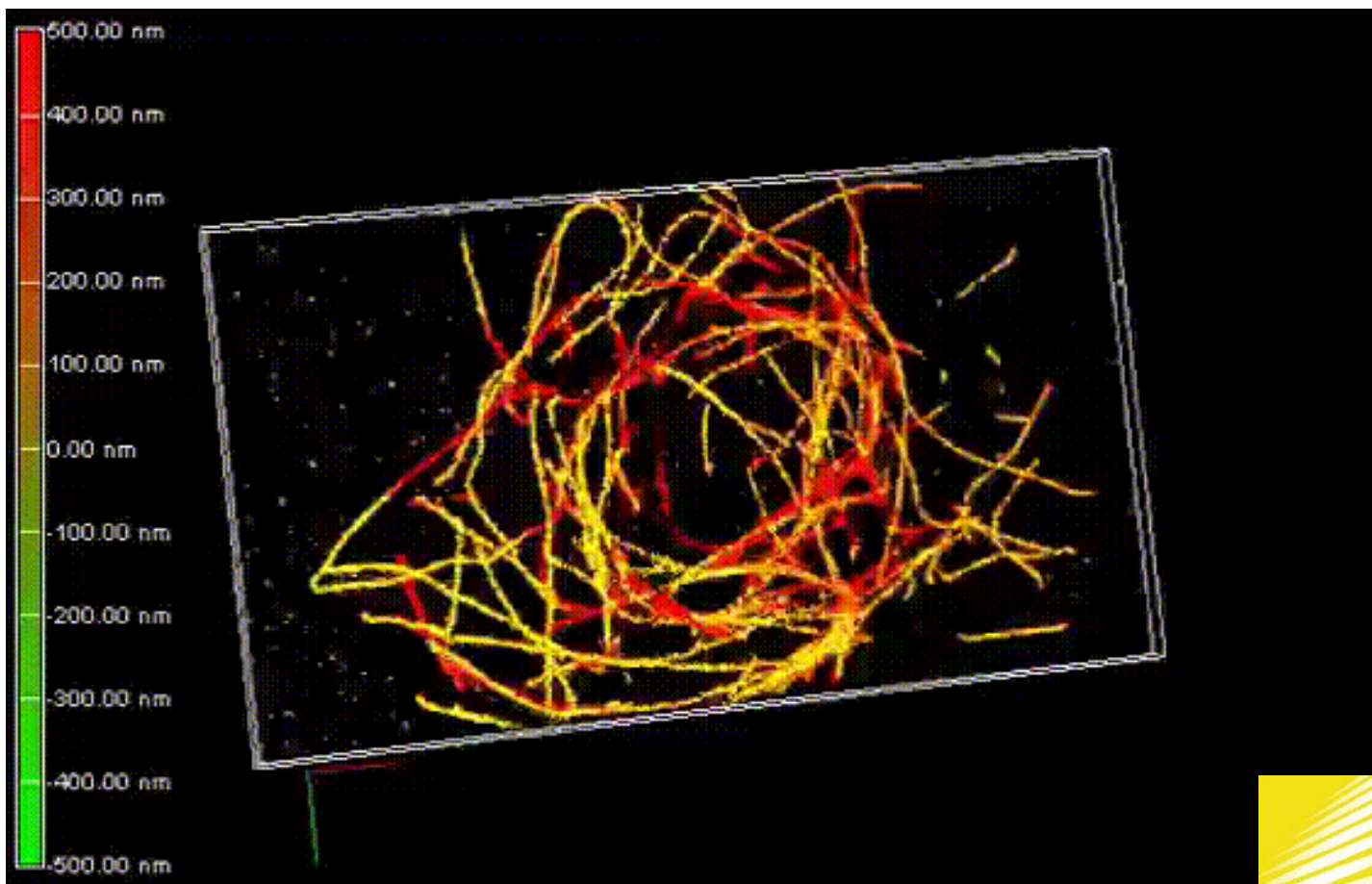
- Rozlišení na úrovni molekul
- Pozice molekuly je hledána Gausovsky s vysokou přesností
- Používá se speciální optika



Superresolution Imaging of Microtubules with STORM



STORM



Struktura tubulinu



STORM

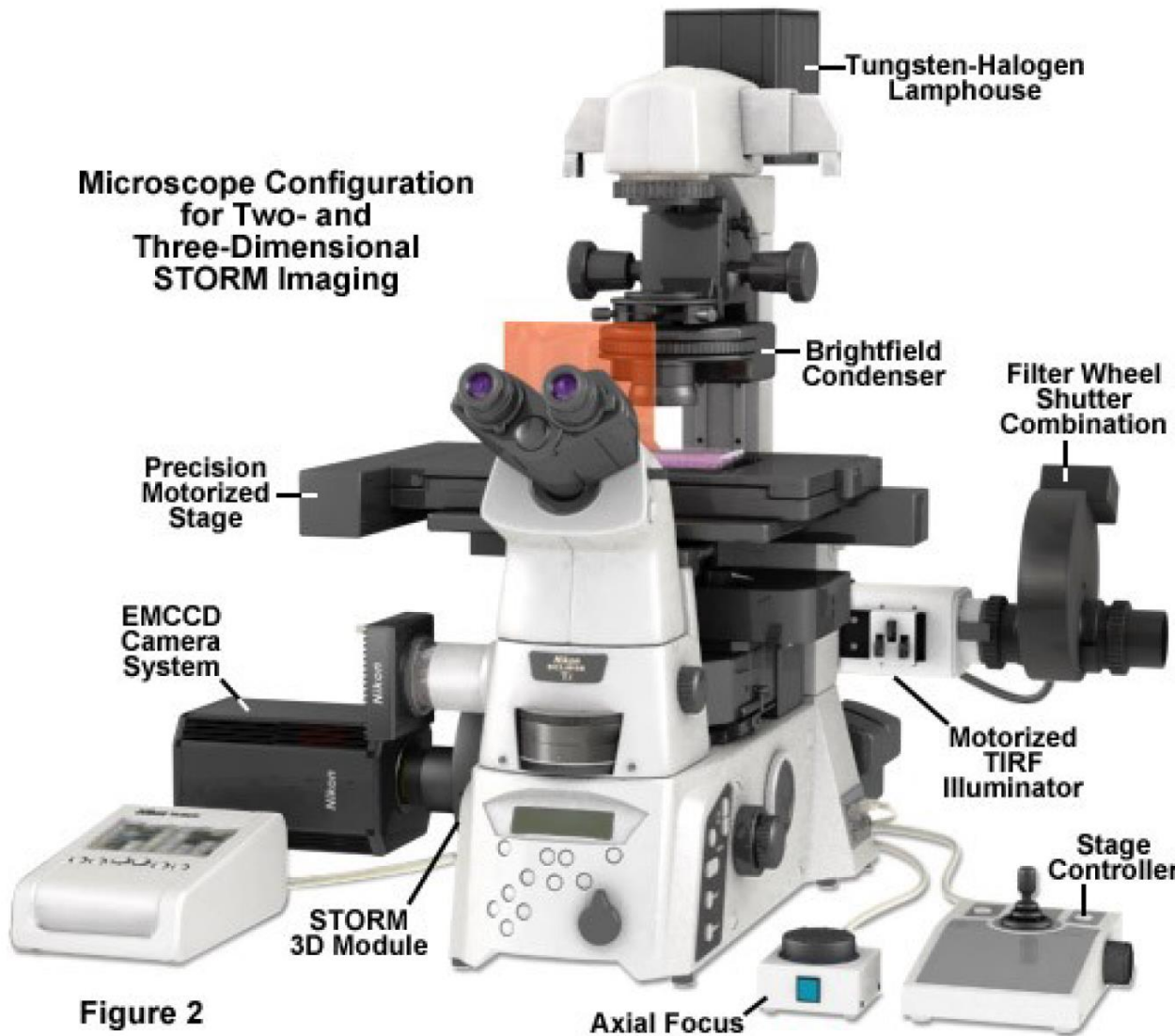
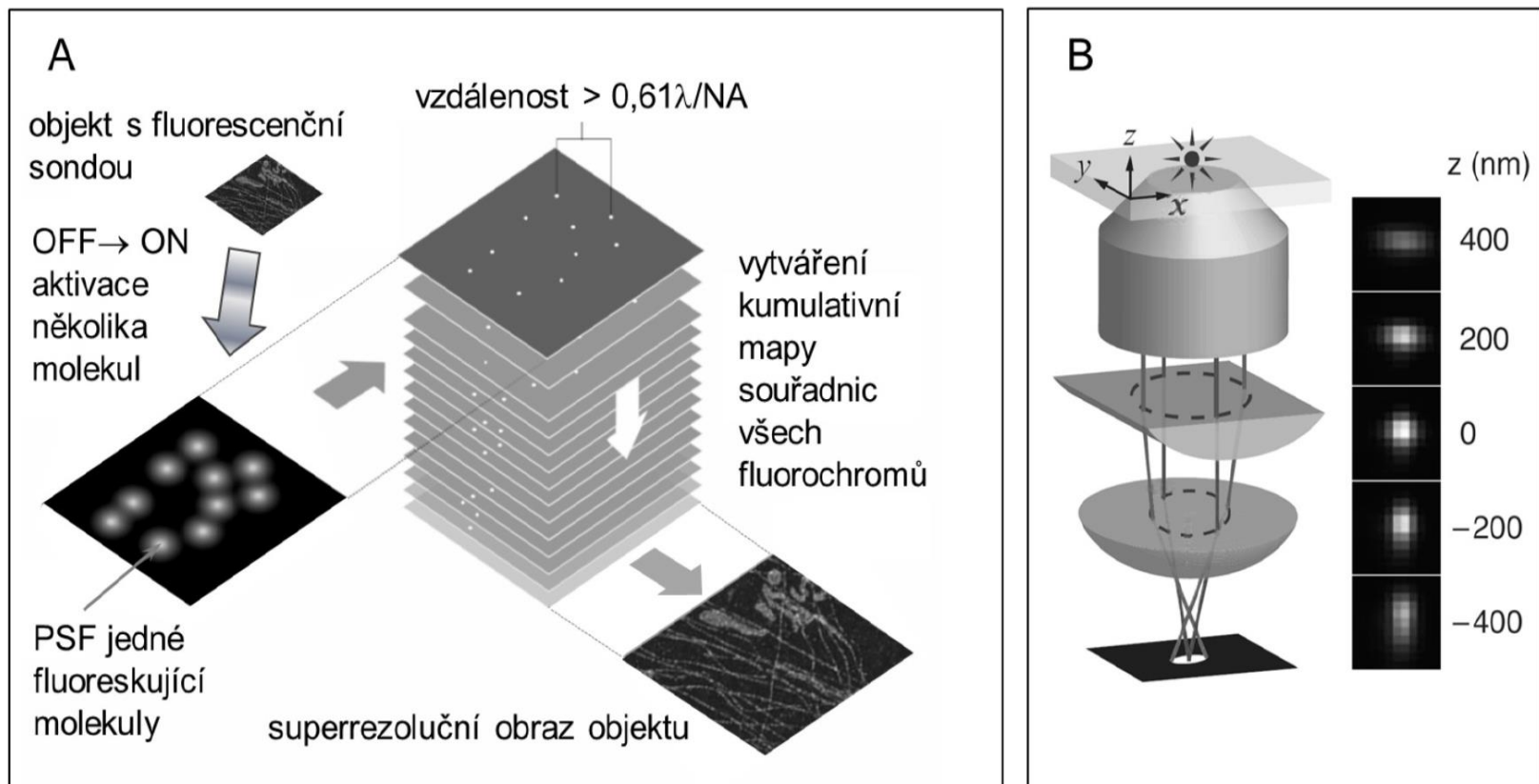


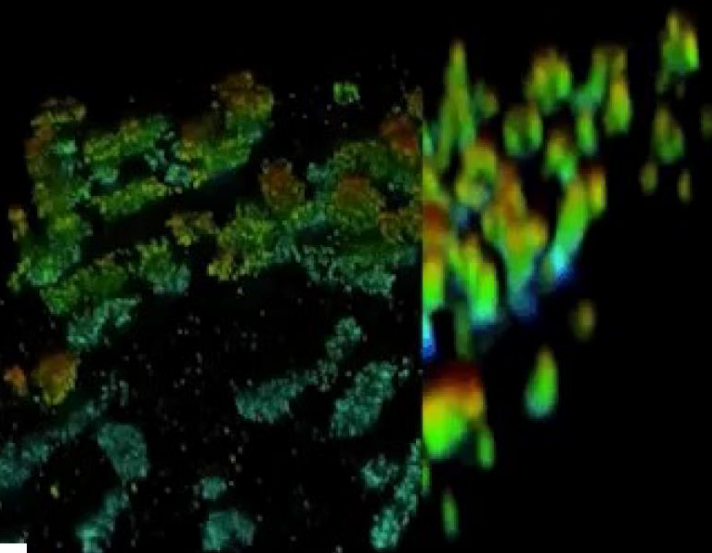
Figure 2

dSTORM/GSD (Ground State Depletion)

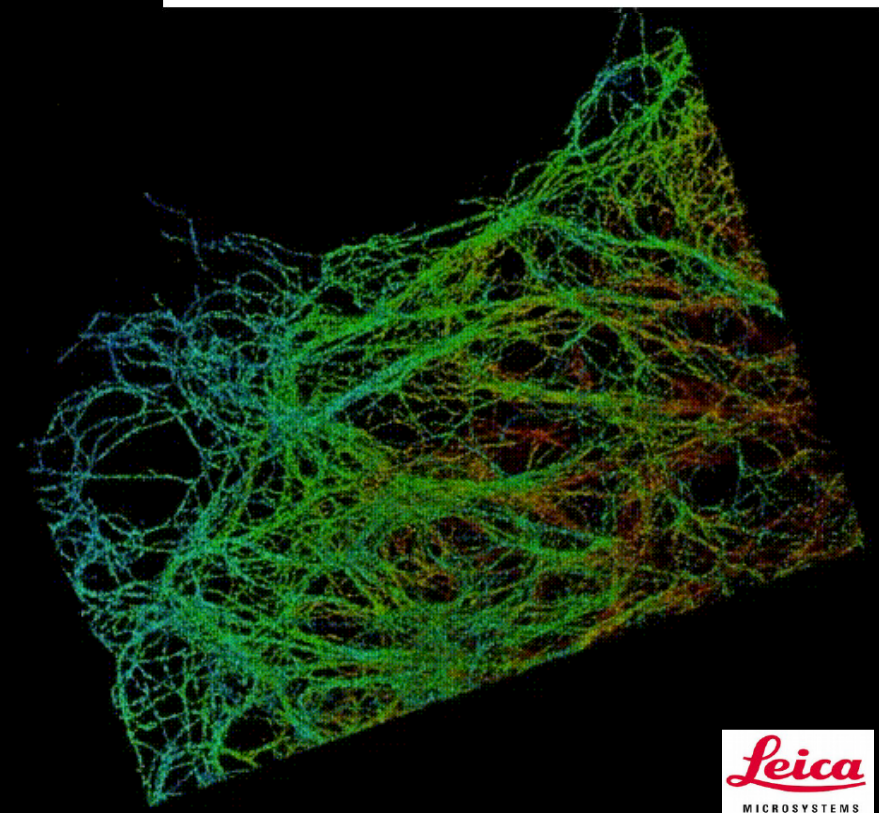


GSD

WF



Syntéza ATP



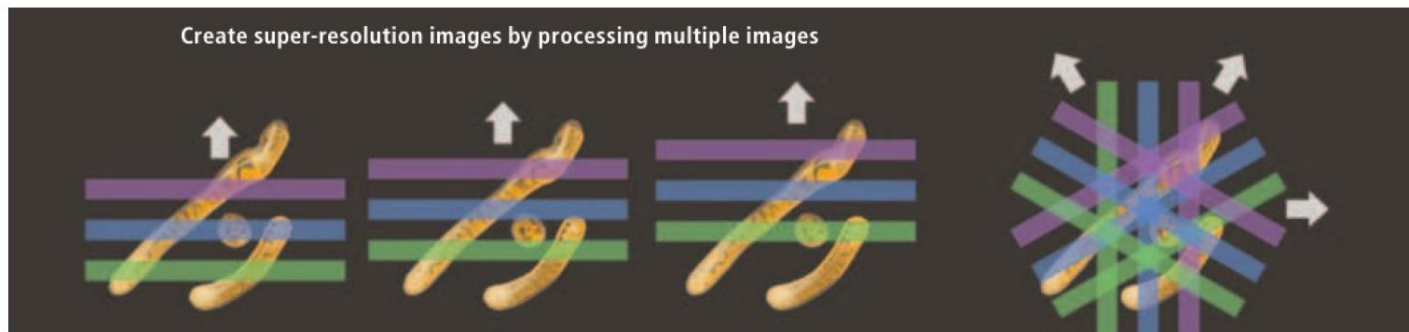
Struktura vimentinu

Leica
MICROSYSTEMS

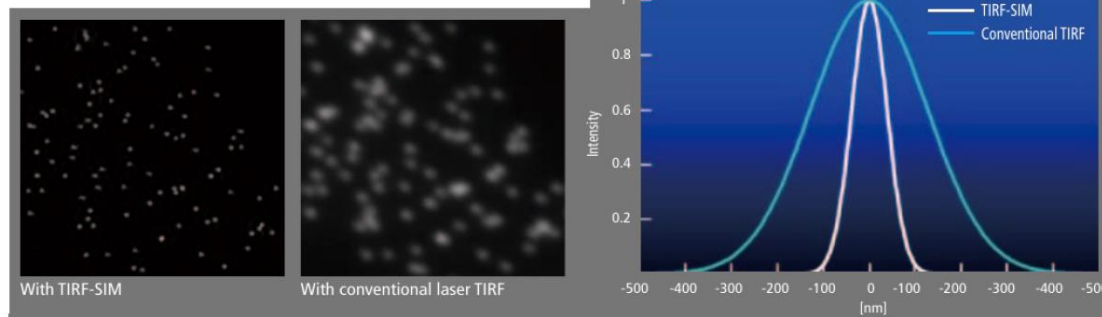
Leica
MICROSYSTEMS

SIM (structured illumination microscopy)

- Do roviny vzorku jsou promítány moiré proužky s různou fází a orientací.
- Proces je snímkován a výsledný obraz je pomocí Fourierovských metod skládán v prostorově frekvenční oblasti.
- Rozlišení výsledného obrazu odpovídá použití objektivu s dvojnásobnou NA.

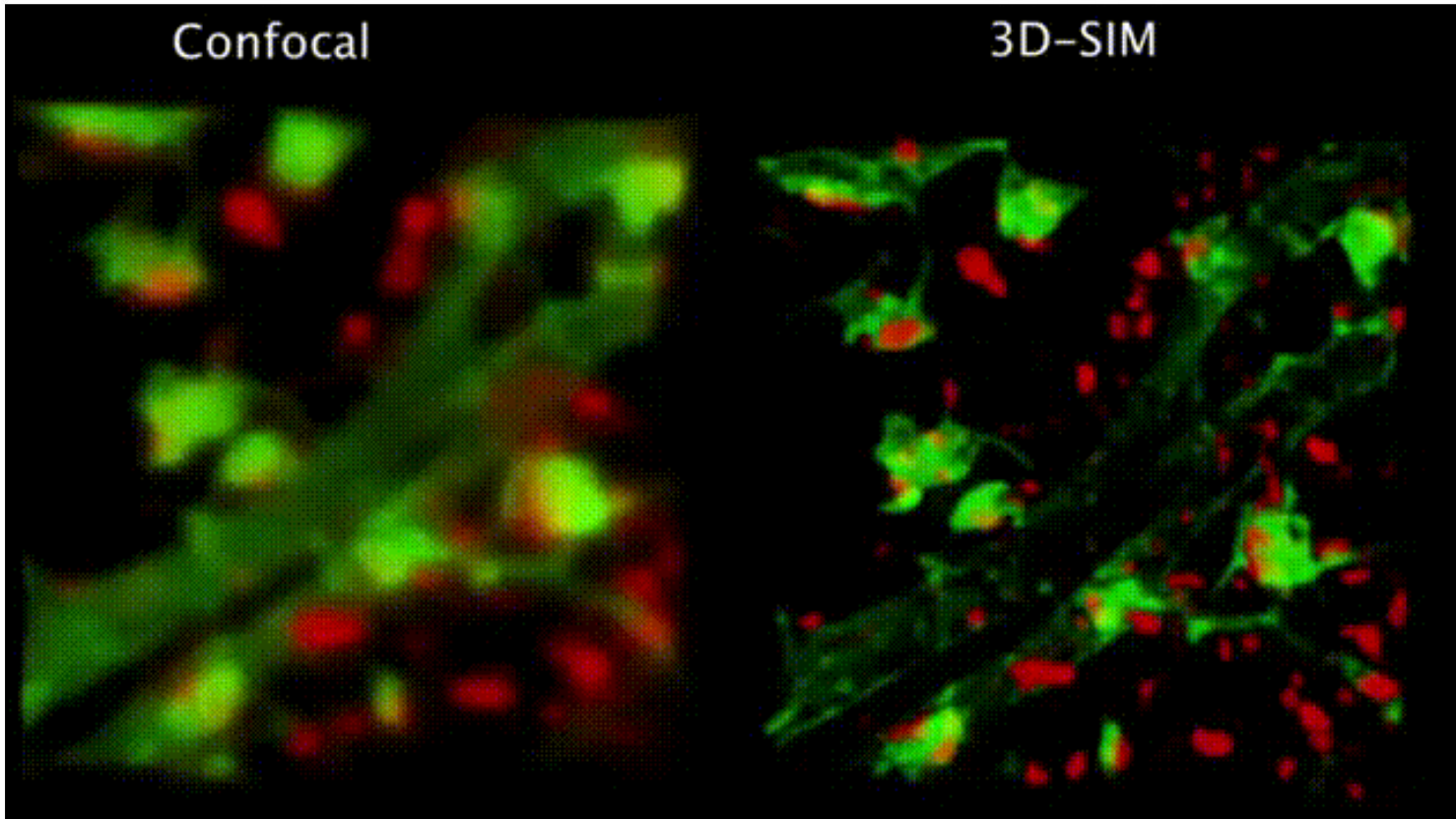


- Kombinuje se s metodou TIRF



100 nm fluoreskující kuličky

SIM (structured illumination microscopy)



Srovnání 3D zobrazení synapsí. Konfokální mikroskop (vlevo) a 3D-SIM (Zeiss Elyra, vpravo). Zeleně je synaptický F-aktin značený F-Tractin. Červeně je aktivní zóna, značená protilátkou.

Citovaná literatura

P. N. Prasad: „Introduction to Biophotonics”, John Wiley & Sons, Inc., 2003.

J. Čolláková a kol. “Multimodální holografický mikroskop - společný projekt VUT a TESCAN”. Jemná mechanika a optika, 2014, roč. 59, č. 6-7/ 2014, s. 160-162. ISSN: 0447- 6441.

Z. Dostál: “Interferenční a holografická mikroskopie”, přednáška, ÚFI VUT

P. N. Prasad: „Introduction to Biophotonics”, John Wiley & Sons, Inc., 2003.

M. Mir, B. Bhaduri, R. Wang, R. Zhu, G. Popescu, „Quantitative Phase Imaging“. In E. Wolf (Ed.), Progress in Optics, Vol. 57 (pp. 133–217). Amsterdam: Elsevier, 2012

G. Popescu, „Quantitative phase imaging of cells and tissues“. New York: McGrawHill, 2011

M. K. Kim, Digital Holographic Microscopy. Principles, Techniques, and Applications. New York: Springer, 2011

W. Drexler, M. Liu, A. Kumar, T. Kamali, A. Unterhuber, R. A. Leitgeb, „Optical coherence tomography today: speed, contrast, and multimodality“, Journal of Biomedical Optics 19(7), 071412 (July 2014) J. Pawley, „Handbook of Biological Confocal Microscopy“, Springer, 2006

Nikon microscopy, [online], <http://www.microscopyu.com/moviegallery/sweptfield/index.html>

Ziess microscopy, [online], http://www.zeiss.com/microscopy/en_de/home.html

Leica microscopy, [online], <http://www.leica-microsystems.com/>